



Manuel Eduardo Loaiza Fernández

**Implementação de um Dispositivo de Rastreamento Óptico
com 6 Graus de Liberdade para Interação com Aplicações
de Realidade Virtual**

Dissertação de Mestrado

Dissertação apresentada como requisito parcial para
obtenção do título de Mestre pelo Programa de Pós-
Graduação em Informática da PUC-Rio.

Orientador: Prof. Marcelo Gattass
Co-orientador: Prof. Alberto Barbosa Raposo

Rio de Janeiro, abril de 2005



Manuel Eduardo Loaiza Fernández

**Implementação de um Dispositivo de Rastreamento Óptico
com 6 Graus de Liberdade para Interação com Aplicações
de Realidade Virtual**

Dissertação apresentada como requisito parcial para obtenção do título de Mestre pelo Programa de Pós-Graduação em Informática da PUC-Rio. Aprovada pela Comissão Examinadora abaixo assinada.

Marcelo Gattass

Orientador

Departamento de Informática - PUC-Rio

Alberto Barbosa Raposo

Departamento de Informática - PUC-Rio

Bruno Feijó

Departamento de Informática - PUC-Rio

Paulo Cezar Pinto Carvalho

Instituto Nacional de Matemática Pura e Aplicada (IMPA)

Waldemar Celes Filho

Departamento de Informática - PUC-Rio

Prof. José Eugenio Leal

Coordenador(a) Setorial do Centro Técnico Científico - PUC-Rio

Rio de Janeiro, 1 de abril de 2005

Todos os direitos reservados. É proibida a reprodução total ou parcial do trabalho sem autorização da universidade, do autor e do orientador.

Manuel Eduardo Loaiza Fernández

Graduou-se em Engenharia de Sistemas na Faculdade de Produção e Serviços da Universidad Nacional de San Agustín (UNSA), Arequipa - Perú em 2002. Atualmente tem continuado com a linha de pesquisa sobre Computação Gráfica com ênfase na Área de Realidade Virtual.

Ficha catalográfica

Loaiza Fernández, Manuel Eduardo

Implementação de um dispositivo de rastreamento óptico com 6 graus de liberdade para interação com aplicações de realidade virtual / Manuel Eduardo Loaiza Fernández; orientador: Marcelo Gattass; co-orientador: Alberto Barbosa Raposo. – Rio de Janeiro: PUC-Rio, Departamento de Informática, 2005.

105 f. : il. ; 30 cm

Dissertação (mestrado) – Pontifícia Universidade Católica do Rio de Janeiro, Departamento de Informática.

Incluí referências bibliográficas.

1. Informática – Teses. 2. Realidade virtual. 3. Rastreamento óptico. 4. Visão computacional. 5. Processamento de imagens. I. Gattass, Marcelo. II. Raposo, Alberto Barbosa. III. Pontifícia Universidade Católica do Rio de Janeiro. Departamento de Informática. IV. Título.

CDD: 004

Aos meus pais Eduardo e Violeta, aos meus avós Clotilde, Edgar e Blanca, e a
minha esposa Mayra.

Agradecimentos

A Deus, por ter me dado a vida e a força necessária para continuar cada dia com o mesmo entusiasmo e dedicação.

Aos meus pais, Eduardo e Violeta e meus avós, Clotilde, Edgar e Blanca, pelo amor e exemplo de vida que me deram e que sempre lembro em todos os momentos da minha vida.

A minha noiva e agora minha esposa, Mayra, pela paciência tida neste dois últimos anos.

Aos meus tios Oscar, Milar, Enrique, Cira, Frida, Marlene, Gloria e Digber pelos conselhos e ajuda que recebi deles.

Aos meus irmãos, Luis e Marizze, por todo o carinho e ânimos que me deram durante estes dois anos.

Aos meus orientadores Marcelo Gattass e Alberto Barbosa Raposo, pela confiança depositada no meu trabalho e por todos os ensinamentos repassados ao longo dos anos. Agradeço-lhes profundamente por seu apoio e amizade.

Ao Tecgraf pela ajuda técnica que me permitiu crescer profissionalmente e desenvolver esta dissertação.

Aos meus amigos, Romano, Gustavo, Felipe, Marcio, Thiago, Eduardo Thadeu, Nicolao, Lula e Junior por terem me presenteado com suas amizades e apoio durante o desenvolvimento desta dissertação.

À CAPES que me propiciou a bolsa de estudo fundamental para a realização desse trabalho.

E finalmente, a todas as pessoas que não foram mencionadas, mas que foram importantes em algum momento da minha vida.

Resumo

Loaiza Fernández, Manuel Eduardo. **Implementação de um Dispositivo de Rastreamento Óptico com 6 Graus de Liberdade para Interação com Aplicações de Realidade Virtual**. Rio de Janeiro, 2005. 105p. Dissertação de Mestrado - Departamento de Informática, Pontifícia Universidade Católica do Rio de Janeiro.

Os sistemas de rastreamento são uma das tecnologias cruciais para os sistemas de realidade virtual. Eles permitem detectar continuamente a posição e orientação de marcadores ou objetos específicos que o usuário utiliza para interagir com o sistema. Uma das tecnologias mais utilizadas para implementar este tipo de sistema é o rastreamento óptico, a qual permite ao usuário ter maior liberdade em seus movimentos porque não precisa de cabos ou elementos mecânicos que possam restringir ou atrapalhar a sensação de imersão que se tenta criar na interação com ambientes de realidade virtual. Este trabalho apresenta a construção e implementação de um dispositivo de entrada, baseado em rastreamento óptico, que é utilizado para interação com aplicações de realidade virtual do tipo semi-imersivas em um ambiente desktop comum. O dispositivo tem a capacidade de recuperar seis graus de liberdade dos movimentos feitos por um conjunto de marcadores que são controlados pela mão do usuário. A partir da recuperação dos seis graus de liberdade, o dispositivo é complementado com a capacidade de emissão de eventos que permitem a interação do usuário com a aplicação. No final apresenta-se uma aplicação que demonstra a adaptação dos eventos gerados e o desempenho do dispositivo implementado.

Palavras-chave

Realidade virtual, rastreamento óptico, visão computacional, processamento de imagens.

Abstract

Loaiza Fernández, Manuel Eduardo. **Implementation of an Optical Tracking Device with 6 Degrees of Freedom for Interacting with Virtual Reality Applications.** Rio de Janeiro, 2005. 105p. M.Sc. Dissertation - Departamento de Informática, Pontifícia Universidade Católica do Rio de Janeiro.

Tracking systems are a fundamental technology in virtual reality systems. They provide a continuous detection of the position and orientation of markers or specific objects that the user employs to interact with the system. One of the technologies most commonly used to implement these types of systems is the optical tracking, which allows the users to have more freedom in their movements because it does not need cables or mechanical elements that can restrict or hinder the immersion sensation that is tried to create in the interaction with virtual reality environments. This work presents the construction and implementation of an input device that is based on optical tracking that is used for interaction with semi-immersive virtual reality applications on ordinary desktop environments. This device has the capability to get the six degrees of freedom of the movements made by a set of markers that are controlled by the user hand. Based on the six degrees of freedom recovered, the device is complemented with the ability to emit events that allow the interaction of the user with the application. Finally, an application is presented for demonstrating the use of the generated events and the performance of our device.

Keywords

Virtual reality, optical tracking, computer vision, image processing.

Sumário

1	Introdução	14
1.1.	Motivação	15
1.2.	Objetivo	16
1.3.	Organização da dissertação	17
2	Dispositivos de Rastreamento para Realidade Virtual	18
2.1.	Rastreamento Óptico	24
2.1.1.	Estratégias	27
2.1.2.	Fluxo de Processos	30
3	O Dispositivo de Rastreamento Óptico	32
3.1.	Projeto Físico do Dispositivo	32
3.2.	Processo de Rastreamento	35
3.2.1.	Processamento da Imagem e Extração de Marcadores	36
3.2.2.	Calibração de Câmeras	40
3.2.2.1.	Implementação do Método TSAI Não-Coplanar	41
3.2.2.2.	O Método TSAI Não-Coplanar	46
3.2.3.	Correlação de Marcadores	55
3.2.3.1.	Captura da Amostra de Pontos	57
3.2.3.2.	A Geometria Epipolar	59
3.2.3.3.	Estratégia para a Correlação	62
3.2.4.	Reconstrução 3D	71
3.2.4.1.	Recuperação de Dados de Entrada	72
3.2.4.2.	Método de Reconstrução	73
3.2.4.3.	Processo de Reconstrução	78
4	Extração dos 6 Graus de Liberdade e Aplicações de Teste	85
4.1.	Extração dos 6 DoF	86
4.1.1.	Translações – 3 DoF	89
4.1.2.	Rotações – 3 DoF	91

4.2. Aplicações de Teste	93
4.2.1. Aplicação de Navegação com um Robô Submarino	93
4.2.2. Aplicações Adicionais	94
4.2.2.1. PINTOR 3D	95
4.2.2.2. BRAÇO ROBÔ VIRTUAL	96
5 Conclusões e Trabalhos Futuros	98
5.1. Trabalhos Futuros	99
6 Referências Bibliográficas	101

Lista de figuras

Figura 1 : Aplicações de Realidade Virtual.	14
Figura 2 : Dispositivos especializados usados para dar imersão ao usuário	15
Figura 3 : Rastreador Eletromagnético “Flock of Birds”.	20
Figura 4 : Dispositivos mecânicos (a) “Fakespace FS2” Fakespace Systems, (b) “CyberForce ” Immersion Corporate.	21
Figura 5 : Dispositivos acústicos (a) “The Fly Mouse” Logitech, (b) “IS-900” Intersense wand.	22
Figura 6 : Dispositivo inercial, Fakespace Systems Inc “CubicMouse “.	23
Figura 7 : Dispositivo híbrido que combina rastreamento inercial e GPS, “Battlefield Augmented Reality System (BARS)”.	24
Figura 8 : Diagrama Funcional de um sistema de rastreamento óptico.	25
Figura 9 : Tipos de marcadores (a) Marcadores Esféricos, (b) Fiducial Landmarks.	26
Figura 10 : (a) Câmera adaptada com uma fonte de luz infravermelha, (b) Marcadores esféricos retrorreflexivos.	28
Figura 11 : Câmeras e fontes IR de Vicon Motion Systems.	28
Figura 12 : (a) Marcadores de papel branco, (b) Lâmpadas de luz ultravioleta.	29
Figura 13 : (a) Marcadores e fundo com cor definida, (b) Fiducial markers.	30
Figura 14 : Características comuns da arquitetura dos dispositivos comerciais e o proposto nesta dissertação.	33
Figura 15 : Dispositivo proposto nesta dissertação.	33
Figura 16 : Espaço para rastreamento da movimentação livre da mão do usuário.	35
Figura 17 : Imagens de vídeo capturadas por 3 câmeras web.	36
Figura 18 : Imagens de vídeo convertidas à escala de cinzas e processadas com filtro gaussiano de kernel 5x5.	38
Figura 19 : Imagens de vídeo convertidas em imagens binárias por filtro threshold.	39
Figura 20 : Imagem de vídeo onde se visualiza o centro dos pontos do padrão e marcadores.	40

Figura 21 : Modelo de captura da câmera pinhole.	41
Figura 22 : Câmeras web utilizadas, (a) Logitech QuickCam Pro-4000, (b) Creative WebCam Nx-Pro.	43
Figura 23 : Imagem dos eixos do sistema global de referência dentro da caixa de rastreamento.	44
Figura 24 : Imagem do padrão utilizado inicialmente.	44
Figura 25 : Imagem do padrão com a identificação dos pontos de calibração.	45
Figura 26 : Imagem que descreve a transformação entre os sistemas de coordenadas do mundo para a câmera.	47
Figura 27 : Imagem que descreve a transformação entre os sistemas de coordenadas da câmera para coordenadas da imagem.	51
Figura 28 : Descrição dos 4 passos que transformam coordenadas do mundo em coordenadas da imagem.	54
Figura 29 : Caso intuitivo.	55
Figura 30 : Caso com mais de um marcador.	56
Figura 31 : Marcador para captura da amostra.	57
Figura 32 : Pontos capturados em coordenadas 2D em cada câmera.	58
Figura 33 : Interseção entre os planos da imagem e planos gerados pela linha base.	59
Figura 34 : Figura 34: Definição de uma linha epipolar.	60
Figura 35 : Posicionamento das câmeras no dispositivo proposto.	62
Figura 36 : Planos da imagem com as câmeras posicionadas numa mesma altura.	63
Figura 37 : Planos da imagem com as câmeras posicionadas em diferentes bases, ou seja, diferentes alturas.	63
Figura 38 : O posicionamento das câmeras é em bases diferentes, ou seja, diferentes alturas.	64
Figura 39 : Geração de linhas epipolares pela câmera pivô e projetadas sobre as câmeras dos lados.	65
Figura 40 : Visualização da estratégia de círculos de restrição.	68
Figura 41 : Visualização dos índices dos marcadores de cada câmera e a correspondência encontrada para cada linha.	69
Figura 42 : Na câmera da esquerda, dois marcadores se ocultam mutuamente e	

são detectados como um só marcador.	70
Figura 43 : Reconstrução da posição 3D de cada marcador.	71
Figura 44 : (a) Matrizes de parâmetros intrínsecos, (b) parâmetros extrínsecos, (c) conversão de ponto no mundo para ponto na imagem.	72
Figura 45 : Coordenadas 2D de cada marcador em cada câmera.	73
Figura 46 : Processo geral da reconstrução.	74
Figura 47 : Visualização de todos os marcadores reconstruídos.	80
Figura 48 : Distribuição e forma definidas pelos marcadores físicos.	82
Figura 49 : Criação de combinações entre pontos candidatos.	83
Figura 50 : Candidatos 3D escolhidos no final do processo.	83
Figura 51 : Spaceball com o subsistema de eixos, definidos a partir da posição inicial da bola preta.	86
Figura 52 : Spaceball (a) 3 DoF translações ao puxar a bola preta, (b) 3 DoF rotações ao girar a bola preta.	87
Figura 53 : Conjunto de marcadores e subsistema de eixos criado pelos marcadores.	87
Figura 54 : Conjunto de marcadores em posição inicial em nosso espaço de visão.	88
Figura 55 : Distribuição do sistema do mundo.	89
Figura 56 : Dispositivo de Rastreamento Óptico. 3 DoF translações ao mover o marcador central.	89
Figura 57 : Cubo restritivo em volta do marcador central.	90
Figura 58 : Dispositivo de Rastreamento Óptico. 3 DoF rotações ao girar o subsistema de eixos.	91
Figura 59 : (a) Posição base dos marcadores, (b) Variações detectadas como rotações.	92
Figura 60 : Captura e visualização das rotações geradas.	92
Figura 61 : Aplicação do Robô Submarino	94
Figura 62 : Pintor 3D.	95
Figura 63 : Aplicação do Braço Robô Virtual controlada pela mão do usuário.	96

Lista de tabelas

Tabela 1 : Lista de índices dos marcadores correlacionados em relação à câmera pivô.	69
Tabela 2 : Lista de índices com caso de oclusão de um marcador na câmera da esquerda.	71
Tabela 3 : Correspondência entre candidatos da câmera da esquerda e da direita com a câmera pivô.	79
Tabela 4 : Número de pontos reconstruídos entre as câmeras.	79
Tabela 5 : Número de pontos 3D candidatos finais para cada marcador.	80

1 Introdução

A realidade virtual é uma área de pesquisa que tem tido um crescente desenvolvimento nos últimos anos. Esta área tem se expandido e despertado o interesse de várias áreas de conhecimento, tais como medicina, aeronáutica, o campo militar, arquitetura, robótica, a indústria automobilística, etc. Essa aproximação de diferentes áreas ajudou no surgimento de aplicações inovadoras, que, em alguns casos, mudaram os pontos de vista sobre as vantagens de se utilizar ambientes virtuais para simular experiências e atividades que acontecem no mundo real (Figura 1).

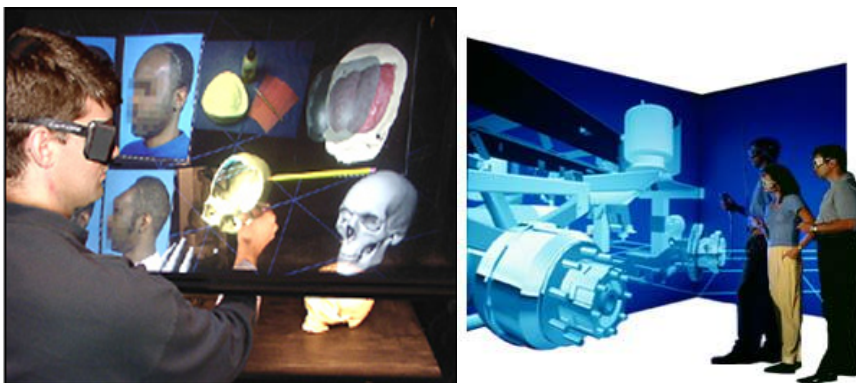


Figura 1 : Aplicações de Realidade Virtual.

(Fonte : <http://www.sgi.com/realitycenter/>)

Como consequência do constante crescimento, têm sido dadas várias definições sobre o que é a realidade virtual, cada uma tentando abarcar os novos avanços que cada ano tem esta área. Uma das definições da realidade virtual a descreve como um ambiente artificial implementado utilizando hardware e software, que é apresentado ao usuário de forma que ele tenha a impressão de que está dentro de um ambiente real [1]. Para entrar nessa “realidade virtual”, o usuário utiliza diversos dispositivos de interação. Entre os dispositivos mais comuns temos: luvas especiais, dispositivos de rastreamento, capacetes, fones de ouvido, telas de projeção 3D e CAVE (Figura 2).

Esses dispositivos criam dois canais de comunicação entre o usuário e a aplicação, permitindo que o usuário emita eventos, provocando certas ações e movimentos e, ao mesmo tempo, receba sinais que o sistema computacional envia como resposta a alterações que se dá no ambiente virtual onde o usuário está imerso.

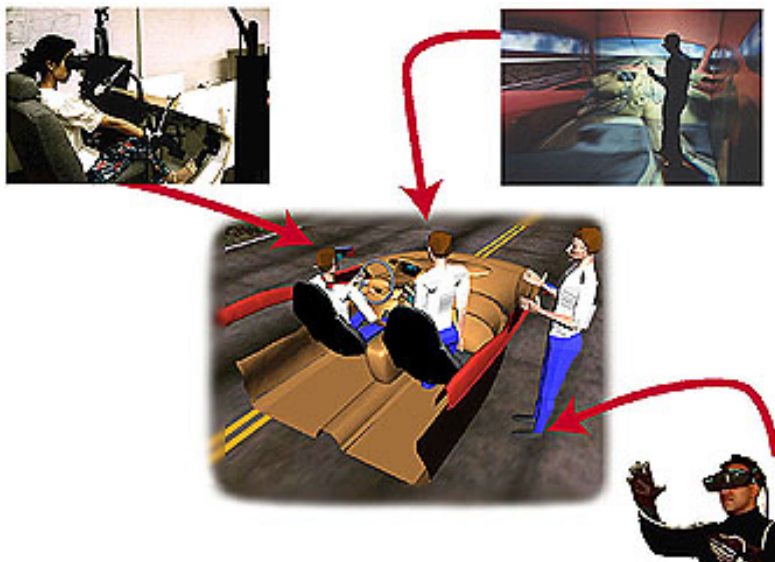


Figura 2 : Dispositivos especializados usados para dar imersão ao usuário

(Fonte : [http:// www-vrl.umich.edu/intro/](http://www-vrl.umich.edu/intro/))

Além da realidade virtual há outras áreas relacionadas a ela, como a realidade aumentada, a realidade mista e a telepresença, que compartilham fundamentos teóricos e inclusive reutilizam dispositivos de interação da área de realidade virtual.

1.1. Motivação

Conforme definido na introdução, o crescimento das aplicações na área da realidade virtual tem como um fator importante o alto grau de conexão que ela possui com outras áreas do conhecimento. Isso permitiu que novas formas de interação surgissem entre o usuário e os ambientes virtuais 3D, criando-se um novo paradigma de interface humano-computador [2].

Esse paradigma tem como consequência direta a criação de novos dispositivos de hardware, desenvolvidos visando dar suporte a eventos de

interação, que se originaram da experiência de trabalhar e interagir em um espaço 3D. Eles são dispositivos especializados e orientados a dar suporte a essas novas formas de interação, também permitindo dar certo grau de imersão ao usuário dentro das aplicações 3D com as quais interagem.

Como esse tipo de hardware não é planejado para ser de uso geral, a sua construção normalmente tem um alto custo de produção, o que o leva a ficar confinado a laboratórios de pesquisa especializada com alto nível de investimento na área de realidade virtual.

Esta dissertação faz parte da linha de pesquisa que procura uma nova opção de dispositivo de interação que seja fácil de montar e tenha um baixo custo para ser construído. Nela é proposto um dispositivo de rastreamento baseado em tecnologia óptica que visa dar suporte à manipulação e ao controle de objetos 3D, em aplicações de realidade virtual de tipo “Fishtank”¹ [3] que são utilizadas em ambientes desktop.

Tal dispositivo objetiva ser uma ferramenta de experimentação flexível, pois permite que o usuário crie e adapte novos eventos tendo como base o sistema de rastreamento. O sistema pode chegar a recuperar até seis graus de liberdade no processo de rastreamento de um conjunto de marcadores esféricos predefinidos. Tais adaptações de eventos podem ser utilizadas para criar um canal de comunicação entre as aplicações 3D e o usuário.

1.2. Objetivo

Como objetivo proposto para esta dissertação, definiu-se a construção e implementação de um dispositivo experimental de rastreamento óptico orientado a extrair os seis graus de liberdade da movimentação feita por um conjunto de marcadores esféricos, controlados pela mão do usuário. A captura e o rastreamento dos marcadores são feitos dentro de uma área limitada e definida pelo desenho físico do dispositivo, o qual permite que o dispositivo fique ao lado do computador dentro de um ambiente desktop comum de trabalho.

¹ “Fishtank”: definição para aplicações 3D nas quais o dispositivo de visualização normalmente está restrito a um monitor ou tela plana para onde o usuário sempre tem que estar olhando de frente.

A partir da extração dos seis graus de liberdade, nosso dispositivo de rastreamento é adaptado para se comportar como um dispositivo de entrada, que emite eventos que são interpretados pelo sistema, permitindo controlar objetos ou navegar dentro de aplicações desktop 3D de realidade virtual.

No final desta dissertação apresentamos testes de funcionalidade do dispositivo proposto em uma aplicação 3D, em que a sensação de semi-imersão é definida pelo controle natural e adaptação que o dispositivo permite ao usuário na navegação e controle de um objeto dentro do mundo virtual.

1.3. Organização da dissertação

A distribuição dos capítulos desta dissertação está orientada a descrever passo a passo a construção e implementação do dispositivo de rastreamento óptico proposto.

No Capítulo 2 apresentamos os sistemas de rastreamento existentes, classificando-os pelo tipo de tecnologia que usam, fazendo um resumo das vantagens e desvantagens que têm, com ênfase na estrutura e nos componentes dos dispositivos de tecnologia óptica.

No Capítulo 3 fazemos uma descrição da teoria envolvida na construção e implementação do nosso dispositivo óptico de rastreamento. Descrevemos, em detalhe, os componentes que o constituem e o fluxo de processos executado para realizar o rastreamento de marcadores esféricos até sua reconstrução 3D dentro do espaço de rastreamento. A partir do rastreamento dos marcadores esféricos definimos padrões específicos que são rastreados como objetos únicos.

No Capítulo 4 mostramos como são extraídos os seis graus de liberdade dos movimentos realizados por nosso conjunto de marcadores e como são feitas as adaptações para conseguir emitir eventos a partir da movimentação do padrão de marcadores esféricos controlados pela mão do usuário. Descrevemos a aplicação de teste implementada e os resultados obtidos com a utilização do dispositivo.

No Capítulo 5 apresentamos as conclusões e sugerimos trabalhos futuros que planejamos implementar a partir desta proposta do nosso dispositivo.

2

Dispositivos de Rastreamento para Realidade Virtual

Na área de realidade virtual são definidos quatro elementos-chave que formam parte de uma experiência em um ambiente virtual [4]:

1. O mundo virtual, definido como o mundo imaginário ou sintético que é apresentado comumente por dispositivos de visualização.
2. A sensação de imersão, definida pela sensação de presença [5] que se tem dentro do mundo virtual. Essa experiência pode estar reforçada por respostas físicas que o usuário recebe.
3. As respostas sensoriais, agrupando as informações visuais, táteis e auditivas, que o usuário recebe do sistema e que estão em concordância com o estado atual do mundo virtual onde ele está imerso.
4. A interatividade, definida pela adaptação e alteração constantes que o sistema faz sobre o mundo virtual, em concordância com as mudanças de posição e ponto de vista do usuário na sua movimentação dentro do mundo virtual. Forsberg em [6] define a interação como a capacidade do sistema de dar resposta a ações do usuário.

Para dar apoio a esses quatro elementos-chave, também são definidas quatro tecnologias críticas que devem estar presentes nos sistemas de realidade virtual [7]:

- Os dispositivos visuais, táteis e auditivos utilizados para gerar a imersão do usuário e bloquear as sensações externas que vêm do mundo real.
- O sistema de renderização gráfica das imagens do mundo virtual, que deve manter uma taxa de quadros entre 20 e 30 fps (frames por

segundo), para não perder a sensação de continuidade e imersão do mundo virtual.

- O sistema de rastreamento, que permite captar a posição, ações e movimentos que o usuário faz no momento da sua interação.
- O sistema de banco de dados, que gerencia, otimiza e melhora os detalhes realistas dos modelos renderizados no mundo virtual.

Dentro das tecnologias mencionadas temos duas que se relacionam diretamente: os dispositivos de entrada e os sistemas de rastreamento. Ambas dão suporte importante a dois elementos-chave: a interação e a sensação de imersão [8, 9, 10]. É por essa razão que os dispositivos de rastreamento são considerados como dispositivos de entrada. Eles satisfazem os dois elementos-chave mencionados, pois permitem capturar dados a partir de ações e movimentos do usuário (imersão) e adaptá-los para funcionar como eventos que permitam o controle, a navegação e a seleção de objetos dentro do mundo virtual por parte do usuário (interação).

Para a construção dos dispositivos de rastreamento são utilizadas diferentes tecnologias físicas, como a magnética, mecânica, acústica, inercial, óptica e híbrida. Esses dispositivos estão orientados a permitir a livre movimentação e rastreamento do usuário ou partes do seu corpo, dentro de um espaço definido, permitindo que o usuário sinta que suas ações físicas têm uma interpretação na aplicação 3D em que ele interage [11, 12]. Cada tecnologia apresenta vantagens e desvantagens que aumentam ou diminuem a sensação de imersão e interação que se tenta dar ao usuário. Na seqüência é apresentado um resumo das características de dispositivos de rastreamento implementados com diferentes tecnologias.

- **Rastreamento Eletromagnético**

Este tipo de tecnologia utiliza transmissores que emitem campos magnéticos de frequência baixa e pequenos receptores. A partir dos receptores são determinadas a posição e a orientação relativa do objeto rastreado em relação à fonte magnética.

O alcance deste tipo de dispositivo varia de 1 a 10 metros. A precisão que se pode alcançar com ele é de 2mm em reconstrução da posição, e 1° para reconstruir a orientação.

A desvantagem que tais dispositivos apresentam é que objetos condutores (metálicos) ou ferromagnéticos não podem estar presentes no espaço de rastreamento, onde o dispositivo é colocado, porque eles causam distorção no campo magnético, tendo como consequência a perda de precisão na hora de recuperar os dados.

Outra desvantagem é que os receptores comumente estão ligados por meio de cabos a um dispositivo que agrupa e gerencia seu funcionamento, o que cria desconforto para o usuário, especialmente quando ele se movimenta no espaço de rastreamento. Como um exemplo deste tipo de dispositivo temos o “Flock of Birds” produzido pela Ascension Technology Corporation (Figura 3).



Figura 3 : Rastreador Eletromagnético “Flock of Birds”.

(Fonte : <http://www.ascension-tech.com/products/>)

- **Rastreamento mecânico**

Este tipo de rastreamento utiliza estruturas mecânicas rígidas e trabalha em conjunto com transdutores eletromagnéticos como potenciômetros, codificadores de eixos e sensores de dobra para recuperar a posição e orientação dos objetos rastreados. Alguns desses dispositivos devem ficar fixos no espaço de rastreamento ou serem colocados no objeto a ser rastreado. No caso do rastreamento do usuário são geralmente colocados nas mãos ou na cabeça.

As vantagens que estes dispositivos apresentam são a precisão e a baixa latência. Além disso, alguns deles apresentam a característica de “force feedback”, que permite criar respostas táteis, por exemplo com luvas que implementam força inversa para os movimentos das mãos. Isto ajuda a dar uma melhor sensação de imersão e realismo dentro do ambiente virtual onde se interage.

A principal desvantagem é a restrição de mobilidade que apresenta ao usuário, como consequência das estruturas rígidas que compõem os dispositivos. Como exemplos temos um dispositivo baseado em uma estrutura fixa em forma de braço que serve de ponto de referência para a recuperação da posição e rotação do usuário (Figura 4a), e um dispositivo de resposta tátil “force feedback” apresentado como uma luva mecânica que gera forças inversas nos dedos como resposta para a sensação de pegar um objeto com volume (Figura 4b).

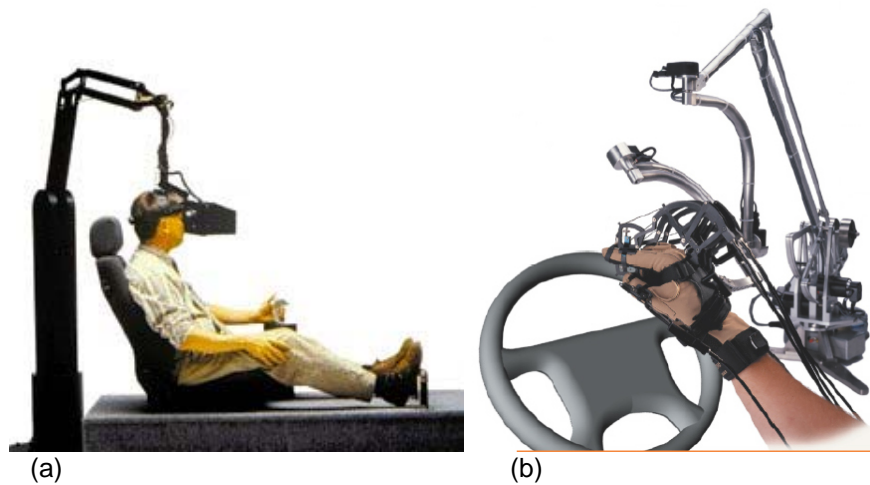


Figura 4 : Dispositivos mecânicos (a) “Fakespace FS2” Fakespace Systems, (b) “CyberForce ” Immersion Corporate.

(Fonte : <http://www.stereo3d.com/more.htm>,
http://www.immersion.com/3d/products/cyber_force.php)

- **Rastreamento acústico**

Este tipo de rastreamento utiliza fontes emissoras de som de alta frequência que são captadas por microfones dentro do espaço de rastreamento (Figura 5). Ele tem duas configurações de

implementação: em uma a fonte de som é colocada no objeto a ser rastreado e os microfones estão espalhados na área de rastreamento (*outside-in* [13]) ou, pelo contrário, os microfones ficam no objeto e as fontes de som no espaço de rastreamento (*inside-out* [13]). A forma de rastrear a posição dos objetos é medindo o tempo de vôo dos pulsos de ultra-som, desde que saem dos emissores até sua chegada aos microfones. Esse tempo é então multiplicado pela velocidade do som, recuperando uma estimativa da distância dos receptores até a fonte. Com três ou mais receptores, fazendo triangulação, pode-se recuperar também a orientação do conjunto de receptores, como um único objeto rastreado.

As vantagens que esses dispositivos apresentam são o baixo preço e pouco peso que têm. Entre as desvantagens temos a perda de precisão quando no ambiente existem objetos com superfícies que refletem as ondas de som ou objetos que geram sons que atrapalham a identificação das ondas, como o som de telefones ou até do teclado. Esses dispositivos também apresentam uma baixa taxa de amostragem.

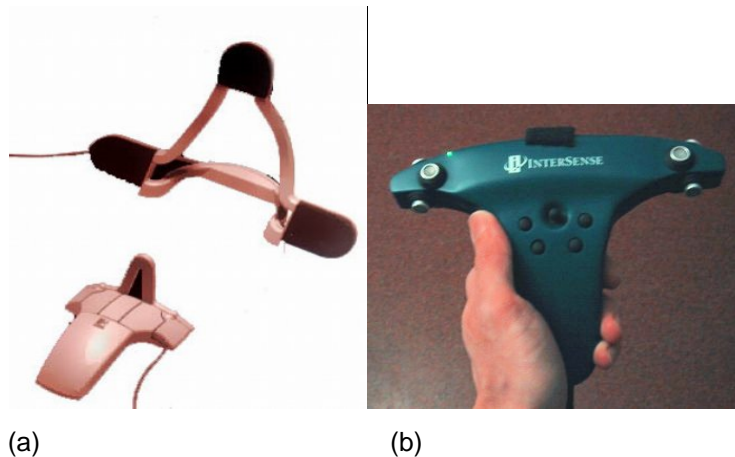


Figura 5 : Dispositivos acústicos (a) “The Fly Mouse” Logitech, (b) “IS-900” Intersense wand.

(Fonte : http://resumbrae.com/ub/dms438_f03/Tracking/04.html,
<http://www.cs.nps.navy.mil/people/faculty/capps/4473/projects/chang2/Full.htm>)

- **Rastreamento inercial**

Este tipo de rastreamento utiliza equipamentos de medição inercial, como giroscópios e acelerômetros e, a partir das medidas recuperadas nesses equipamentos, como a velocidade angular e a aceleração linear, pode-se reconstruir informações sobre a posição e orientação dos objetos rastreados (Figura 6).

A principal vantagem destes dispositivos é a alta taxa de amostragem. As principais desvantagens são a acumulação de erro por polarização, ruído e movimentação dos componentes internos, conseqüências naturais no funcionamento dos equipamentos, assim como a necessidade de que eles estejam conectados por cabos a unidades eletrônicas, que processam as medidas enviadas pelos equipamentos inerciais. Além disso, o peso dos equipamentos cria certo desconforto no usuário, sobretudo quando ele precisa colocá-los em partes de seu corpo.



Figura 6 : Dispositivo inercial, Fakespace Systems Inc “CubicMouse “.

(Fonte : <http://www.biad.uce.ac.uk/research/rti/riadm/issue2/guide.html>)

- **Rastreamento Híbrido**

Este tipo de rastreamento é definido como uma combinação de rastreamento de diferentes tecnologias. A intenção é utilizar a melhor característica de um dispositivo para dar robustez à desvantagem do outro. Por exemplo, componentes inerciais são

utilizados para rastrear a orientação de um objeto e o ultra-som para rastrear o posicionamento, recuperando assim os 6 DoF² da movimentação do objeto. Esta combinação dá aos dispositivos mecânicos a possibilidade de não utilizar cabos que atrapalhem a movimentação do usuário. Além disso, os dispositivos ganham a vantagem de melhorarem sua precisão, pois eles terão uma maior quantidade de informações para calcular os valores da posição e orientação do objeto a ser rastreado.

Também há uma tendência a incorporar novas tecnologias nos dispositivos, como GPS (sistema de posicionamento global), que é usado em combinação com giroscópios e acelerômetros para rastreamento em áreas amplas. Esta vantagem tem maior importância em aplicações no campo da realidade aumentada (Figura 7).



Figura 7 : Dispositivo híbrido que combina rastreamento inercial e GPS, “Battlefield Augmented Reality System (BARS)”.

(Fonte : <http://www.ait.nrl.navy.mil/vrlab/projects/BARSeval/BARSeval.html>)

2.1. Rastreamento Óptico

Este tipo de rastreamento é implementado com base em técnicas de visão computacional e no uso de sensores ópticos, como câmeras de vídeo, e emissores ou diodos de luz infravermelha.

O funcionamento se baseia na captura pelas câmeras dos emissores de luz ou objetos revestidos de material retrorreflexivo que, após a aplicação de técnicas

² DoF : Degrees of Freedom – Graus de liberdade.

de visão computacional sobre as imagens capturadas, dão como resultado a posição e orientação dos objetos rastreados no espaço 3D (Figura 8).

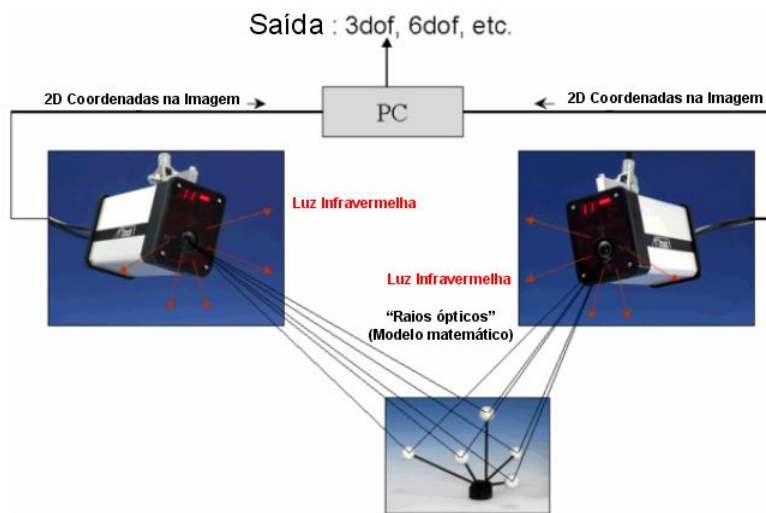


Figura 8 : Diagrama Funcional de um sistema de rastreamento óptico.

(Fonte : <http://www.ar-tracking.de/>)

Para a implementação destes dispositivos temos duas configurações análogas às apresentadas nos dispositivos acústicos [13]: na primeira configuração a fonte de luz, ou os marcadores retroreflexivos, estão localizados no objeto rastreado e as câmeras estão posicionadas no espaço de rastreamento (*Outside-in*); na segunda configuração, as fontes estão dispersas no espaço de rastreamento definindo eixos 2D, no teto ou nas paredes, e as câmeras ficam no objeto rastreado (*Inside-out*). O tipo de marcador também varia em razão da configuração utilizada; por exemplo, os marcadores esféricos têm uma melhor utilização quando são colocados nos objetos rastreados em configurações do tipo *Outside-in* (Figura 9a). Para configurações do tipo *Inside-out* são comumente utilizados padrões planares com desenhos específicos sobre eles, chamados de “Fiducial Landmarks”, que são colocados de forma fixa e distribuída em todo o espaço de rastreamento (Figura 9b).



(a)

(b)

Figura 9 : Tipos de marcadores (a) Marcadores Esféricos, (b) Fiducial Landmarks.

(Fonte : <http://movis.net/research/mocap/>,

<http://wearables.unisa.edu.au/projects/ARQuake/www/photo/photo/pattern/ceiling.html>)

Quanto aos dispositivos de captura, pode-se utilizar desde simples câmeras web até sofisticadas câmeras de vídeo de alta resolução, com altas taxas de amostragem e maiores densidades de pixels.

Para implementar este tipo de rastreamento, temos também vários fatores que são importantes e devem receber consideração especial no processo. Em alguns casos estes fatores viram parte da configuração interna dos dispositivos de rastreamento. Entre esses fatores podemos definir:

- O número de câmeras utilizadas no rastreamento.
- A posição e distribuição das câmeras dentro do espaço de rastreamento.
- A resolução e taxa de amostragem das imagens de vídeo capturadas.
- O tipo de fundo que terá o espaço de rastreamento.
- A forma e distribuição dos marcadores.
- O tipo de iluminação utilizado no espaço de rastreamento.
- As técnicas de visão computacional, utilizadas para reconstruir a posição e orientação do objeto rastreado no espaço 3D.

A principal vantagem que este tipo de rastreamento oferece é a ausência de cabos ou elementos físicos ligando os objetos rastreados a um equipamento central, causando desconforto ou atrapalhando a movimentação do usuário. Além disso, a maioria dos marcadores é muito leve e fácil de levar ou colocar no corpo. A precisão dos dados recuperados para calcular a posição e orientação dos objetos rastreados depende, na maioria das vezes, do tipo hardware utilizado (câmeras de

vídeo), dos fatores descritos acima e das técnicas de visão computacional implementadas (algoritmos de calibração, correlação de imagens e reconstrução 3D).

O principal problema no rastreamento óptico é a oclusão de marcadores. Isso acontece devido à liberdade de movimentação que o usuário tem com este tipo de rastreamento. Para resolver esse problema, são definidas soluções como aumentar o número de câmeras para rastrear melhor o espaço 3D onde o usuário se movimenta, assim como aumentar o número de marcadores colocados no objeto rastreado. Em qualquer das soluções só se pode diminuir os casos de oclusão, mas não eliminá-los completamente.

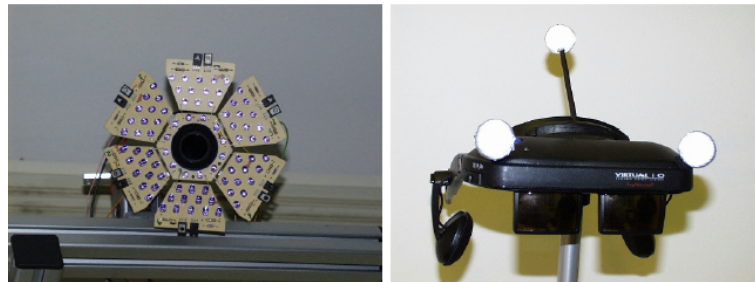
Na próxima seção apresentaremos trabalhos baseados em rastreamento óptico, que estão orientados a propor novas formas de interação entre o usuário e aplicações de realidade virtual e realidade aumentada. Deles resgataremos o tipo de configuração que utilizam, assim como características em comum, tanto do hardware utilizado como do fluxo de processos que compõem o sistema de rastreamento óptico em geral. Em seguida agruparemos um conjunto de características que consideramos úteis para a construção e implementação do dispositivo proposto nesta dissertação.

2.1.1. Estratégias

O primeiro passo para a criação de um dispositivo óptico é definir a estratégia que a parte física ou hardware utilizará para a implementação do rastreamento óptico. É assim que podemos descrever três tipos de ambientes bem definidos encontrados em diferentes trabalhos relacionados:

1. Ambientes baseados na utilização da luz infravermelha, que englobam as seguintes características:
 - Câmeras especializadas em captura de luz infravermelha (IR).
 - Fontes de luz IR, que são colocadas juntas ou sobre as câmeras de vídeo utilizadas (Figura 10a).
 - Marcadores de forma circular ou esférica com revestimento especial retrorreflexivo para refletir a luz infravermelha apenas na direção da incidência (Figura 10b).

- Não há restrições de cor do fundo da área de rastreamento, só restrições no uso de fontes de luz incandescente, que emitem luz IR e atrapalham a captura.



(a)

(b)

Figura 10 : (a) Câmera adaptada com uma fonte de luz infravermelha, (b) Marcadores esféricos retrorreflexivos. [33]

Este tipo de ambiente se encontra em trabalhos como os de [14, 15]; além disso, temos companhias que fornecem produtos comerciais de rastreamento óptico, como Vicon, Motion Analysis Corp. [16] e Motion Analysis Corporation [17]. O inconveniente destes produtos comerciais é o alto preço, o que torna difícil e restritiva sua obtenção (Figura 11).

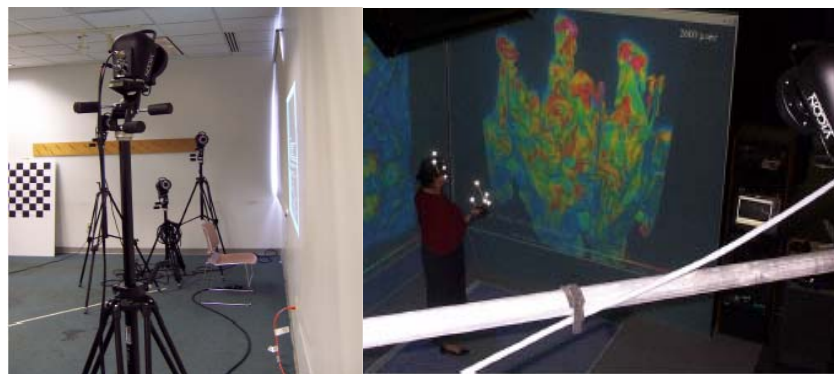


Figura 11 : Câmeras e fontes IR de Vicon Motion Systems. [18]

Trabalhos como o apresentado em [18] têm este tipo de dispositivo como parte importante do funcionamento do seu sistema de rastreamento.

2. Ambientes baseados na utilização da luz preta ou ultravioleta, como os apresentados nos trabalhos [36, 37], englobam as seguintes características:

- Câmeras comuns.
- Marcadores revestidos de papel branco. O papel branco contém fósforo e pode converter a luz ultravioleta em luz branca. A cor branca produzida pelo papel se destaca dentro do espaço de rastreamento (Figura 12a).
- Fontes de luz preta que são colocadas iluminando o espaço de rastreamento. Este espaço não deve estar iluminado por nenhum outro tipo iluminação como luz incandescente ou fluorescente (Figura 12b).
- Não há restrições de cor do fundo dentro do espaço de rastreamento, mas não são permitidos objetos de cor branca que não sejam os marcadores.



Figura 12 : (a) Marcadores de papel branco, (b) Lâmpadas de luz ultravioleta [36]

3. Ambientes que não usam nenhum tipo de luz especial, como o apresentado por Kanbara [19], englobam as seguintes características:
 - Câmeras comuns.
 - Condições de iluminação sem restrições, ou seja, pode-se utilizar fontes de luz incandescente ou fluorescente.
 - Marcadores planares com desenhos predefinidos, chamados “Fiducial markers”, ou marcadores coloridos definidos no ambiente (Figura 13).

- Possíveis restrições no ambiente, como ter uma cor predefinida em toda a área de rastreamento ou tentar evitar que a forma ou a cor dos desenhos predefinidos esteja em objetos dentro da mesma área de rastreamento (Figura 13b).

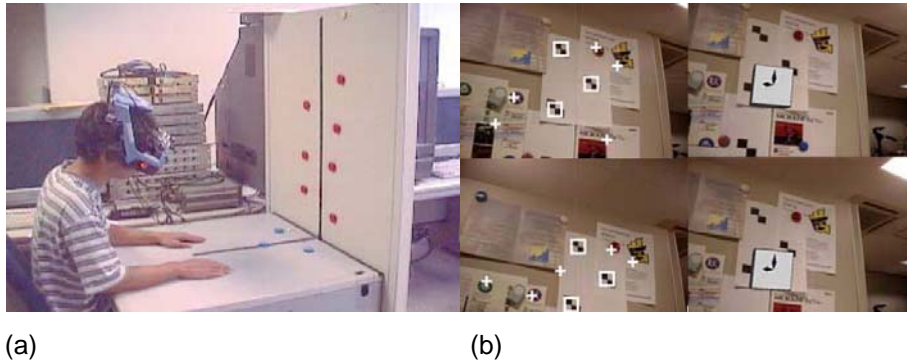


Figura 13 : (a) Marcadores e fundo com cor definida, (b) Fiducial markers. [19]

Partindo das características apresentadas nas três estratégias acima, propõe-se a seguir uma estratégia própria para o funcionamento do dispositivo desenvolvido nesta dissertação, que será apresentado em detalhes no próximo capítulo. Esta estratégia possui as seguintes características:

- Câmeras comuns, como são as câmeras web.
- Condições de iluminação sem restrições, ou seja, pode-se utilizar fontes de luz incandescente ou fluorescente.
- Marcadores de forma circular ou esférica de cor branca.

Uma restrição definida foi ter uma cor predefinida em toda a área de rastreamento, de cor preta, e outra cor de preferência oposta à cor da área, para os marcadores utilizados, que no nosso caso é a cor branca.

2.1.2. Fluxo de Processos

O segundo passo é definir o conjunto de processos, implementados com base em técnicas de visão computacional, que dão apoio às tarefas de captura, identificação e reconstrução 3D de marcadores colocados no espaço de rastreamento. A finalidade é recuperar a posição e orientação dos marcadores enquanto eles se movimentam dentro do espaço de rastreamento.

Temos trabalhos como os apresentados em [20, 21, 22, 36], de onde podemos resgatar alguns subprocessos base que são implementados na maioria dos sistemas de rastreamento propostos. Eles podem ser resumidos no seguinte fluxo de processos:

- Processamento de imagens.
- Calibração de câmera.
- Correlação de características entre imagens.
- Reconstrução 3D dos marcadores definidos.

Esses subprocessos serão então a estrutura guia para implementar o sistema de rastreamento óptico do dispositivo proposto nesta dissertação. No capítulo seguinte descreveremos, passo a passo, a construção e implementação do dispositivo proposto, definindo os algoritmos implementados para cada processo.

3

O Dispositivo de Rastreamento Óptico

Neste capítulo faremos uma descrição detalhada do dispositivo de rastreamento proposto, a qual se dividirá em duas partes. A primeira parte apresentará em detalhes a estrutura e características físicas do dispositivo. A segunda parte descreverá o processo de rastreamento óptico implementado com a finalidade de recuperar a posição 3D de marcadores esféricos que são rastreados dentro do volume de trabalho definido pelo dispositivo.

3.1.

Projeto Físico do Dispositivo

O dispositivo construído como parte desta dissertação foi projetado com o objetivo de capturar e simular, em essência, a mesma arquitetura e funcionamento que apresentam os dispositivos de rastreamento óptico comerciais utilizados para o rastreamento de áreas amplas, que usam a luz infravermelha como componente elementar para seu funcionamento.

Esses dispositivos comerciais têm em sua arquitetura certas características em comum:

- Uma área física bem definida, onde fica concentrado o campo de visão das câmeras e onde se faz o rastreamento dos marcadores definidos.
- Um conjunto de câmeras, que são colocadas a uma altura moderada da área de rastreamento para não atrapalhar a movimentação que o usuário possa fazer dentro desse espaço.
- Um conjunto de marcadores, que na maioria das vezes são esféricos, e que serão os alvos no processo de rastreamento.

As características acima são refletidas no projeto criado para o dispositivo proposto (Figura 14).



Figura 14: Características comuns da arquitetura dos dispositivos comerciais e o proposto nesta dissertação. [38]

Os componentes do dispositivo proposto são descritos a seguir. Na Figura 15 é apresentado o dispositivo proposto:

- 3 câmeras web, para nossa implementação se utilizou duas câmeras do tipo CCD Logitech QuickCam Pro 4000 e uma CMOS Creative WebCam NX Pro.
- Uma caixa de madeira, pintada de cor preta, com dimensões de $0.5 \times 0.5 \times 0.5$ m.
- Um suporte móvel de alumínio, que serve de base para as câmeras web.
- Duas lâmpadas, colocadas nos extremos laterais da caixa de madeira.
- Bolas de isopor branco utilizadas como marcadores.



Figura 15: Dispositivo proposto nesta dissertação.

Quanto à forma de conexão do dispositivo, podemos dizer que ele só precisa estar ligado a um único computador, o qual requer de 3 portas USB livres para a conexão direta e individual de cada câmera web. O resto do funcionamento fica sob o controle de uma biblioteca implementada para administrar e interpretar a emissão dos eventos, gerados a partir de adaptações do dispositivo, e enviá-los a uma aplicação.

Uma diferença com dispositivos comerciais é que nosso dispositivo não utiliza a luz infravermelha como parte elementar de seu funcionamento. O motivo pelo qual os dispositivos comerciais usam este tipo de luz é porque precisam de um meio físico que permita ressaltar os marcadores dentro do espaço de trabalho. Eles conseguem isto ao trabalhar com câmeras onde foram colocados filtros especiais sobre as lentes para permitir a detecção de fontes de luz infravermelha e marcadores revestidos de material que reflete este tipo de luz.

Para manter essa mesma característica, nosso dispositivo utiliza uma estratégia baseada em criar um contraste natural de cor entre o que seria o volume de trabalho, definido pelas dimensões da caixa de cor preta, e os marcadores esféricos que são as bolinhas de isopor branco. Esta característica procura simular o mesmo ambiente físico que se consegue quando se utiliza luz infravermelha, podendo prescindir de câmeras modificadas para capturar algum tipo de luz especial para o processo de rastreamento.

Temos também algumas características adicionais levadas em conta na construção do nosso dispositivo, em razão do uso e do tipo de aplicação ao qual está dirigido seu projeto físico. Essas características adicionais são:

- O desenho compacto permite colocar o dispositivo dentro um ambiente desktop comum.
- As dimensões do espaço de trabalho foram projetadas para suportar o rastreamento da mão do usuário, que leva colocada uma luva preta para não alterar o contraste entre a cor do fundo e a dos marcadores.
- A estrutura permite liberdade de movimento na hora do rastreamento dos marcadores, os quais poderão estar colocados na luva ou serem agrupados em padrões específicos, que também poderiam ser controlados pela mão do usuário (Figura 16).

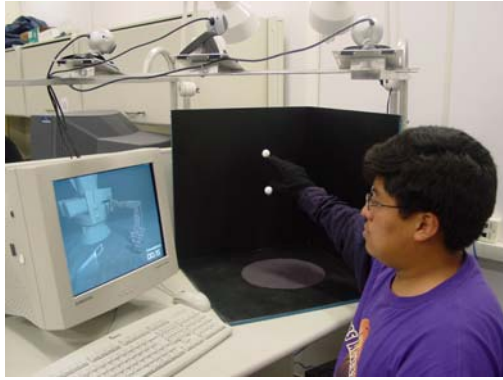


Figura 16: Espaço para rastreamento da movimentação livre da mão do usuário.

Sobre a resolução de captura das câmeras, foi definido trabalhar a uma resolução de 320×240 pixels. Esta resolução é a metade da resolução máxima das câmeras utilizadas, mas provê uma imagem nítida e útil para as etapas de processamento das imagens de vídeo.

3.2. Processo de Rastreamento

A segunda parte deste capítulo apresentará a teoria relacionada e a implementação dos subprocessos que compõem o rastreamento óptico como um todo.

O processo de rastreamento óptico é composto por vários subprocessos:

- Captura e processamento da imagem de vídeo, extração de marcadores.
- Calibração das câmeras web.
- Correlação de marcadores.
- Reconstrução 3D dos marcadores.

A seguir, faremos a descrição de cada subprocesso, que contará com uma breve introdução da teoria que o envolve, sendo apoiada por imagens de uma aplicação de teste que foi implementada para visualizar os resultados obtidos depois de executar o subprocesso sobre as imagens capturadas.

3.2.1. Processamento da Imagem e Extração de Marcadores

O primeiro subprocesso na implementação do sistema de rastreamento é a extração de marcadores e pontos de referência a partir da análise e do processamento da imagem de vídeo capturada por cada câmera web.

Neste subprocesso se tem como primeiro passo a captura e visualização na tela do computador das imagens de vídeo que vêm de cada câmera. Na implementação podemos observar como as 3 imagens de vídeo são capturadas simultaneamente. As imagens são capturadas com uma resolução de 320×240 pixels, a qual permite manter uma taxa de visualização que em média oscila entre 29.05 e 30.00 fps.

A Figura 17 mostra nossa aplicação de teste, na qual podemos observar as 3 imagens de vídeo capturadas e uma imagem repetida. As três imagens têm diferentes perspectivas do espaço de rastreamento da caixa que compõe o dispositivo, em razão das diferentes posições e campos de visão de cada câmera web colocada no suporte de alumínio da caixa.

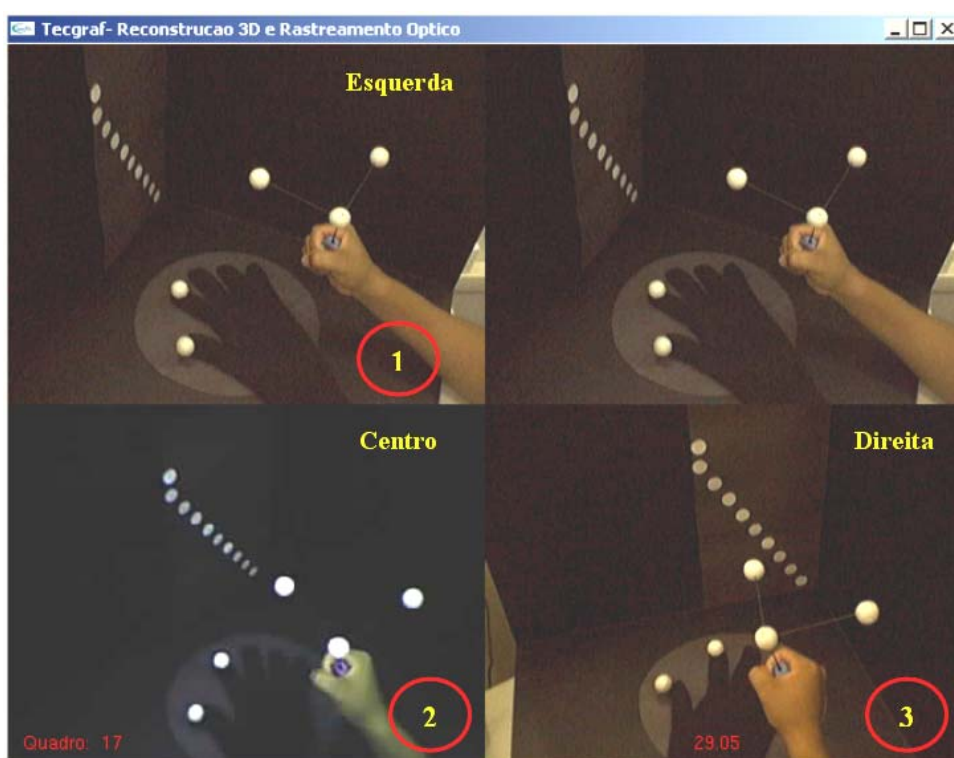


Figura 17 : Imagens de vídeo capturadas por 3 câmeras web.

Como próximo passo na extração das características a partir das imagens de vídeo, foi necessário converter os 3 canais de cor das imagens em um só canal em escala de cinzas. Esta simplificação permite diminuir a quantidade de informação referente às imagens analisadas e, ao mesmo tempo, ressaltar as características de contraste de cor que há entre o fundo e os marcadores ou pontos de referência. Nós assumimos esta característica como parte restritiva no ambiente onde será feito o rastreamento dos marcadores.

A conversão dos canais de cor para a escala de cinzas é feita pela seguinte fórmula implementada pela biblioteca OpenCV [23] para a conversão de cada valor de um pixel em cor para um valor em escala de cinza :

$$GrayScale_{Value}(x,y) = (R_{Value} \times 0.2126 + G_{Value} \times 0.7156 + B_{Value} \times 0.072169)_{Value}(x,y)$$

Depois da conversão das imagens em escala de cinzas, o passo seguinte é aplicar em cada imagem uma série de filtros que nos permitam inicialmente eliminar ruídos e suavizar os contornos e formas definidos pelos objetos na imagem de vídeo [24].

O primeiro filtro utilizado é um filtro de Gauss para suavizar as variações dos contornos dos objetos da imagem, e assim permitir uma melhor identificação dos contornos num passo posterior.

Na Figura 18, as imagens foram transformadas para imagens em escala de cinzas e processadas com um filtro de Gauss, com um kernel 2D de máscara 5x5, o qual é convoluído com a imagem de vídeo capturada. Esse filtro ajuda a diminuir o efeito de sombras e brilhos que possam estar presentes nas imagens. A máscara 5x5 criada para convoluir cada pixel da imagem para o caso discreto com um desvio padrão de $\sigma = 1$ e $m = 5$ é a seguinte:

$$I_G = I \otimes G$$

$$I_G = \sum_{h=-\frac{m}{2}}^{\frac{m}{2}} e^{-\frac{h^2}{2\sigma^2}} \sum_{k=-\frac{m}{2}}^{\frac{m}{2}} e^{-\frac{k^2}{2\sigma^2}} I(i-h, j-k) \quad G_{5 \times 5} = \frac{1}{273} \begin{bmatrix} 1 & 4 & 7 & 4 & 1 \\ 4 & 16 & 26 & 16 & 4 \\ 7 & 26 & 41 & 26 & 7 \\ 4 & 16 & 26 & 16 & 4 \\ 1 & 4 & 7 & 4 & 1 \end{bmatrix}$$

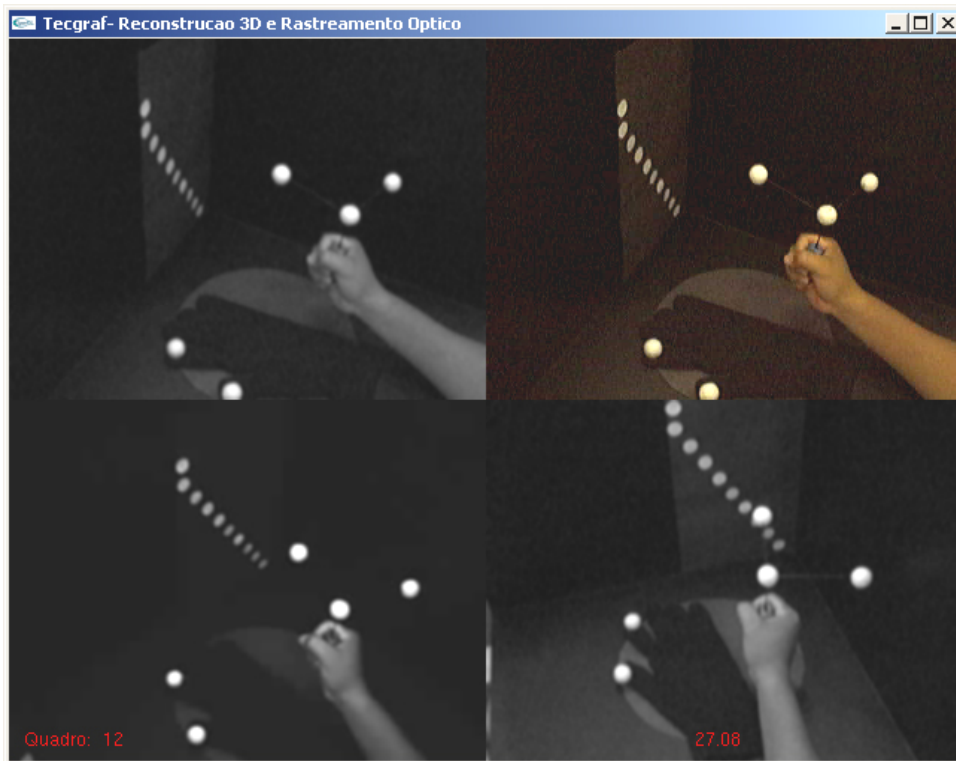


Figura 18 : Imagens de vídeo convertidas à escala de cinzas e processadas com filtro gaussiano de kernel 5x5.

Como próximo passo, foi definida a aplicação de um filtro de threshold sobre a imagem em escala de cinzas, o qual permitirá extrair as áreas de maior contraste na imagem.

Como se assumiu trabalhar num ambiente de contraste, o filtro de threshold devolverá uma imagem binária na qual as possíveis áreas dos pontos mais claros dentro da imagem serão ressaltadas. Esta restrição de trabalhar com um fundo em contraste em relação aos marcadores foi definida pela correlação que se quer criar com um ambiente de rastreamento com câmeras de detecção de luz infravermelha e marcadores revestidos de material retrorreflexivo.

A fórmula do filtro de threshold que a biblioteca OpenCV implementa tem o seguinte critério:

$$Binary(x, y)_{value} = \begin{cases} = Valor\ Maximo(255) & ;\ if\ (GrayScale_{value}(x, y)) > threshold_{value} \\ 0 & ;\ Otherwise \end{cases}$$

Dentro de nossa aplicação teste, o limiar $threshold_{value}$ utilizado foi de 150, isto dentro da escala de cinzas de [0, 255], mas também foram testados valores dentro do intervalo (144–158), que também deram bons resultados.



Figura 19 : Imagens de vídeo convertidas em imagens binárias por filtro threshold.

Como se pode observar na Figura 19, as áreas dos objetos em contraste com o fundo estão sendo ressaltadas como áreas brancas. É aqui onde se planeja extrair os possíveis contornos dos pontos de referência ou dos marcadores a serem rastreados, e com esta informação, calcular o centro das áreas circulares que definem os marcadores.

A estratégia para achar o centro das áreas brancas, que representam os marcadores na imagem binária, consiste em aproximar o centro da área com a média aritmética das coordenadas 2D dos pontos que formam o contorno das áreas circulares brancas que representam nossos marcadores.

Quando já se definiu a média aritmética das coordenadas 2D dos pontos de cada contorno, nos eixos “ u ” e “ v ”, utilizamos esses valores como o centro que define a posição de nosso marcador em coordenadas da imagem (u, v) . Este mesmo processo é feito para se rastrear os marcadores esféricos que utilizaremos no processo de reconstrução. Na Figura 20, é apresentado o resultado do processo de extração dos centros das áreas, que representam marcadores e pontos de referência no espaço de rastreamento.

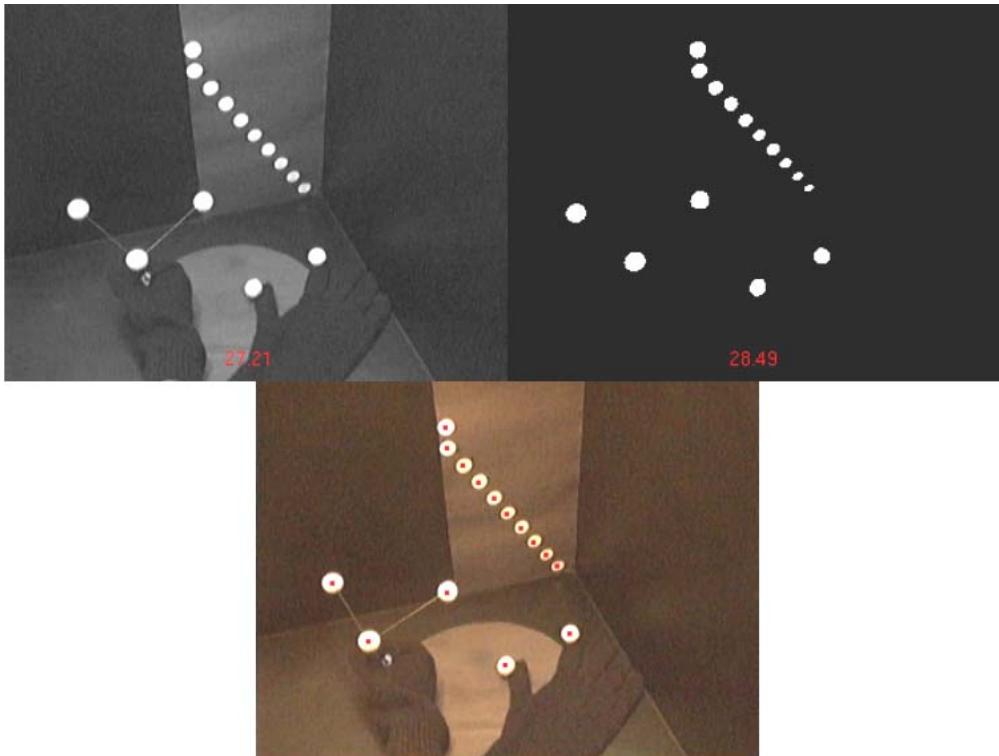


Figura 20 : Imagem de vídeo onde se visualiza o centro dos pontos do padrão e marcadores.

Com a extração das características termina esta primeira etapa do sistema de rastreamento.

Com base nas coordenadas da imagem 2D correspondentes aos pontos de referência e marcadores, pode-se continuar com a etapa de calibração, correspondência de marcadores e finalmente reconstrução.

3.2.2. Calibração de Câmeras

O segundo subprocesso na implementação do sistema de rastreamento óptico, que nos permitirá produzir a imersão em um cenário virtual, é a calibração de cada câmera web que utilizaremos no dispositivo proposto.

A calibração de cada câmera tem como objetivo encontrar uma medida de relacionamento entre o mundo 3D, ou seja, o espaço físico que é visto pela câmera, e o plano da imagem 2D que nós vemos na tela do computador visualizando o espaço físico capturado.

Essa medida de relacionamento é expressa como uma transformação que inclui uma matriz de rotação e um vetor de translação que nos permitam levar

coordenadas do mundo 3D físico – medidas tomadas em milímetros – para posições 3D do sistema de coordenadas internas definidas para cada câmera web – medidas em escala livre – e, em um último passo, transformar as coordenadas 3D expressas no sistema de cada câmera em posições 2D no plano da imagem que é desenhado no computador – medidas expressas em pixels. O plano da imagem está posicionado a uma distância “ f ” (distância focal expressa em coordenadas do sistema da câmera).

Para a calibração da câmera existem vários tipos de algoritmos definidos na literatura. Em uma das classificações existentes, eles são divididos em algoritmos de calibração fotogramétrica e algoritmos de autocalibração [25].

Para a nossa proposta decidiu-se utilizar um algoritmo de calibração fotométrica, o método TSAI na versão não-coplanar, que se baseia na captura de um padrão 3D conhecido, do qual são conhecidas as medidas físicas de certos pontos de referência.

3.2.2.1. Implementação do Método TSAI Não-Coplanar

O método de calibração de câmera proposto por Roger Y. Tsai descreve como achar os parâmetros intrínsecos e extrínsecos de uma câmera que permite a transformação de pontos no espaço 3D em pixels no plano da imagem da câmera [26, 27].

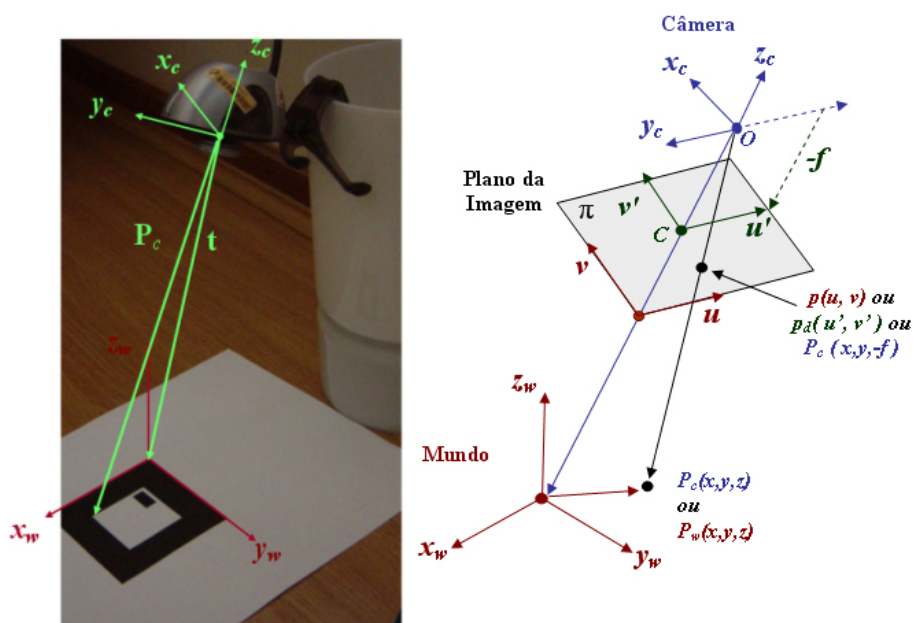


Figura 21: Modelo de captura da câmera pinhole.

Como mostrado na Figura 21, no modelo da câmera pinhole tem-se um ponto no espaço do mundo $P_w(x,y,z)$, o qual tem como equivalente em coordenadas do mundo da câmera o ponto $P_c(X,Y,Z)$. O raio que sai do centro do sistema de coordenadas da câmera intercepta o plano da imagem no ponto $P_c(X,Y,-f)$, isto em coordenadas da câmera, que em coordenadas no plano da imagem é $p(u',v')$. Define-se o ponto “O” como o centro do sistema de coordenadas da câmera e “C” como centro de coordenadas 2D do plano da imagem “ π ”. Normalmente este centro será considerado como o ponto (0,0) da imagem o que realmente é definido por o canto inferior esquerdo, como mostrado na Figura 21, para o centro do plano $p(u',v') = p(u - C_u, v - C_v)$. Além disso, devido à presença da distorção radial das lentes da câmera, o ponto $P_d(u'_d, v'_d)$ seria o ponto final que conseguimos ver na imagem desenhada no plano da imagem. Como último passo é necessário transformar essas coordenadas da imagem, com distorção, para coordenadas no frame buffer do dispositivo de captura $p_f(u',v')$.

No método de calibração TSAI, na versão não-coplanar, poderíamos precisar conhecer alguns parâmetros específicos sobre o hardware das câmeras a serem utilizadas, que são:

- dx e dy , a distância horizontal e vertical entre os centros das células contidas no chip CCD dentro da câmera.
- Ncx , o número de células contidas em uma fila no chip CCD.
- Nfx , o número de pixels contidos em uma fila no buffer de memória.

Para nossa experiência trabalhou-se com dois tipos de câmera web, mostradas na Figura 22, para as quais foram encontrados os parâmetros de hardware necessários ao algoritmo de TSAI:

Câmera	Logitech QuickCam Pro - 4000	Creative Webcam Nx -Pro
Modelo do Chip	Sony ICX098AK, Sony ICX098BQ, Sharp LZ24BP	Hyundai HV7131B
Célula tamanho horizontal dx	0.0056 μm	0.008 μm
Célula tamanho vertical dy	0.0056 μm	0.008 μm
Número de células Ncx	659	642
Número de pixels Nfx	640	640

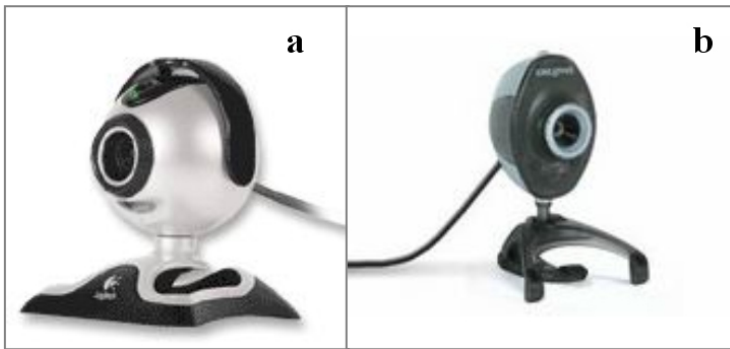


Figura 22 : Câmeras web utilizadas, (a) Logitech QuickCam Pro-4000, (b) Creative WebCam Nx-Pro.

Esses dados, na versão original do algoritmo TSAI não-coplanar, nos permitem definir alguns fatores de escala que seriam importantes no caso de se trabalhar com aplicações que requerem precisão na recuperação e no relacionamento entre as medidas físicas de nosso hardware e os resultados que o algoritmo TSAI gerará.

Por isso, nas aplicações em que a precisão nas medidas recuperadas é importante, o conhecimento desses parâmetros será justificável, mas nossa implementação, com a intenção de generalizar, pode assumir que trabalhamos com uma câmera pinhole padrão cujos parâmetros de que precisamos seriam:

- **Modelo do chip:** Nenhum.
- Nas características de um chip é descrito só o tamanho de uma célula em micrômetros, para o qual se assume que a distância entre os centros das células é igual ao tamanho dela. Então, assumimos na horizontal $dx = 1.0 \mu m$ e na vertical $dy = 1.0 \mu m$, o que levará a uma proporção unitária de medidas da célula.
- O número de pixels efetivo utilizado dentro do chip foi $N_{cx} = 640$ (células), e o tamanho do frame buffer com o qual a câmera trabalha é de $N_{fx} = 640$ (pixels). Aqui o fator entre o tamanho físico e número de pixels capturado por cada célula de nosso chip simétrico será também unitário.

Depois de definir os dados referentes aos parâmetros internos de nosso hardware, inicia-se o processo de calibração definindo o mundo ou espaço de trabalho onde interagiremos. A Figura 23 ilustra como seriam os eixos do sistema de mundo definido pela estrutura da caixa que compõe o dispositivo, em uma configuração se utiliza fundo preto para a caixa e no outro se utiliza fundo branco.

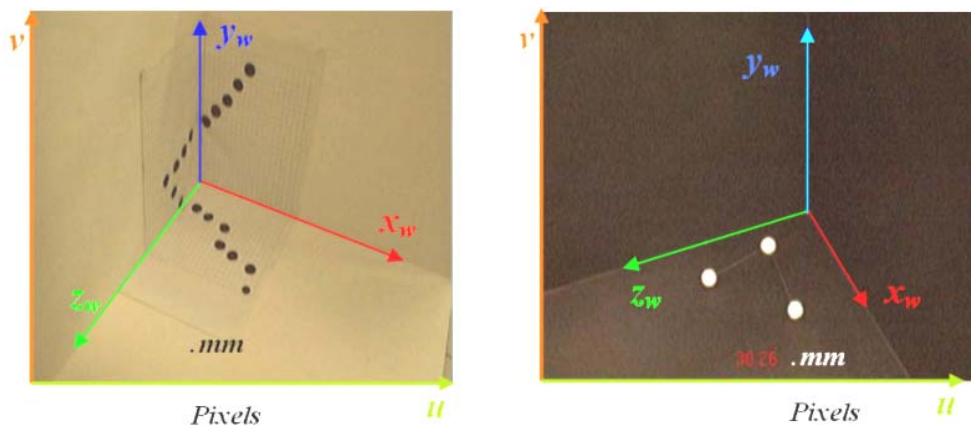


Figura 23 : Imagem dos eixos do sistema global de referência dentro da caixa de rastreamento.

Como próximo passo, temos que definir um padrão de calibração, o qual contém pontos de referência dos quais se conhece suas coordenadas no espaço 3D (mm). O que precisamos é encontrar esses mesmos pontos em coordenadas do plano da imagem (pixels) dentro da imagem de vídeo. É assim que definimos inicialmente o padrão visto na Figura 24.

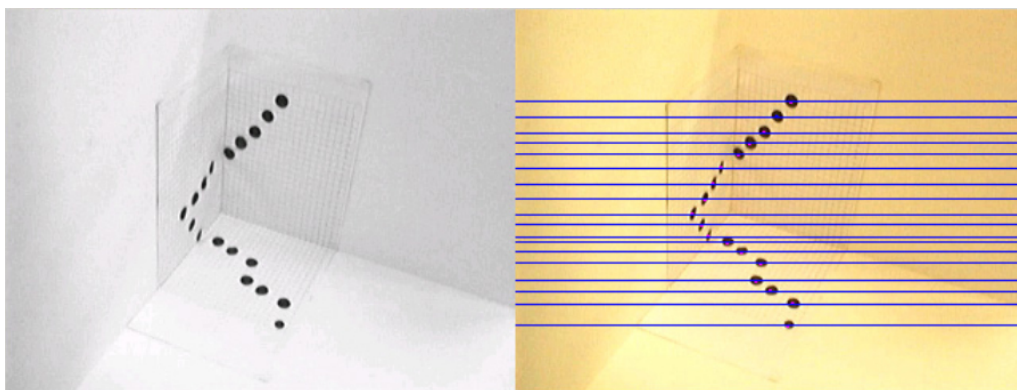


Figura 24 : Imagem do padrão utilizado inicialmente.

Este padrão tem como principal característica a distribuição dos pontos de referência, os quais estão espalhados entre os 3 planos que definem nosso espaço

3D. Esta característica é parte de uma exigência do método TSAI na versão não-coplanar.

A identificação dos pontos de referência na imagem é feita com base no algoritmo de detecção de contornos que fez parte da etapa de extração de características, o qual nos permite extrair contornos dos pontos pretos dentro da imagem. A coordenada (u, v) do centro, expressa em pixels, servirá como um dos pontos de referência que, junto com as coordenadas 3D em mm dos mesmos pontos identificados, serão os principais dados de entrada para o algoritmo de calibração TSAI.

O processo é mostrado na Figura 25. Após a detecção do centro de cada ponto preto reconhecido, desenha-se uma linha que passa pelo centro de cada ponto, que nos servirá para mostrar a correlação natural entre o ponto 3D no espaço e o ponto 2D na imagem.

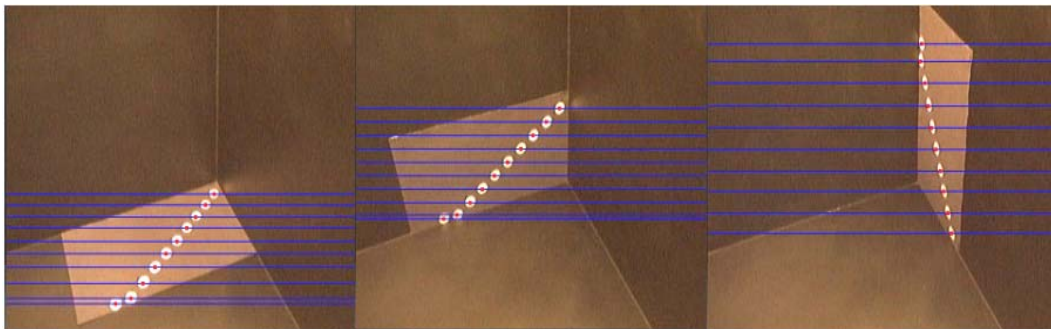


Figura 25 : Imagem do padrão com a identificação dos pontos de calibração.

A estratégia utilizada para fazer a correlação entre os pontos foi a forma crescente que têm os pontos nas coordenadas da imagem no eixo “ v ”. Com esta distribuição dos pontos, que podemos ver na Figura 25, conseguimos ter os pontos perfeitamente identificados para o processo de calibração.

A variação feita entre o padrão da Figura 24 e o da Figura 25 foi a divisão do padrão inicial nos 3 planos independentes que o formavam e a captura independente de cada plano. Este tipo de adaptação permitiu capturar uma maior quantidade de pontos de referência. Como podemos notar na Figura 24, a quantidade de pontos recuperados com o padrão inicial foi de 18 pontos; já com o padrão dividido utilizado para calibração conseguimos 30 pontos, 10 em cada plano.

3.2.2.2. O Método TSAI Não-Coplanar

Conforme definido por Tsai [27], o processo de transformação de pontos em coordenadas 3D do mundo para coordenadas na imagem consta de 4 passos, descritos também em [28].

Passo 1:

$$P_c \begin{bmatrix} X \\ Y \\ Z \end{bmatrix} = R \left(P_w \begin{bmatrix} x \\ y \\ z \end{bmatrix} \right) + T_{Camera} \quad (1)$$

O primeiro passo é transformar os pontos em coordenadas do mundo $P_w(x, y, z)$, que são os pontos de referência conhecidos em mm, para pontos expressos em coordenadas do sistema de coordenadas da câmera $P_c(X, Y, Z)$, o qual tem uma escala livre.

Os parâmetros a serem calculados são a matriz de Rotação “ R ” e um vetor de Translação “ T ”, que representam a rotação do sistema de coordenadas do mundo em relação à sua origem, até ficar com seus eixos na mesma posição e orientação do sistema de coordenadas da câmera, seguida de uma translação 3D que equivale a levar o sistema do mundo, já rotado, para a posição do centro do sistema de coordenadas da câmera (Figura 26).

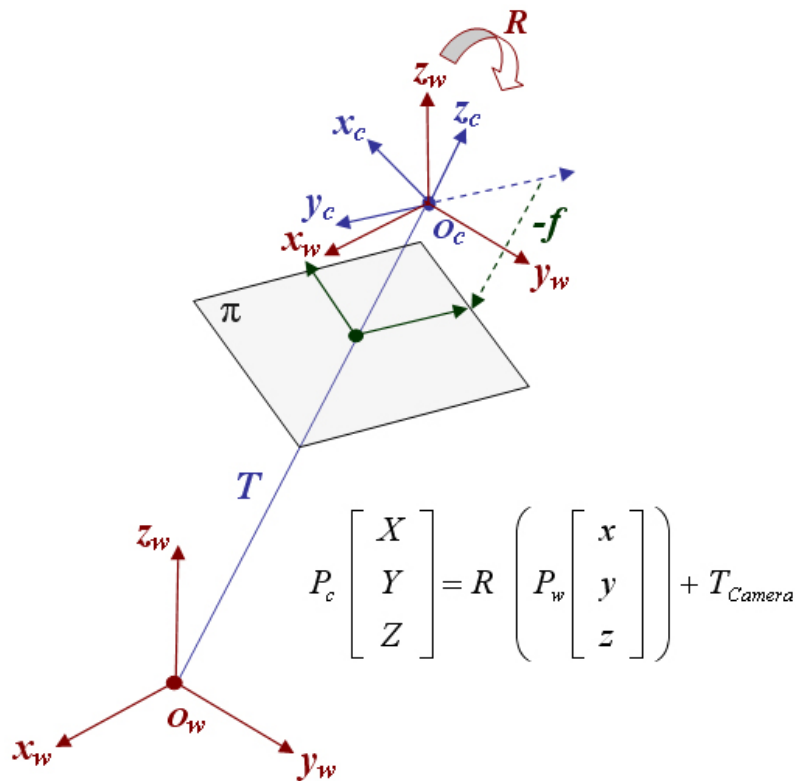


Figura 26 : Imagem que descreve a transformação entre os sistemas de coordenadas do mundo para a câmera.

Então o método TSAI não-coplanar calcula os parâmetros extrínsecos que se vêem representados pela matriz de rotação e o vetor de translação.

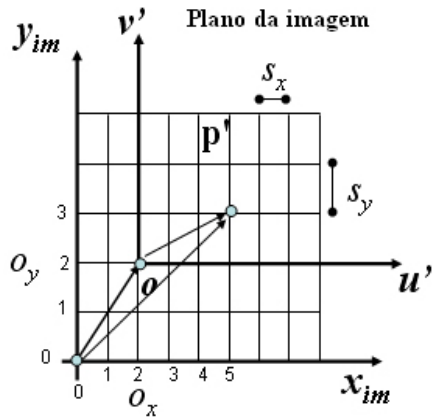
Para este processo são utilizados os pontos de referência, em coordenadas da imagem, que capturamos e que estão corretamente em correlação com seus equivalentes em coordenadas no mundo

$$\begin{aligned} (u_1, v_1) &\longrightarrow (X_1^w, Y_1^w, Z_1^w) \\ (u_2, v_2) &\longrightarrow (X_2^w, Y_2^w, Z_2^w) \\ (u_3, v_3) &\longrightarrow (X_3^w, Y_3^w, Z_3^w) \\ \\ (u_N, v_N) &\longrightarrow (X_N^w, Y_N^w, Z_N^w) \end{aligned}$$

Assim o método TSAI não-coplanar tentará montar um sistema de equações com o qual calculará os elementos que compõem a matriz de rotação e o vetor de translação, os quais são conhecidos como os parâmetros extrínsecos da câmera. Para obter as equações temos que montar a relação das coordenadas obtidas do

plano da imagem com as coordenadas da câmera, e depois das coordenadas da câmera com coordenadas do mundo. É assim que, na seqüência, é mostrado como chegamos a essa correlação direta entre coordenadas do plano da imagem e as coordenadas do mundo.

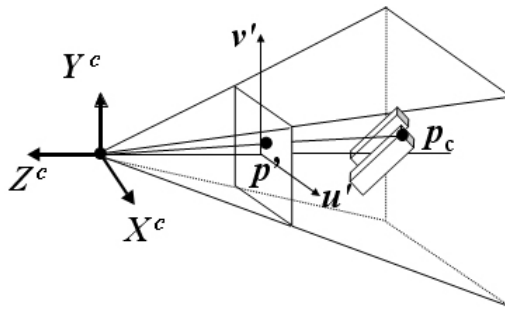
- Um ponto expresso em coordenadas do plano da imagem.



$$\frac{u'}{s_x} = x_{im} - o_x \quad \frac{v'}{s_y} = y_{im} - o_y$$

$$p' = \begin{pmatrix} u' \\ v' \end{pmatrix} = \begin{pmatrix} s_x(x_{im} - o_x) \\ s_y(y_{im} - o_y) \end{pmatrix}$$

- O mesmo ponto expresso em coordenadas da câmera.



$$p_c = \begin{bmatrix} X^c \\ Y^c \\ Z^c \end{bmatrix}$$

$$p' = \begin{pmatrix} u' \\ v' \end{pmatrix} = -f \begin{pmatrix} X^c / Z^c \\ Y^c / Z^c \end{pmatrix}$$

- Então, de coordenadas da imagem para coordenadas da câmera.

$$p' = \begin{pmatrix} u' \\ v' \end{pmatrix} = \begin{pmatrix} s_x(x_{im} - o_x) \\ s_y(y_{im} - o_y) \end{pmatrix} = -f \begin{pmatrix} X^c / Z^c \\ Y^c / Z^c \end{pmatrix}$$

$$x_{im} - o_x = -\frac{f}{s_x} \frac{X^c}{Z^c} = -f_x \frac{X^c}{Z^c}$$

$$y_{im} - o_y = -\frac{f}{s_y} \frac{Y^c}{Z^c} = -f_y \frac{Y^c}{Z^c} \tag{2}$$

- Levando em conta a equação eq.(1), podemos expressar a equação como sendo:

$$\begin{bmatrix} X^c \\ Y^c \\ Z^c \end{bmatrix} = \begin{bmatrix} r_{11} & r_{12} & r_{13} \\ r_{21} & r_{22} & r_{23} \\ r_{31} & r_{32} & r_{33} \end{bmatrix} \begin{bmatrix} X^w \\ Y^w \\ Z^w \end{bmatrix} + \begin{bmatrix} T_x \\ T_y \\ T_z \end{bmatrix}_{camera} \quad (3)$$

- É assim que, se desenvolvemos na equação eq.(3) a multiplicação e a adição sobre as coordenadas do mundo e as relacionamos com as coordenadas da câmera da equação eq.(2), temos:

$$x_{im} - o_x = -f_x \frac{r_{11}X^w + r_{12}Y^w + r_{13}Z^w + T_x}{r_{31}X^w + r_{32}Y^w + r_{33}Z^w + T_z}$$

$$y_{im} - o_y = -f_y \frac{r_{21}X^w + r_{22}Y^w + r_{23}Z^w + T_y}{r_{31}X^w + r_{32}Y^w + r_{33}Z^w + T_z}$$

- Assumindo que se conhecem os valores de (o_x, o_y) e definindo

$$x_i = x_{im} - o_x \quad y_i = y_{im} - o_y, \text{ chegamos à seguinte expressão:}$$

$$x_i = -f_x \frac{r_{11}X_i^w + r_{12}Y_i^w + r_{13}Z_i^w + T_x}{r_{31}X_i^w + r_{32}Y_i^w + r_{33}Z_i^w + T_z}$$

$$y_i = -f_y \frac{r_{21}X_i^w + r_{22}Y_i^w + r_{23}Z_i^w + T_y}{r_{31}X_i^w + r_{32}Y_i^w + r_{33}Z_i^w + T_z} \quad (4)$$

- Resolvendo a equação eq.(4) teremos:

$$r_{31}X_i^w + r_{32}Y_i^w + r_{33}Z_i^w + T_z = -\frac{f_x}{x_i} (r_{11}X_i^w + r_{12}Y_i^w + r_{13}Z_i^w + T_x) \quad (5)$$

$$r_{31}X_i^w + r_{32}Y_i^w + r_{33}Z_i^w + T_z = -\frac{f_y}{y_i} (r_{21}X_i^w + r_{22}Y_i^w + r_{23}Z_i^w + T_y)$$

$$x_i f_y (r_{21}X_i^w + r_{22}Y_i^w + r_{23}Z_i^w + T_y) = y_i f_x (r_{11}X_i^w + r_{12}Y_i^w + r_{13}Z_i^w + T_x)$$

$$f_x / f_y = \alpha \cong 1$$

$$x_i X_i^w r_{21} + x_i Y_i^w r_{22} + x_i Z_i^w r_{23} + x_i T_y = y_i X_i^w \alpha r_{11} + y_i Y_i^w \alpha r_{12} + y_i Z_i^w \alpha r_{13} + y_i \alpha T_x$$

- Como o fator α representa uma proporção entre o tamanho horizontal e o vertical de nossa célula do chip de captura e essas dimensões são definidas como unitárias em nossa câmera padrão, pode-se definir este fator como sendo unitário:

$$x_i X_i^w r_{21} + x_i Y_i^w r_{22} + x_i Z_i^w r_{23} + x_i T_y = y_i X_i^w r_{11} + y_i Y_i^w r_{12} + y_i Z_i^w r_{13} + y_i T_x$$

- A equação acima pode ser representada como:

$$x_i X_i^w v_1 + x_i Y_i^w v_2 + x_i Z_i^w v_3 + x_i v_4 - y_i X_i^w v_5 - y_i Y_i^w v_6 - y_i Z_i^w v_7 - y_i v_8 = 0$$

- Onde:

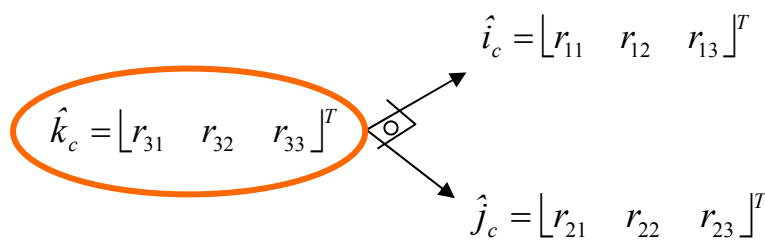
$$v_1 = r_{21} \quad v_5 = r_{11}$$

$$v_2 = r_{22} \quad v_6 = r_{12} \quad \mathbf{A}\mathbf{v} = \mathbf{0} \Rightarrow \dots \Rightarrow \bar{\mathbf{v}} \neq \mathbf{0}$$

$$v_3 = r_{23} \quad v_7 = r_{13}$$

$$v_4 = T_y \quad v_8 = T_x$$

- Resolvendo o sistema de equações acima, encontramos dois dos vetores componentes da matriz de rotação, faltando achar ainda um vetor. Utilizando o produto vetorial dos vetores encontrados, podemos calcular o terceiro vetor ortogonal com o qual se formará nossa matriz de rotação:



$$\hat{i}_c = \begin{bmatrix} r_{11} & r_{12} & r_{13} \end{bmatrix}^T$$

$$\hat{j}_c = \begin{bmatrix} r_{21} & r_{22} & r_{23} \end{bmatrix}^T$$

$$\hat{k}_c = \begin{bmatrix} r_{31} & r_{32} & r_{33} \end{bmatrix}^T$$

- Finalmente, falta encontrar a terceira componente do vetor de translação. Para isso, com os valores já encontrados, resolvemos a equação eq.(5) e achamos essa terceira componente:

$$r_{31}X_i^w + r_{32}Y_i^w + r_{33}Z_i^w + \mathbf{T}_z = -\frac{f_x}{x_i} \left(r_{11}X_i^w + r_{12}Y_i^w + r_{13}Z_i^w + T_x \right)$$

Passo 2:

O segundo passo é transformar os pontos em coordenadas da câmera para coordenadas da imagem (Figura 27), assumindo que estamos numa situação sem distorção, usando a projeção em perspectiva.

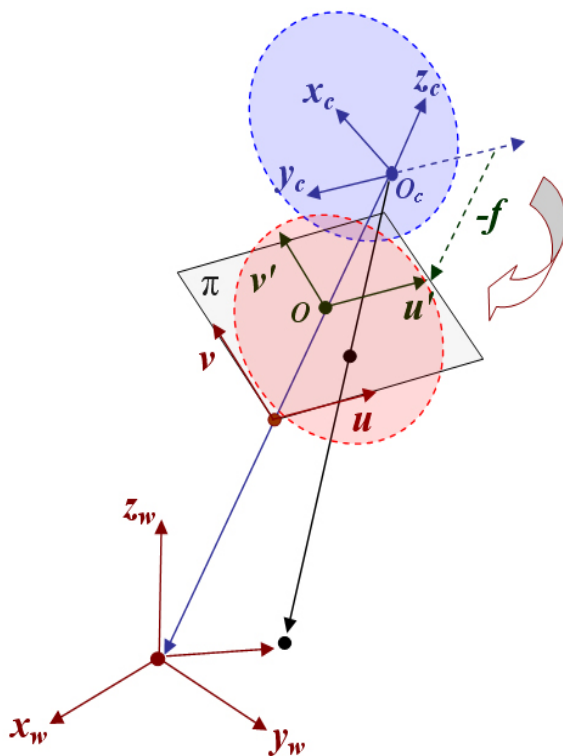


Figura 27 : Imagem que descreve a transformação entre os sistemas de coordenadas da câmera para coordenadas da imagem.

O parâmetro a ser calculado será a distância focal $-f$:

$$P_c(X, Y, Z) \Rightarrow p(u', v')$$

$$u' = -f \frac{X}{Z}$$

$$v' = -f \frac{Y}{Z}$$

Passo 3:

O terceiro passo é calcular as coordenadas dos pontos na imagem modificados pela distorção radial.

O parâmetro a ser calculado aqui são os coeficientes K_1 , K_2 , mas como o segundo coeficiente tem um valor bem pequeno não será considerado no cálculo.

$$p(u', v') \Rightarrow p_d(u'_d, v'_d)$$

$$u'_d + D_x = u'$$

$$v'_d + D_y = v'$$

Onde o cálculo da distorção em D_x, D_y é:

$$D_x = u'_d (K_1 r^2 + K_2 r^4 + \dots)$$

$$D_y = v'_d (K_1 r^2 + K_2 r^4 + \dots)$$

$$r = \sqrt{u'_d{}^2 + v'_d{}^2}$$

Passo 4:

O quarto passo é calcular a transformação das coordenadas reais da imagem em coordenadas da imagem no computador levando em consideração os tamanhos dos pixels da tela.

Os parâmetros calculados são S_x , que é o fator de incerteza introduzido para tratar casos como o retardo entre o tempo de captura das imagens e o tempo real de exploração dentro do hardware do dispositivo de captura, e $d'_x = d_x \frac{Ncx}{Nfx}$, que é a escala entre o tamanho da célula do chip de captura e o número de pixels que representa.

$$p_d(u'_d, v'_d) \Rightarrow p_f(u'_f, v'_f)$$

$$u'_f = S_x d_x^{-1} u'_d + O_x$$

$$v'_f = d_y^{-1} v'_d + O_y$$

O algoritmo de calibração de TSAI deve fornecer como dados os parâmetros descritos em cada passo, mas esses dados podem ser agrupados em duas categorias:

- Parâmetros intrínsecos: distância focal f , fator de incerteza S_x , parâmetro de distorção radial K_1 .

- Parâmetros extrínsecos: a matriz de rotações “ R ” e o vetor de translação “ T ”.

Com esses dados, no modelo da câmera pinhole, podemos criar as seguintes matrizes que definem todo o processo que leva um ponto das coordenadas do mundo 3D para coordenadas na imagem 2D:

- A Matriz de Parâmetros Intrínsecos leva um ponto em coordenadas da câmera para coordenadas na tela do computador.

$$M_{\text{int}} = \begin{bmatrix} -f \frac{S_x}{d'_x} & 0 & O_x \\ 0 & \frac{-f}{d'_y} & O_y \\ 0 & 0 & 1 \end{bmatrix} \quad M_{\text{int}} = \begin{bmatrix} -f_x & 0 & O_x \\ 0 & -f_y & O_y \\ 0 & 0 & 1 \end{bmatrix}$$

- A Matriz de Parâmetros Extrínsecos leva um ponto em coordenadas do mundo para coordenadas da câmera.

$$M_{\text{ext}} = \begin{bmatrix} r_1 & r_2 & r_3 & t_x \\ r_4 & r_5 & r_6 & t_y \\ r_7 & r_8 & r_9 & t_z \end{bmatrix} \quad M_{\text{ext}} = [R_{3 \times 3} \quad T_{3 \times 1}]$$

Assim, temos o processo descrito na Figura 28:

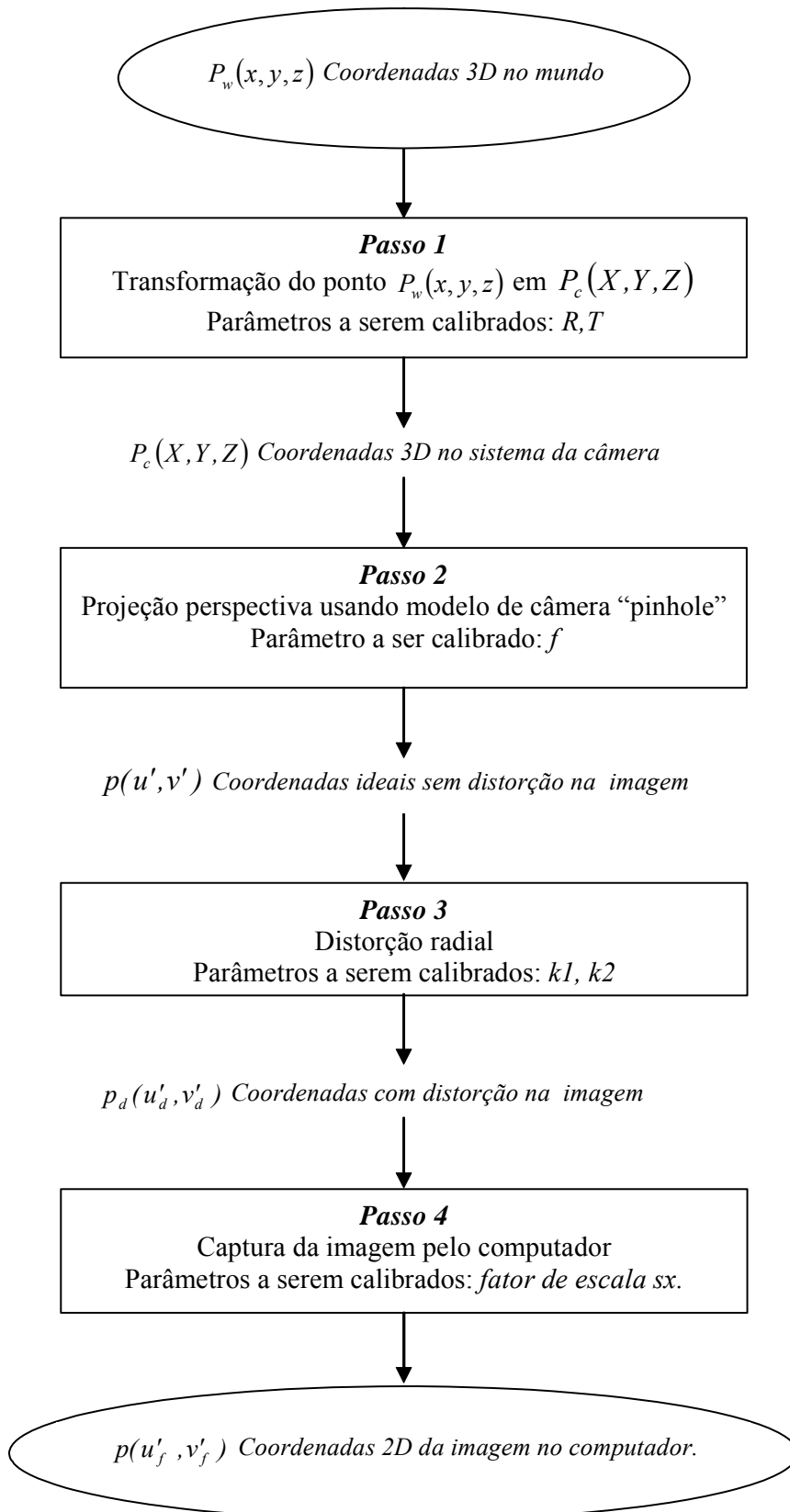


Figura 28: Descrição dos 4 passos que transformam coordenadas do mundo em coordenadas da imagem.

Estas matrizes definem o seguinte pipeline de transformação:

$$P_c \begin{bmatrix} X_c \\ Y_c \\ Z_c \\ 1 \end{bmatrix} = \begin{bmatrix} r_1 & r_2 & r_3 & t_x \\ r_4 & r_5 & r_6 & t_y \\ r_7 & r_8 & r_9 & t_z \\ 0 & 0 & 0 & 1 \end{bmatrix} P_w \begin{bmatrix} x_w \\ y_w \\ z_w \\ 1 \end{bmatrix}$$

$$p \begin{bmatrix} u' \\ v' \\ w \end{bmatrix} = \begin{bmatrix} -f_x & 0 & O_x \\ 0 & -f_y & O_y \\ 0 & 0 & 1 \end{bmatrix} P_c \begin{bmatrix} X_c \\ Y_c \\ Z_c \end{bmatrix}$$

$$x_{im} = -f_x \frac{X^c}{Z^c} + O_x$$

$$y_{im} = -f_y \frac{Y^c}{Z^c} + O_y$$

$$\begin{pmatrix} x_{im} \\ y_{im} \end{pmatrix} = \begin{pmatrix} u/w \\ v/w \end{pmatrix}$$

3.2.3. Correlação de Marcadores

O terceiro subprocesso na implementação do sistema de rastreamento óptico é a correlação entre os diferentes marcadores que aparecem nas imagens das câmeras web.

Um caso intuitivo (Figura 29) é quando temos só um marcador dentro das imagens das câmeras web. Nesse caso, a estratégia consistiria em só utilizar a coordenada 2D do único ponto em contraste que se consegue ver em cada imagem das câmeras. Porém até mesmo nesse caso pode acontecer o problema de ruído que cria um falso marcador nas imagens, para o qual terá que se aplicar um filtro gaussiano e um filtro threshold para suavizar as imagens e convertê-las em binárias, respectivamente.



Figura 29 : Caso intuitivo.

Um caso mais complexo é quando temos mais de um marcador nas imagens das câmeras web, e com isto temos que fazer uma correlação entre “n” marcadores detectados nas câmeras. Como mostra a Figura 30, precisamos saber definir qual é o marcador 1 da imagem base ou pivô em relação às outras câmeras.



Figura 30 : Caso com mais de um marcador.

Para solucionar este problema de correlação entre os diferentes marcadores que aparecem nas imagens, utilizaremos alguns conceitos da geometria epipolar para fazer uma correlação inicial entre os marcadores detectados nas imagens.

A utilização da geometria epipolar nos dá as seguintes vantagens:

- Diminuir o espaço de busca dos marcadores dentro das imagens.
- Calcular, no melhor caso, uma correlação um a um entre os marcadores.

A estratégia empregada para implementar este método foi a seguinte:

- Primeiro, capturar os pontos de amostra para o cálculo das matrizes fundamentais entre as câmeras.
- Segundo, com a informação da amostra, calcular para as câmeras tomadas duas a duas, as matrizes fundamentais, que relacionam a geometria projetiva interna entre as câmeras usadas.
- Terceiro, com as matrizes fundamentais já calculadas, criar linhas epipolares a partir dos pontos na imagem da câmera pivô, as quais são a representação dos marcadores capturados nessa câmera.
- Quarto, as linhas epipolares criadas são projetadas sobre o plano da imagem das outras câmeras subordinadas.

- Finalmente, em cada câmera subordinada, é feito um teste para determinar que marcador, em coordenadas da imagem, está mais perto de cada linha epipolar projetada sobre o mesmo plano da imagem. Isto nos permite fazer uma correlação inicial entre os marcadores que aparecem nas imagens de vídeo das câmeras web utilizadas.

Segundo os conceitos da geometria epipolar, as linhas epipolares projetadas devem cair sobre os marcadores que aparecem nas outras câmeras web, e a precisão no cálculo das linhas epipolares dependerá somente da quantidade de pontos de amostra com os quais forem criadas as matrizes fundamentais.

3.2.3.1. Captura da Amostra de Pontos

Como se fez na etapa de calibração das câmeras, nesta etapa também precisamos fazer a captura de um conjunto de pontos, corretamente identificados e correlacionados entre as câmeras, que servirão de amostra para fazer o cálculo da matriz fundamental entre as câmeras.

A única informação que devemos conhecer dos pontos capturados são suas coordenadas na imagem.

A estratégia para a captura é a seguinte: captura-se a posição de um único marcador dentro do espaço de rastreamento, o que é feito com as 3 câmeras web simultaneamente (Figura 31).

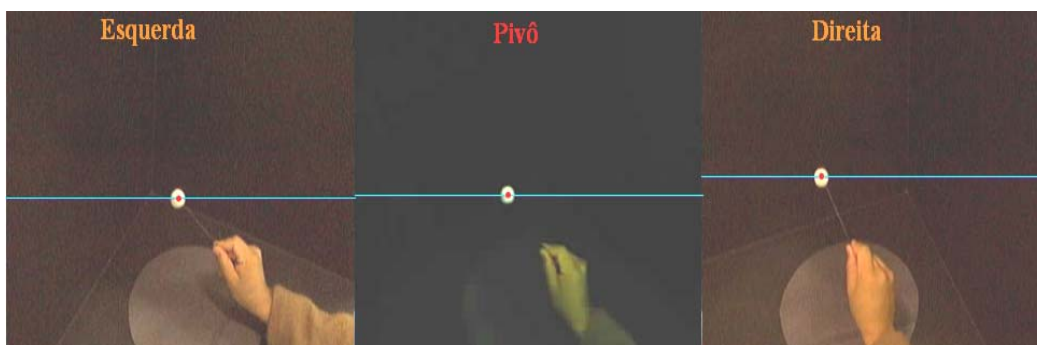


Figura 31 : Marcador para captura da amostra.

O marcador é capturado nas 3 imagens das câmeras web utilizadas e só são armazenadas as coordenadas 2D do marcador se ele é visto pelas 3 câmeras ao mesmo tempo, ou seja, em cada quadro guardamos 3 pontos 2D corretamente correlacionados em cada câmera.

Aqui temos que fazer uma consideração em relação ao problema de sincronização na captura das câmeras, para o qual se assume que o possível retardo é pequeno. Continuaremos nosso processo assumindo que a influência do retardo será mínima.

Na Figura 32, são visualizados os pontos já capturados, que foram definidos pelo movimento do marcador, em forma livre, dentro do espaço de rastreamento útil que pode ser visto pelas câmeras. Assim foram testados e capturados de 3000 a 8000 pontos, isto levou um tempo de 2 a 4 minutos. Podemos ver os pontos capturados em cada imagem:

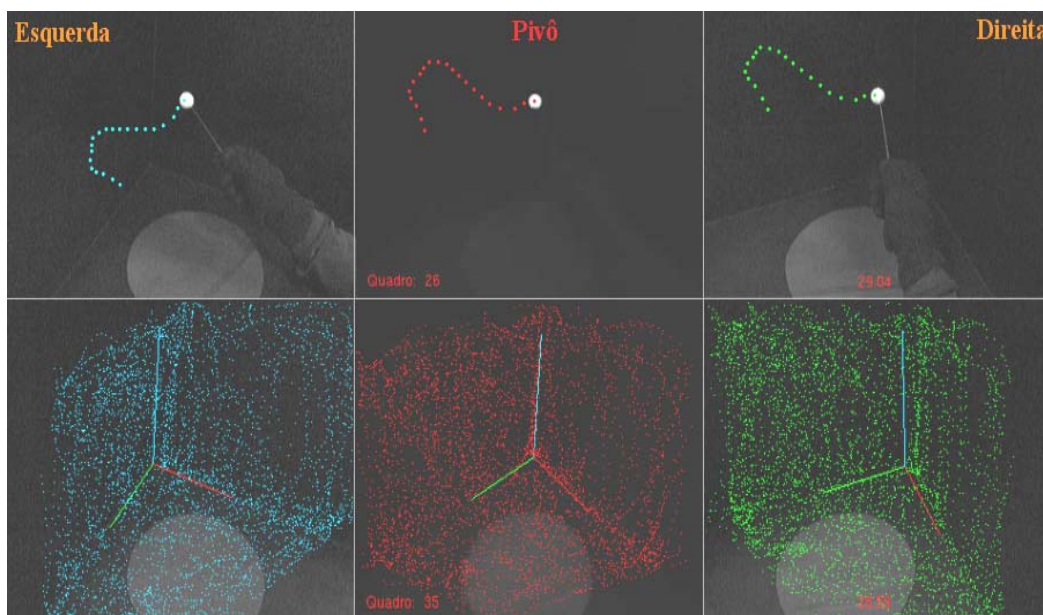


Figura 32 : Pontos capturados em coordenadas 2D em cada câmera.

Como pode-se ver na Figura 32, foi possível armazenar uma boa quantidade de pontos, que serviram de amostra para o cálculo das matrizes fundamentais. Quanto mais pontos forem utilizados, maior será a precisão da matriz fundamental.

3.2.3.2. A Geometria Epipolar

A geometria epipolar é a geometria projetiva intrínseca que relaciona duas vistas capturadas de diferentes pontos de referência (Figura 33). Ela é independente da estrutura da cena e só depende dos parâmetros internos das câmeras e da posição relativa entre elas [29].

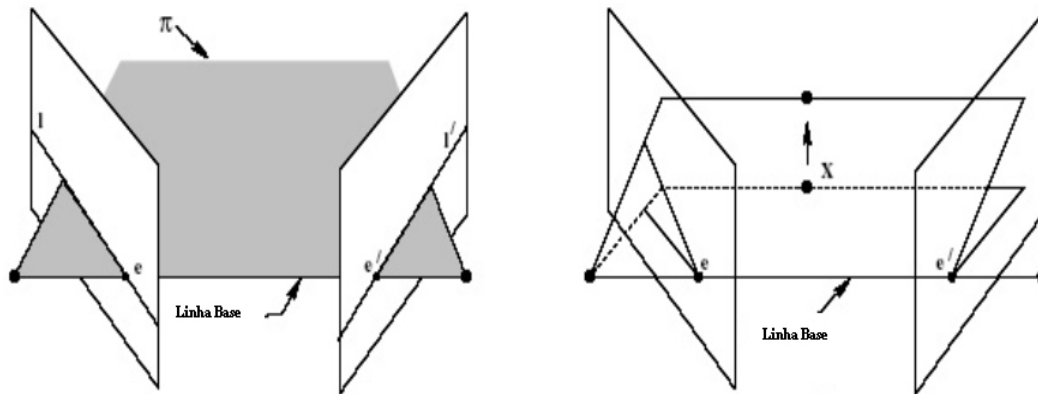


Figura 33 : Interseção entre os planos da imagem e planos gerados pela linha base.

Esta geometria é usualmente requerida devido à necessidade de encontrar uma correspondência entre pontos que aparecem nas diferentes imagens das vistas.

Assim, suponhamos que temos um ponto X no mundo, o qual está presente nas duas vistas definidas por duas câmeras. Ele aparece no plano da imagem de cada vista como x na primeira vista e na segunda como x' . Para mostrar a correspondência que existe entre esses dois pontos, a solução é projetar cada ponto x e x' até o ponto X , o que gerará um plano triangular π , o qual intercepta cada plano da imagem de cada câmera como uma linha l' projetada desde o ponto de interseção da linha base até o ponto da imagem (x ou x') (Figura 34).

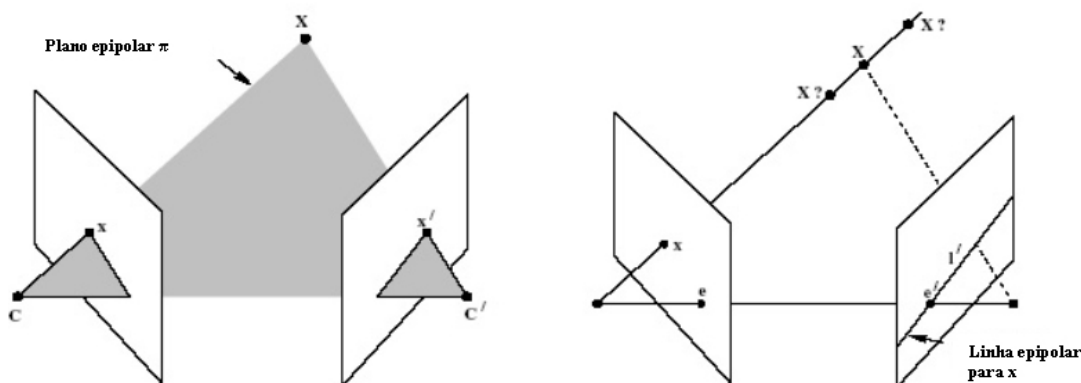


Figura 34 : Figura 34: Definição de uma linha epipolar.

É assim que, se projetamos o ponto x na imagem da esquerda e vamos descendo o raio de projeção, pelo plano π , até interceptar o plano da imagem da direita, obtemos uma linha l' de interseção, sobre a qual deve cair o ponto x' que está também correlacionado com o ponto X do mundo.

Na geometria epipolar, a matriz fundamental é um elemento-chave. Ela é uma matriz de ordem 3×3 e rank 2, que encapsula a geometria intrínseca que descreve a geometria epipolar.

Essa matriz fundamental cumpre a seguinte condição:

$$x'^T F x = 0$$

Tal condição é satisfeita para todo par de pontos $x \rightarrow x'$ nas duas imagens. Aqui podemos entender então que essa matriz permite encontrar uma correspondência entre pontos definidos em duas câmeras diferentes.

A matriz fundamental também ajuda a gerar as linhas epipolares, pois as multiplicações da matriz fundamental pelos pontos, nas diferentes imagens, representariam a projeção do ponto da imagem, seja esta a da esquerda ou da direita, sobre o plano da imagem da outra câmera com a qual se faz a correspondência. Assim se definem as seguintes equações:

$$l' = F x$$

$$l = F^T x'$$

Com esta informação sobre a geometria epipolar, foi desenvolvida nossa primeira estratégia de ação, que é encontrar as matrizes fundamentais que relacionam as vistas das câmeras web com que trabalhamos. Isto é feito combinando duas a duas câmeras e achando a matriz fundamental para cada duas

vistas, num próximo passo, utilizaremos essas matrizes fundamentais para a geração de linhas epipolares que nos permitam fazer a correspondência entre os pontos na imagem que representam nossos marcadores.

Nosso primeiro passo foi então:

- Recuperar os pontos capturados, em coordenadas da imagem, para calcular a matriz fundamental entre duas câmeras.
- Aplicar o algoritmo RANSAC [30] para encontrar as matrizes fundamentais entre as câmeras.

O algoritmo RANSAC é um algoritmo iterativo que se divide em duas fases. Na primeira, ele faz um cálculo a priori da matriz fundamental, o qual é realizado com um algoritmo linear. Além disso, ele faz uma escolha randômica de pontos, dentro da amostra capturada, com os quais é feito o cálculo da matriz.

Em uma segunda fase, o algoritmo começa a agir iterativamente, testando a precisão da matriz fundamental que achou, o que é feito calculando a distância entre as linhas epipolares criadas para os pontos com quais se faz a correspondência dentro da mesma amostra inicial [31, 32], este algoritmo está implementado dentro da biblioteca OpenCV[23] que utilizamos em nossa implementação.

Com as matrizes fundamentais encontradas, temos a principal ferramenta para aplicar nossa estratégia de utilizar as linhas epipolares como método de correlação dos marcadores entre as diferentes imagens.

Então, em um próximo passo, depois de fazer o cálculo das matrizes fundamentais entre as câmeras, pode-se começar o processo de correlação. A estratégia usada foi a seguinte:

- Primeiro, escolhe-se uma câmera como pivô de nosso sistema de captura. Em nosso dispositivo, foi escolhida a câmera do centro como pivô do sistema de 3 câmeras web (Figura 34).
- Segundo, utilizando os pontos 2D que representam os marcadores, na câmera pivô e nas matrizes fundamentais, entre nosso pivô e as outras câmeras, calculamos as linhas epipolares projetadas sobre as câmeras da direita e da esquerda.
- Terceiro, com as linhas já projetadas sobre os planos da imagem da câmera da esquerda e da direita, executamos um algoritmo de

correlação entre os pontos 2D que em cada câmera subordinada representam os marcadores e as linhas epipolares projetadas a partir do pivô.

- Finalmente, cria-se uma lista de pontos correlacionados, os quais serão enviados para a etapa de reconstrução onde se fará o descarte final das correlações que possam estar erradas.

3.2.3.3. Estratégia para a Correlação

A descrição da estratégia seguida para esta etapa de correlação está dividida em 4 passos:

Passo 1: Seleção de uma câmera pivô.

O dispositivo implementado é formado por 3 câmeras web que trabalham em conjunto no processo de correlação, mas é preciso escolher uma delas como pivô para gerar as linhas epipolares sobre as câmeras subordinadas (Figura 35).

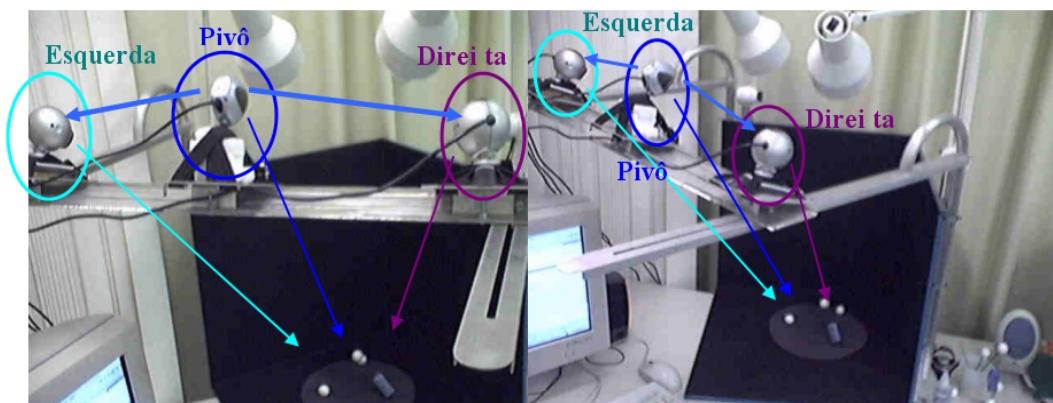


Figura 35 : Posicionamento das câmeras no dispositivo proposto.

A câmera do centro foi escolhida como pivô devido às seguintes considerações:

- Esta câmera tem um maior campo de visão de nossa caixa que representa o espaço de rastreamento efetivo de que dispomos.
- Ela está colocada ligeiramente acima do plano base das câmeras subordinadas da direita e da esquerda.

O motivo pelo qual as câmeras foram colocadas em diferentes alturas foi porque, no momento de fazer a correlação, tínhamos o problema de ter muitos casos em que mais de um marcador caía sobre uma mesma linha epipolar (Figura 36).

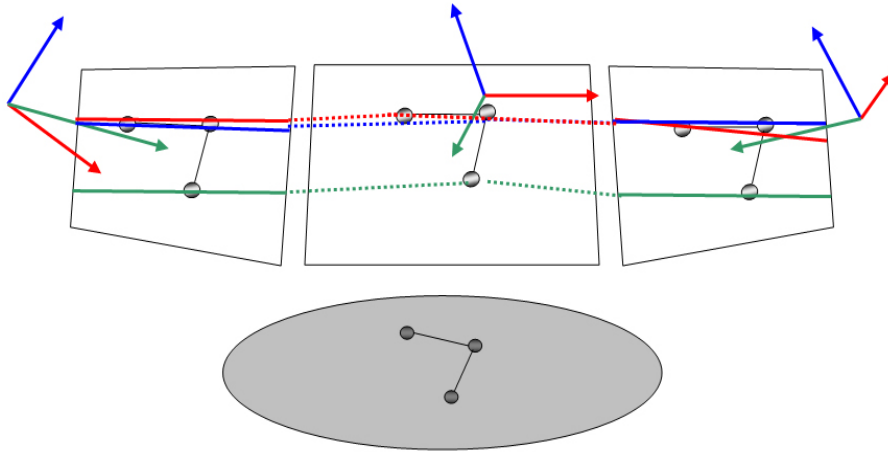


Figura 36 : Planos da imagem com as câmeras posicionadas numa mesma altura.

Como pode-se ver na Figura 36, se colocamos as câmeras com seus planos de imagem a uma mesma altura, começamos a ter problemas com a correspondência entre as linhas epipolares e os marcadores, havendo casos em que em uma mesma linha epipolar caem dois ou mais marcadores.

O que acontece nesses casos é que os marcadores caem em uma mesma linha de interseção criada entre o plano definido pela triangulação dos marcadores nas imagens e o marcador físico no mundo com o plano da imagem de cada câmera.

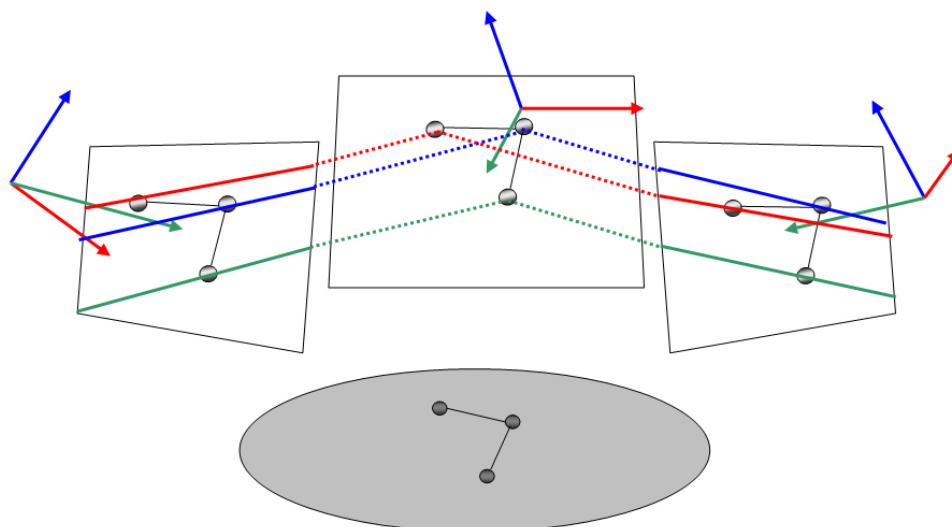


Figura 37 : Planos da imagem com as câmeras posicionadas em diferentes bases, ou seja, diferentes alturas.

Na Figura 37, mostra-se a vantagem de colocar as câmeras em diferentes alturas. Ali podemos ver que as linhas ficam mais bem definidas para a correspondência com um marcador. Isto porque os planos que definem os marcadores não ficam sobrepostos, portanto a correspondência entre linha e marcador é mais fácil de se perceber visualmente.

Ainda teremos casos em que os planos se sobrepõem, mas sua possibilidade de acontecer será menor. Na Figura 38 vemos como as câmeras web usadas no dispositivo ficam em diferentes alturas.

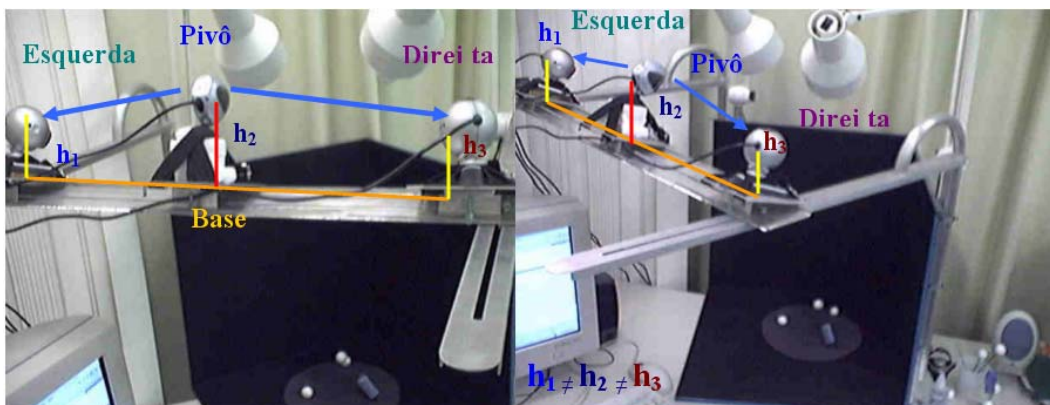


Figura 38 : O posicionamento das câmeras é em bases diferentes, ou seja, diferentes alturas.

Passo 2: Cálculo das linhas epipolares.

Como nosso segundo passo, temos que calcular as linhas epipolares projetadas a partir dos marcadores encontrados na câmera pivô (Figura 39).

O processo de geração das linhas é o seguinte:

- Primeiro, tomam-se os pontos 2D que são as posições em coordenadas da imagem dos marcadores encontrados na imagem da câmera pivô.
- Segundo, para encontrar as linhas, tomamos os pontos e os multiplicamos pelas matrizes fundamentais encontradas, tanto para a câmera da esquerda como para a câmera da direita.

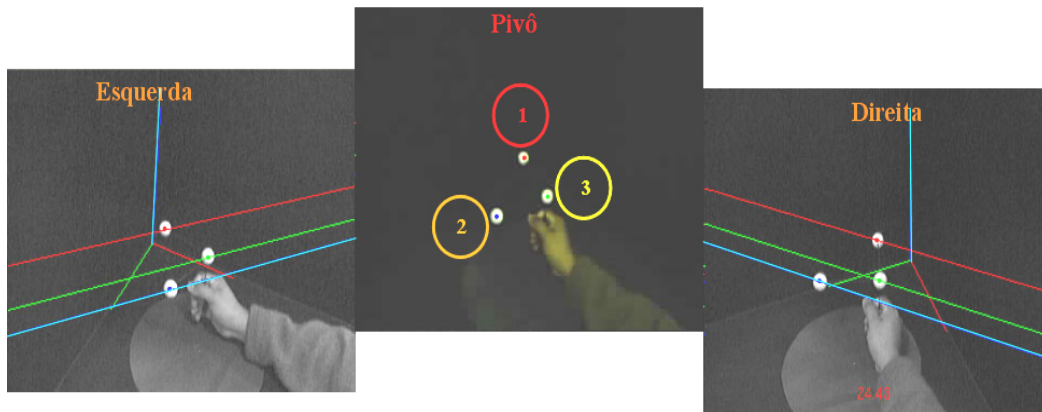


Figura 39 : Geração de linhas epipolares pela câmera pivô e projetadas sobre as câmeras dos lados.

Assim temos por definição:

$$p_{Dir}^T F_1 p_{Pivô} = 0 \quad p_{Esq}^T F_2 p_{Pivô} = 0$$

Onde p_{Esq} , $p_{Pivô}$ e p_{Dir} são as coordenadas da imagem do marcador encontradas entre duas câmeras, seja entre a câmera pivô e a câmera da esquerda ou a câmera da direita.

Assim, define-se que:

$$u_{Dir} = F_1 p_{Pivô} \quad u_{Esq} = F_2 p_{Pivô}$$

Onde u_{Esq} é a equação da linha epipolar projetiva que corresponde ao ponto $p_{Pivô}$ projetado no plano da imagem da esquerda, e u_{Dir} é a equação da linha epipolar projetiva que corresponde ao ponto $p_{Pivô}$ projetado no plano da imagem da direita.

Passo 3: Algoritmo de correlação entre ponto e linha.

Como terceiro passo, dentro do plano de imagem, foi implementado um algoritmo de correlação baseado em um teste entre a distância de um ponto a uma linha determinada dentro do plano.

Na aplicação prática deste algoritmo, encontraram-se alguns casos especiais, onde um caso bem difícil de definir, foi quando dois pontos 2D

(posições dos marcadores no plano da imagem) caem sobre uma mesma linha epipolar. É a partir deste caso que foi definido o seguinte algoritmo:

Algoritmo de Correlação

Dados de Entrada:

- Lista de pontos 2D correspondentes aos marcadores dentro da imagem.
- Linha epipolar correspondente a um marcador específico na imagem da câmera pivô.

Dados de Saída:

- Lista final de índices dos pontos ou ponto que estiver mais perto da linha.

Variáveis temporais:

- Dois raios de círculos limites, utilizados como grau de precisão para o processo de definir se uma distância entre o ponto e a reta é aceitável ou não.
- Lista de candidatos inicial.
- Lista de candidatos de alta precisão.
- Índice para guardar uma referência ao ponto com menor distância.

Seqüência do algoritmo:

- Para cada ponto testar a distância entre ele e a linha testada.
- **Se** a distância for menor que o comprimento do primeiro raio:
 - Guardar o índice do ponto dentro de uma lista de candidatos inicial.
 - **Se** a distância obtida for menor que o comprimento do segundo raio:
 - Guardar o índice do ponto dentro de uma lista de candidatos de alta precisão.
 - **Se não então**, não guardar índice na lista de alta precisão .
- **Se não** for menor, **então** testar:
 - **Se** a distância calculada é a menor distância dentre as distâncias achadas.

- Guardar o índice do ponto que tiver a menor distância e que está fora dos raios definidos.
 - **Se não então**, ignorar a distância.
- Depois, preencher as listas e verificar os seguintes casos:
- **Se** as listas de alta precisão e a lista de candidatos inicial estiverem vazias:
 - Guardar como índice válido, dentro da lista final, o índice do ponto com a menor distância.
- **Se não**, ou seja, se as listas não estiverem vazias, **então** testar:
 - **Se** a lista de candidatos inicial tiver um candidato ou se a lista de precisão tiver um candidato ou se ambas tiverem um só candidato:
 - Guardar como índice válido, dentro da lista final, o índice da lista de alta precisão ou o índice da lista inicial.
 - **Se não então**:
 - Guardar como índices válidos, dentro da lista final, todos os índices contidos dentro da lista de candidatos inicial.
- Enviar de volta a lista final, com os índices que estiverem definidos como mais perto da linha.

O algoritmo de correlação, como resultado, fornecerá uma lista de índices candidatos que, dentro do plano da imagem, foram os que tiveram uma distância de 2 a 5 pixels entre eles e a linha testada, estes dois valores em pixels foram os limiares definidos como raios de precisão e alta precisão.

A estratégia de implementar dois círculos como áreas de restrição foi utilizada porque, como se trabalha com coordenadas discretas referentes ao plano da imagem, nossos pontos não caem exatamente sobre as linhas epipolares projetadas.

Além disso, temos o caso no qual dois pontos na imagem podem cair sobre uma mesma linha epipolar.

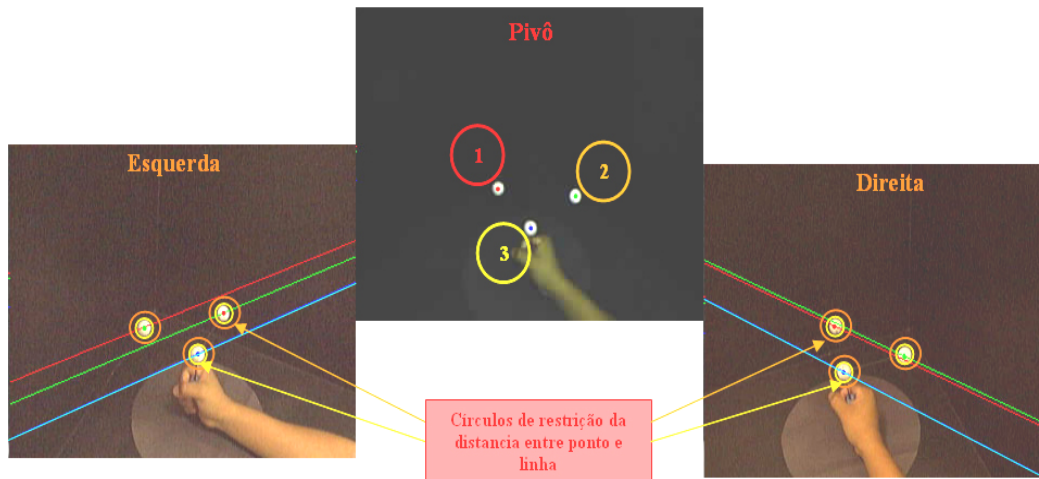


Figura 40 : Visualização da estratégia de círculos de restrição.

Como mostrado na Figura 40, a estratégia de colocar círculos restritivos, para definir se um ponto está perto ou não de uma linha, ajuda a detectar os casos especiais de sobreposição de 2 marcadores sobre uma mesma linha epipolar (imagem da direita). Para esses casos são guardados numa lista final os vértices que ficaram com a distância menor ou igual ao raio dos círculos restritivos.

Passo 4: Criação de lista de pontos correlacionados

Como passo final, será retornada uma lista de pontos correlacionados, a qual será nossa correspondência entre os marcadores que aparecem na câmera pivô e os marcadores que aparecem nas câmeras da esquerda e da direita.

Essa lista nos fornece uma correspondência um a um entre os marcadores em imagens tomadas duas a duas, ou uma correspondência entre um e vários marcadores, nos casos especiais.

O resultado pode ser visto na Tabela 1, com a correspondência dos marcadores em cada imagem, o que é mostrado na Figura 41:

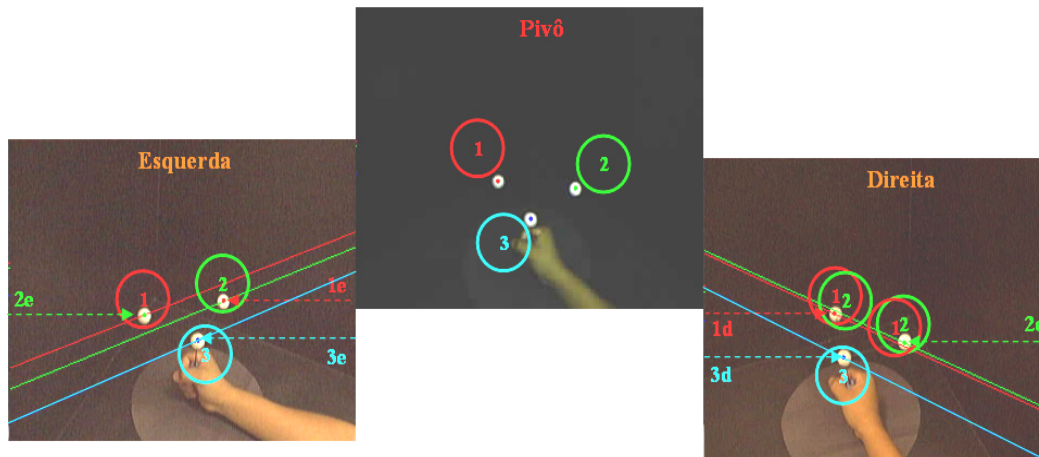


Figura 41 : Visualização dos índices dos marcadores de cada câmera e a correspondência encontrada para cada linha.

Marcadores Câmera Pivô	Marcadores Câmera Pivô	Marcadores Câmera Esquerda	Marcadores Câmera Direita
Índices para o 1º Marcador	1	2e	1d, 2d
Índices para o 2º Marcador	2	1e	1d, 2d
Índices para o 3º Marcador	3	3e	3d

Tabela 1 : Lista de índices dos marcadores correlacionados em relação à câmera pivô.

Na Figura 41, pode-se ver a flexibilidade no momento de definir a relação entre um ponto e uma linha. No caso do primeiro e do segundo marcador, na câmera da direita, temos mais de um marcador que cai sobre duas linhas epipolares que são projetadas (Tabela 1). Esse tipo de inconsistência será resolvido em uma etapa seguinte, na reconstrução 3D dos marcadores.

Passo 5: Definição de heurísticas auxiliares

Adicionalmente ao processo de captura e correlação de marcadores foram implementadas, nesta etapa de correlação, duas heurísticas auxiliares orientadas a resolver dois casos especiais que acontecem no momento da captura e que podem gerar problemas na correlação.

Tais casos são:

- Quando na câmera escolhida como pivô não é possível capturar o número total dos marcadores com que se está trabalhando. Nossa experiência trabalha com 3 marcadores.

- Quando em qualquer câmera se perde pelo menos um marcador por causa de oclusão (Figura 42).

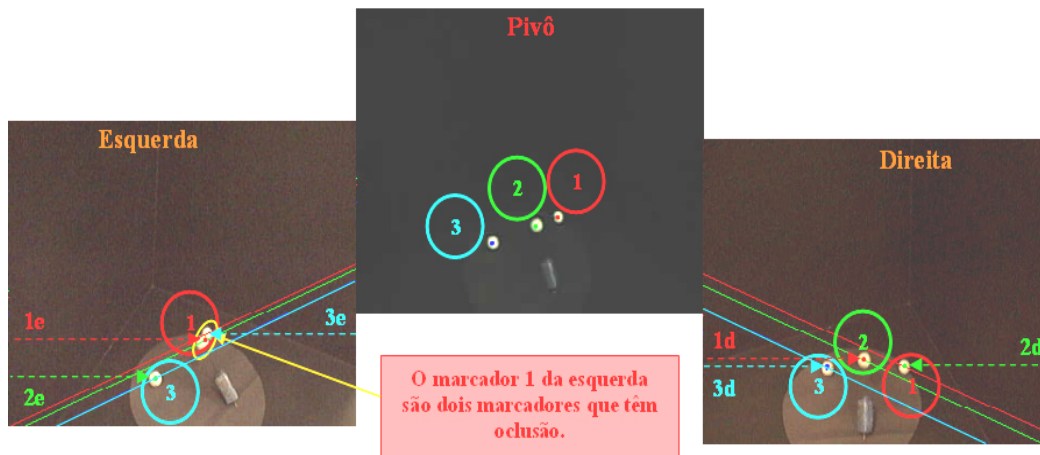


Figura 42 : Na câmera da esquerda, dois marcadores se ocultam mutuamente e são detectados como um só marcador.

Para o primeiro caso, a solução planejada foi que, antes de começar o processo de correlação, se verifique se na câmera escolhida como pivô há o número de marcadores com os quais se está trabalhando, neste caso 3 marcadores. Se houver um número menor de marcadores encontrados na imagem, é preciso trocar de câmera pivô, isto é, verificar nas outras câmeras se alguma detectou os 3 marcadores na sua imagem. Logo que se encontrar uma câmera que detectou todos os marcadores, troca-se a câmera pivô atual por essa câmera, são redefinidas a câmera da direita e da esquerda da nossa nova câmera pivô.

No segundo caso, se alguma câmera detectar, na captura, um número menor de marcadores, é porque aconteceu um caso de oclusão de um ou mais marcadores. Aqui colocaremos a seguinte restrição para enfrentar esse problema:

- Testa-se em todas as câmeras a quantidade de marcadores encontrados.
- Só são permitidos como estados aceitáveis para correlação aqueles em que no máximo uma câmera tenha uma quantidade menor de marcadores detectados do que a estabelecida inicialmente. Nosso ambiente tem 3 marcadores e o limite ficou em 2 câmeras com todos os marcadores bem identificados nas suas imagens.

Assim podemos chegar a ter a seguinte tabela, que representa o caso mostrado na Figura 42:

Marcadores Câmera Pivô	Marcadores Câmera Pivô	Marcadores Câmera Esquerda	Marcadores Câmera Direita
<i>Índices para o 1º Marcador</i>	1	1e	2d
<i>Índices para o 2º Marcador</i>	2	1e	1d
<i>Índices para o 3º Marcador</i>	3	2e	3d

Tabela 2 : Lista de índices com caso de oclusão de um marcador na câmera da esquerda.

Como pode-se ver na Tabela 2, com a informação resgatada das imagens nas 3 câmeras (Figura 42) ainda podemos fazer a correspondência e definir candidatos a serem o 1º, o 2º ou o 3º marcador em cada imagem em razão da ordem dos marcadores na câmera pivô.

3.2.4. Reconstrução 3D

Nossa quarta etapa na implementação do sistema de rastreamento óptico é a reconstrução 3D dos diferentes marcadores que aparecem nas imagens das câmeras web. A Figura 43 mostra a reconstrução de um marcador.

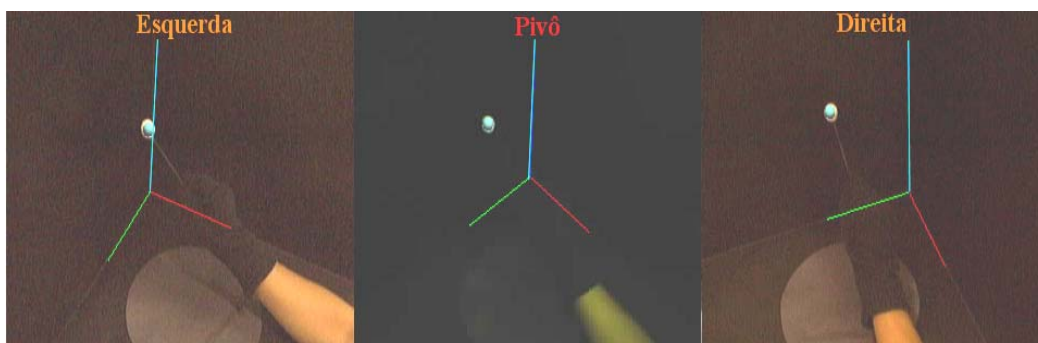


Figura 43 : Reconstrução da posição 3D de cada marcador.

Para fazer a reconstrução tomam-se como base os pontos em coordenadas da imagem que vêm da etapa de extração de características e as tabelas de correlação criadas na etapa de correspondência.

A estratégia utilizada nesta etapa foi:

- Primeiro, recuperar as coordenadas 2D dos marcadores em cada imagem, utilizando a lista de índices criada na etapa de correlação.
- Segundo, recuperar as matrizes de parâmetros intrínsecos e extrínsecos, calculados na etapa de calibração das câmeras.
- Terceiro, aplicar o algoritmo de reconstrução entre a câmera pivô e as câmeras da esquerda e da direita para calcular a posição 3D, em coordenadas da câmera pivô, de cada marcador definido.
- Quarto, criar uma lista de pontos 3D, reconstruídos em coordenadas da câmera pivô, para cada marcador.
- Finalmente, aplicar uma heurística para eliminar da lista de pontos candidatos possíveis candidatos repetidos ou que são muito semelhantes.

Na seqüência é detalhada essa estratégia de reconstrução.

3.2.4.1. Recuperação de Dados de Entrada

Como primeiro e segundo passos, temos a recuperação das coordenadas na imagem dos marcadores e das matrizes de parâmetros intrínsecos e extrínsecos de cada câmera, encontrados na etapa de calibração. A Figura 44 mostra as matrizes de parâmetros intrínsecos e extrínsecos.

$$\begin{aligned}
 (a) \quad P \begin{bmatrix} u' \\ v' \\ w \end{bmatrix} &= \begin{bmatrix} -f_x & 0 & O_x \\ 0 & -f_y & O_y \\ 0 & 0 & 1 \end{bmatrix} P_c \begin{bmatrix} X_c \\ Y_c \\ Z_c \end{bmatrix} & \quad (b) \quad P_c \begin{bmatrix} X_c \\ Y_c \\ Z_c \\ 1 \end{bmatrix} &= \begin{bmatrix} r_1 & r_2 & r_3 & t_x \\ r_4 & r_5 & r_6 & t_y \\ r_7 & r_8 & r_9 & t_z \\ 0 & 0 & 0 & 1 \end{bmatrix} P_w \begin{bmatrix} x_w \\ y_w \\ z_w \\ 1 \end{bmatrix} \\
 (c) \quad \begin{bmatrix} u' \\ v' \\ w \end{bmatrix} &= \begin{bmatrix} -f_x & 0 & o_x \\ 0 & -f_y & o_y \\ 0 & 0 & 1 \end{bmatrix} \begin{bmatrix} r_{11} & r_{12} & r_{13} & T_x \\ r_{21} & r_{22} & r_{23} & T_y \\ r_{31} & r_{32} & r_{33} & T_z \end{bmatrix} \begin{bmatrix} X^w \\ Y^w \\ Z^w \\ 1 \end{bmatrix}
 \end{aligned}$$

Figura 44: (a) Matrizes de parâmetros intrínsecos, (b) parâmetros extrínsecos, (c) conversão de ponto no mundo para ponto na imagem.

A Figura 45 mostra as coordenadas 2D dos marcadores recuperadas das imagens.

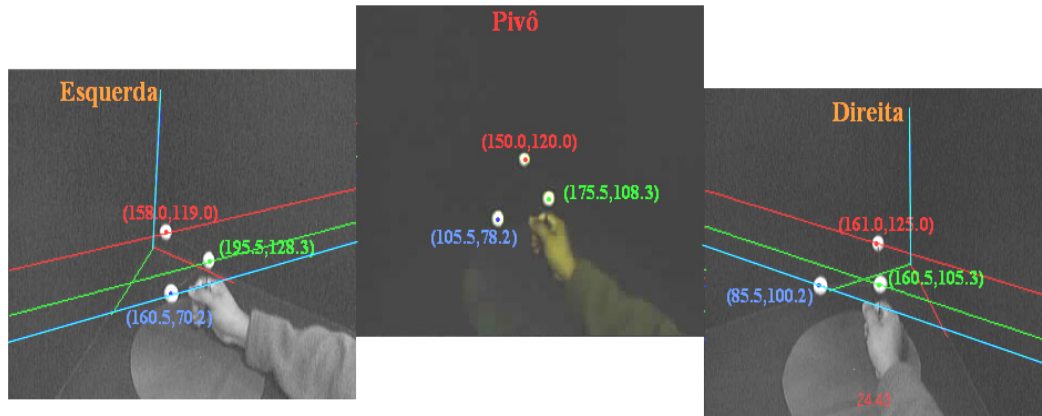


Figura 45 : Coordenadas 2D de cada marcador em cada câmera.

Estes dados são de grande importância no momento de aplicar o algoritmo de reconstrução. Além deles, é importante também a tabela de correlação dos índices, pois será com base nessa ordenação que se fará a reconstrução para cada marcador na imagem.

3.2.4.2. Método de Reconstrução

Como terceiro passo na estratégia definida, temos o cálculo das coordenadas 3D de cada marcador. A reconstrução será feita em coordenadas da câmera pivô. A seguir é definido o processo geral da reconstrução. A Figura 46 mostra o processo graficamente.

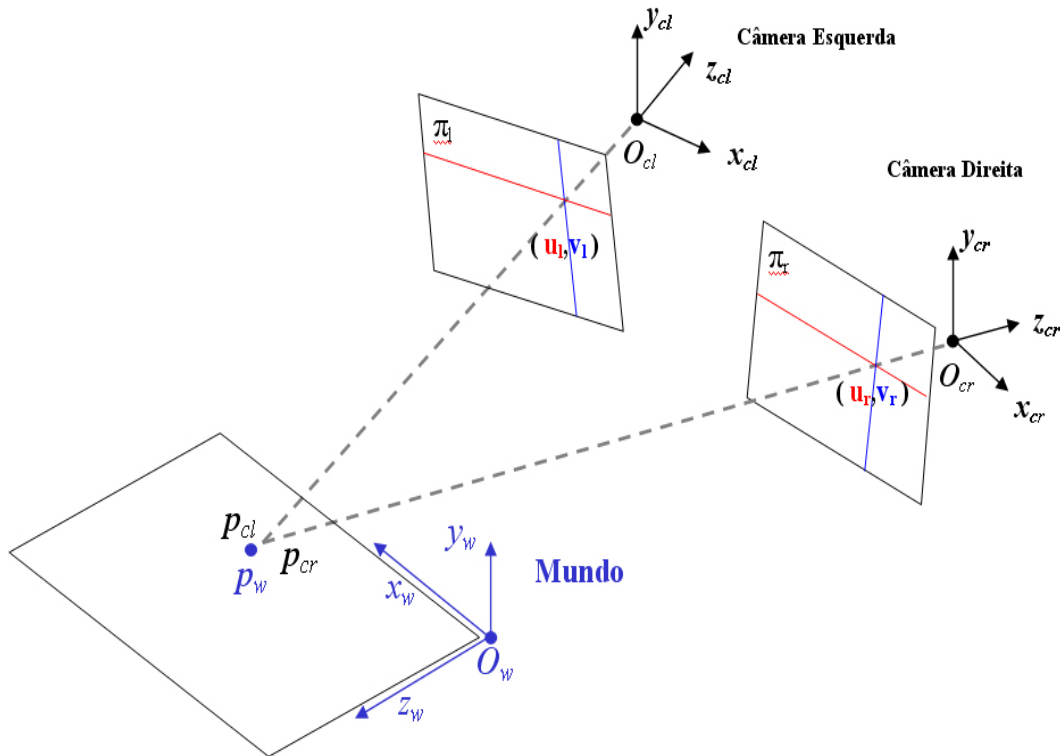


Figura 46 : Processo geral da reconstrução.

O ponto p_w em coordenadas do mundo também pode ser p_{cl} em coordenadas da câmera da esquerda ou p_{cr} em coordenadas da câmera da direita, onde:

$$p_w \xrightarrow{*[RT]} p_{cr} \xrightarrow{*[RT]} p_{cl} = \begin{bmatrix} Xc_l & Yc_l & Zc_l & 1 \end{bmatrix}^T$$

A idéia é que, como temos as conexões entre a câmera da esquerda e a câmera pivô, e entre a câmera da direita e a câmera pivô, ou seja, uma relação das câmeras tomadas duas a duas, tendo como base no processo a câmera pivô executaremos o algoritmo de reconstrução tomando as câmeras duas a duas. Como mostrado na Figura 46, para o processo são necessárias duas câmeras. No caso de nosso dispositivo, a câmera pivô sempre fará parte do processo, ou seja, teremos uma reconstrução feita entre a câmera da esquerda e a câmera pivô, e outra reconstrução entre a câmera da direita e a câmera pivô .

A seguir o método de reconstrução 3D definido em [33,34] e que utilizaremos será descrito passo a passo:

- Para a câmera da esquerda temos:

$$\begin{bmatrix} w_l u_l & w_l v_l & w_l \end{bmatrix}^T = P_l \begin{bmatrix} Xc_l & Yc_l & Zc_l & 1 \end{bmatrix}^T \quad (6)$$

- Para a câmera da direita temos:

$$\begin{bmatrix} w_r u_r & w_r v_r & w_r \end{bmatrix}^T = P_r \begin{bmatrix} Xc_l & Yc_l & Zc_l & 1 \end{bmatrix}^T \quad (7)$$

- Tem-se que $\begin{bmatrix} u & v \end{bmatrix}^T$ são as coordenadas em pixels, nas imagens esquerda e direita, de um marcador capturado e reconhecido, e $\begin{bmatrix} Xc_l & Yc_l & Zc_l & 1 \end{bmatrix}^T$ é a coordenada na câmera da esquerda do ponto $\begin{bmatrix} Xw & Yw & Zw \end{bmatrix}^T$ em coordenadas do mundo.

Nas equações eq.(6) e eq.(7) podemos ver algo em comum: ambas as equações trabalham com coordenadas da câmera da esquerda. Aqui surge uma indagação: como se pode, na equação eq.(7), levar um ponto expresso em coordenadas da câmera da esquerda para coordenadas da imagem da câmera da direita? Além disso, como converter esse ponto 3D, expresso em coordenadas da câmera esquerda, em coordenadas em pixels da câmera da direita?

A resposta é a composição que devem ter as matrizes P_l e P_r , que levam um ponto em coordenadas da câmera da esquerda para coordenadas em pixels em cada imagem das câmeras. Assim podemos descrever o seguinte:

- Para levar um ponto em coordenadas da câmera da esquerda, na equação eq.(6), para coordenadas em pixels da mesma câmera, precisamos apenas da matriz de parâmetros intrínsecos Mi_l , onde a matriz P_l deve ser de ordem 3×4 , por isso incrementa-se o vetor coluna 0 da matriz Mi_l :

$$P_l = Mi_l \begin{bmatrix} I_{3 \times 3} & | & \mathbf{0}_{3 \times 1} \end{bmatrix}_{3 \times 4} = \begin{bmatrix} Mi_{3 \times 3} & | & \mathbf{0}_{3 \times 1} \end{bmatrix}_{3 \times 4} \quad (8)$$

- Para levar um ponto, em coordenadas da câmera esquerda na equação eq.(7), para coordenadas em pixels da câmera direita, precisaremos da matriz de parâmetros intrínsecos da câmera direita Mi_r .

$$P_r = Mi_r \left[R_{3 \times 3} \mid T_{3 \times 1} \right]_{3 \times 4} = \left[\left[Mi_r \ R \right]_{3 \times 3} / \left[Mi_r \ T \right]_{3 \times 1} \right]_{3 \times 4} \quad (9)$$

Mas na equação eq.(7) ainda temos que converter um ponto em coordenadas da câmera da esquerda para coordenadas da câmera da direita. Para isso, é preciso calcular as matrizes $[R \mid T]$ da equação eq.(9), que nos permitem fazer essa conversão, para o que temos nas seguintes equações, onde:

- p_{cl} é um ponto em coordenadas da câmera da esquerda.
- p_{cr} é um ponto em coordenadas da câmera da direita.
- p_w é um ponto em coordenadas do mundo.

$$p_{cl} = R_l p_w + T_l \quad (10)$$

$$p_{cr} = R_r p_w + T_r \quad (11)$$

Aqui as matrizes R_l e R_r e os vetores T_l e T_r são os parâmetros extrínsecos calculados com o método de calibração TSAI não-coplanar. Resolvendo as equações eq.(10) e eq.(11):

- Expressamos p_w em coordenadas p_{cl} da eq. (10); assim temos:

$$R_l^T p_{cl} = R_l^T R_l p_w + R_l^T T_l$$

$$p_w = R_l^T p_{cl} - R_l^T T_l \quad (12)$$

- Trocamos na eq. (11) p_w pelo valor calculado na eq. (12) e temos:

$$p_{cr} = R_r \left(R_l^T p_{cl} - R_l^T T_l \right) + T_r$$

$$p_{cr} = \left(R_r R_l^T \right) p_{cl} + \left(-R_r R_l^T T_l + T_r \right)$$

$$p_{cr} = R p_{cl} + (-R T_l + T_r)$$

$$p_{cr} = R p_{cl} + T \quad (13)$$

- De onde também podem-se obter as fórmulas para encontrar R e T :

$$R = R_r R_l^T \quad \text{e} \quad T = -R T_l + T_r$$

A equação eq.(13) leva um ponto em coordenadas da câmera esquerda para coordenadas na câmera da direita.

Então, temos as matrizes $[R \mid T]$ calculadas, as quais levam um ponto em coordenadas da câmera da direita para coordenadas da câmera esquerda. É assim que, na eq. (9), já temos todas as matrizes para calcular, e agora podemos expressar a eq. (6) e a eq. (7) da seguinte forma:

$$\begin{bmatrix} w_l u_l & w_l v_l & w_l \end{bmatrix}^T = M_l \begin{bmatrix} I_{3 \times 3} & \mathbf{0}_{3 \times 1} \end{bmatrix}_{3 \times 4} \begin{bmatrix} X_{c_l} & Y_{c_l} & Z_{c_l} & 1 \end{bmatrix}^T \quad (14)$$

$$\begin{bmatrix} w_r u_r & w_r v_r & w_r \end{bmatrix}^T = M_r \begin{bmatrix} R_{3 \times 3} & T_{3 \times 1} \end{bmatrix}_{3 \times 4} \begin{bmatrix} X_{c_l} & Y_{c_l} & Z_{c_l} & 1 \end{bmatrix}^T \quad (15)$$

- É a partir da eq. (14) e eq. (15) que armamos um sistema de equações para calcular o valor de:

$$\begin{bmatrix} X_{c_l} & Y_{c_l} & Z_{c_l} & 1 \end{bmatrix}^T$$

- É assim que, da eq. (14) e eq. (15), podem-se extrair duas equações de cada igualdade:

$$\begin{bmatrix} w_r u_r \\ w_r v_r \\ w_r \end{bmatrix} = \begin{bmatrix} P_r^1 \\ P_r^2 \\ P_r^3 \end{bmatrix}_{3 \times 4} \begin{bmatrix} X_{c_l} \\ Y_{c_l} \\ Z_{c_l} \\ 1 \end{bmatrix}_{4 \times 1} \quad \begin{bmatrix} w_l u_l \\ w_l v_l \\ w_l \end{bmatrix} = \begin{bmatrix} P_l^1 \\ P_l^2 \\ P_l^3 \end{bmatrix}_{3 \times 4} \begin{bmatrix} X_{c_l} \\ Y_{c_l} \\ Z_{c_l} \\ 1 \end{bmatrix}_{4 \times 1}$$

$$B_{4 \times 4} = \begin{bmatrix} p_l^1 & -u_l p_l^3 \\ p_l^2 & -v_l p_l^3 \\ p_r^1 & -u_r p_r^3 \\ p_r^2 & -v_r p_r^3 \end{bmatrix}_{4 \times 4} \quad (16)$$

- Aqui, $p_l^1, p_l^2, p_l^3, p_r^1, p_r^2, p_r^3$ são os vetores fila das matrizes P_l, P_r . A matriz B mostrada na eq. (16) forma o sistema $Ax = 0$:

$$B_{4 \times 4} \begin{bmatrix} Xc_1 & Yc_1 & Zc_1 & 1 \end{bmatrix}^T = 0_{4 \times 1} \quad (17)$$

- Uma solução para o sistema proposto pela eq. (17) é o autovetor associado com o menor autovalor recuperado da decomposição SVD. Esta solução é $\begin{bmatrix} wXc_1 & wYc_1 & wZc_1 & w \end{bmatrix}^T$, de onde podemos extrair o valor do marcador em coordenadas da câmera da esquerda:

$$\begin{bmatrix} Xc_1 & Yc_1 & Zc_1 & 1 \end{bmatrix}^T$$

3.2.4.3.

Processo de Reconstrução

Conforme descrito no algoritmo de reconstrução, cada marcador é reconstruído fazendo uso de duas câmeras de cada vez e os pontos em coordenadas em pixels dos marcadores nessas câmeras.

É agora que utilizamos a lista de índices da etapa de correlação e, partir dessa lista, tomamos dois a dois os índices dos pontos indicados como pontos candidatos na imagem para serem um dos marcadores (isto entre a câmera pivô e as outras câmeras).

Utilizando a Tabela 1 correspondente à Figura 41, temos:

Marcadores Câmera Pivô	Marcadores Câmera Pivô	Marcadores Câmera Esquerda	Marcadores Câmera Direita
<i>Índices para o 1º Marcador</i>	1	2e	1d, 2d
<i>Índices para o 2º Marcador</i>	2	1e	1d, 2d
<i>Índices para o 3º Marcador</i>	3	3e	3d

Tabela 3 : Correspondência entre candidatos da câmera da esquerda e da direita com a câmera pivô.

Como mostrado na Tabela 3, para o marcador 1 na câmera pivô há dois possíveis pontos candidatos na câmera da direita e só um na esquerda. Isto significa que, na hora de aplicar a reconstrução tomando as câmeras duas a duas, geramos 1 ponto reconstruído entre a câmera pivô e da esquerda, e entre a câmera pivô e a câmera da direita há 2 candidatos reconstruídos.

É assim que, finalmente temos uma lista de pontos reconstruídos, como candidatos para cada marcador, conforme mostrado abaixo:

Marcadores Câmera Pivô	Numero Candidatos reconstruídos entre Câmera Pivô e da esquerda	Numero Candidatos reconstruídos entre Câmera Pivô e da direita	Totais candidatos por marcador
<i>Para o 1º Marcador</i>	1	2	3
<i>Para o 2º Marcador</i>	1	2	3
<i>Para o 3º Marcador</i>	1	1	2

Tabela 4 : Número de pontos reconstruídos entre as câmeras.

Como mostrado na Figura 47, entre os candidatos dos pontos reconstruídos temos candidatos com as posições corretas, mas também são gerados alguns em posição errada. Também geram-se posições de marcadores que estão tão perto, quase com as mesmas coordenadas, que na imagem é difícil distingui-los. Propomos duas soluções para esses casos:

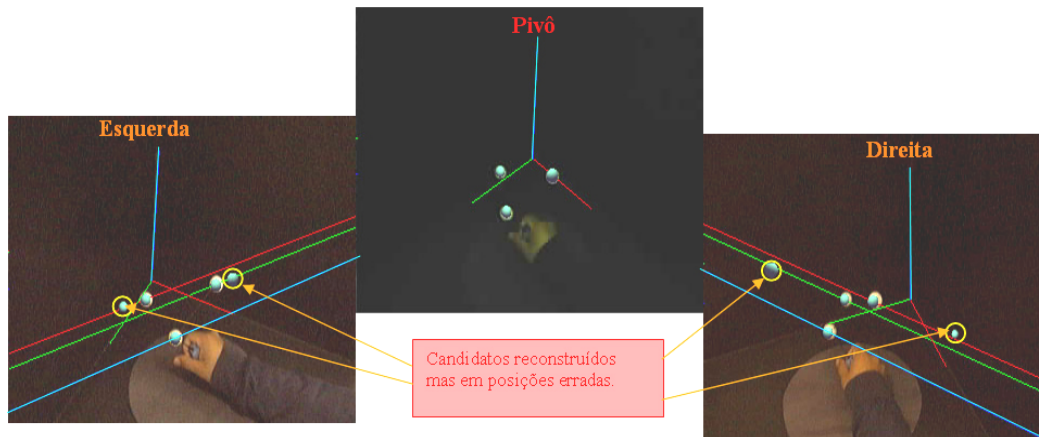


Figura 47 : Visualização de todos os marcadores reconstruídos.

1. Para os pontos que têm coordenadas 3D reconstruídas muito semelhantes, será feita uma média entre elas, deixando só uma coordenada 3D como candidato representando um marcador específico.
2. Para casos em que não é possível definir se dois pontos reconstruídos são semelhantes, será utilizada a estratégia de analisar características físicas do conjunto de marcadores, tais como o conhecimento da medida física da distância ou ângulo entre eles.

Solução 1: Descartar os candidatos semelhantes.

Visualmente podemos observar na Figura 47 que da câmera pivô e da direita os marcadores errados são facilmente eliminados com a primeira solução. Porém, devido à ambigüidade que se vê na imagem da câmera da esquerda, ainda se continua com a dúvida a respeito de quais são os marcadores certos e quais os errados. A Tabela 5 mostra o número de candidatos que sobram depois de executar a primeira solução.

Marcadores Câmera Pivô	Candidatos reconstruídos entre a câmera pivô e as câmeras da esquerda e direita
<i>Para o 1º Marcador</i>	2
<i>Para o 2º Marcador</i>	2
<i>Para o 3º Marcador</i>	1

Tabela 5 : Número de pontos 3D candidatos finais para cada marcador.

Finalmente, uma lista de pontos 3D candidatos, já sem repetições ou candidatos semelhantes, é enviada para se executar a segunda solução, na qual os pontos errados serão eliminados e se detectará o conjunto correto de marcadores como resultado final da reconstrução 3D dos marcadores.

Solução 2: Análise das características físicas do conjunto de marcadores.

Como segunda solução para eliminar candidatos de marcadores reconstruídos errados, definimos a identificação do conjunto de marcadores como um objeto só, ou seja, os marcadores definem uma forma específica.

No nosso caso, o conjunto de marcadores define um triângulo retângulo isósceles. Essa será a forma que os candidatos da lista final de pontos 3D devem gerar.

A forma predefinida para o conjunto de marcadores será a que nos ajudará a descartar aqueles candidatos a pontos 3D que representam posições erradas.

A estratégia definida nesta etapa é descrita a seguir:

- Primeiro, definir as características do objeto definido pelo conjunto de marcadores.
- Segundo, criar combinações com os pontos 3D candidatos, que procurem formar o objeto definido.
- Finalmente, definir e identificar uma só combinação de candidatos, os quais serão os pontos 3D definitivos, que representam os 3 marcadores que utilizamos como padrão a ser rastreado.

Passo 1: Definir as características físicas do conjunto de marcadores.

A seguir será definida a forma física que possui nosso conjunto de marcadores.

A primeira característica é que ele forma um triângulo unindo os 3 marcadores que o compõem. Esse triângulo possui um ângulo reto e é isósceles, ou seja, tem dois lados com igual tamanho.

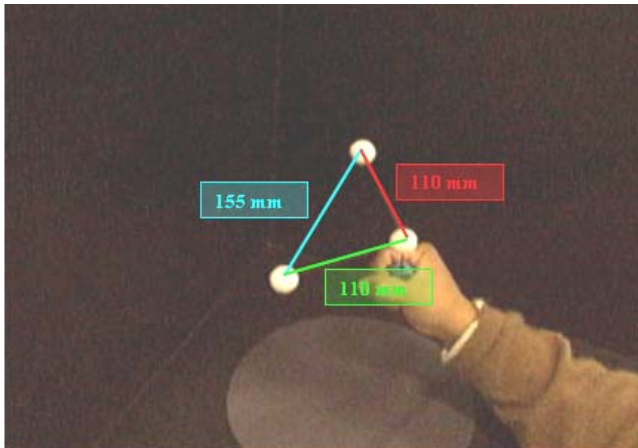


Figura 48 : Distribuição e forma definidas pelos marcadores físicos.

A característica física que usaremos serão as distâncias existentes entre os marcadores, como vemos na Figura 48. Temos 2 lados com 110 mm de tamanho e a hipotenusa do triângulo com aproximadamente 155.5 mm.

A decisão de utilizar a distância entre os marcadores e não o ângulo formado pelos lados foi porque nas experiências realizadas a margem de erro é mais difícil de controlar com medidas dos ângulos do que com as medidas das distâncias entre os marcadores.

Passo 2: Criação das combinações de pontos 3D candidatos.

Neste passo, definiremos como se faz a seleção entre as combinações dos pontos 3D candidatos encontrados na etapa final da reconstrução. Elas são testadas uma a uma, até que alguma combinação possa cumprir a característica física previamente definida no conjunto de marcadores.

Como mostra a Figura 49, as combinações são criadas unindo os pontos 3D que temos como candidatos. Assim vemos que as linhas vermelhas e verdes definem os lados que devem ser iguais e as linhas azuis definem a hipotenusa.

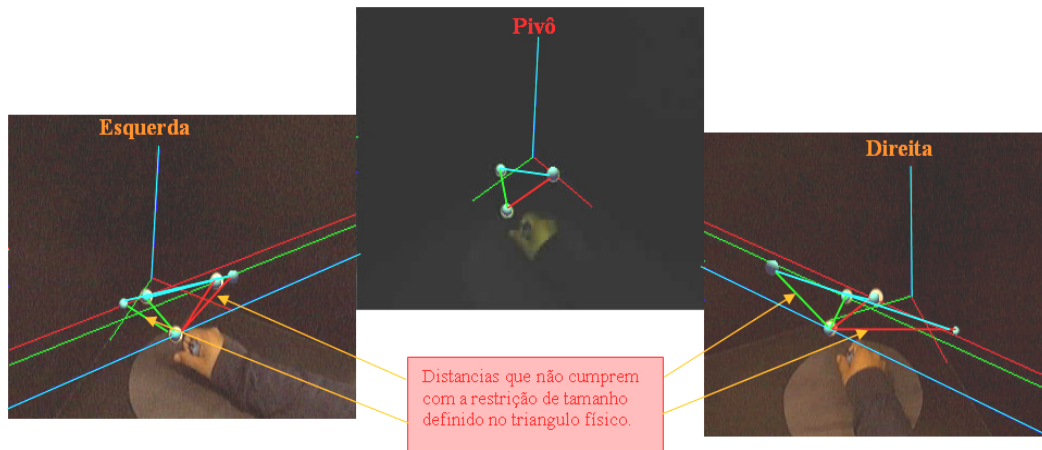


Figura 49 : Criação de combinações entre pontos candidatos.

A estratégia consiste então em criar vetores entre os pontos 3D, em coordenadas do mundo em milímetros, e testar se o tamanho dos vetores está dentro de um intervalo permitido de distâncias, em razão do tamanho dos lados do triângulo. Assim temos:

- Para os lados do triângulo que são iguais, permitimos uma distância de [100, 135] mm.
- Para o lado da hipotenusa do triângulo, permitimos uma distância de [150, 180] mm.

Com esses intervalos restritivos, podemos escolher dentre todas as possíveis combinações aquela que se aproxime melhor das distâncias físicas definidas pelos marcadores no mundo.

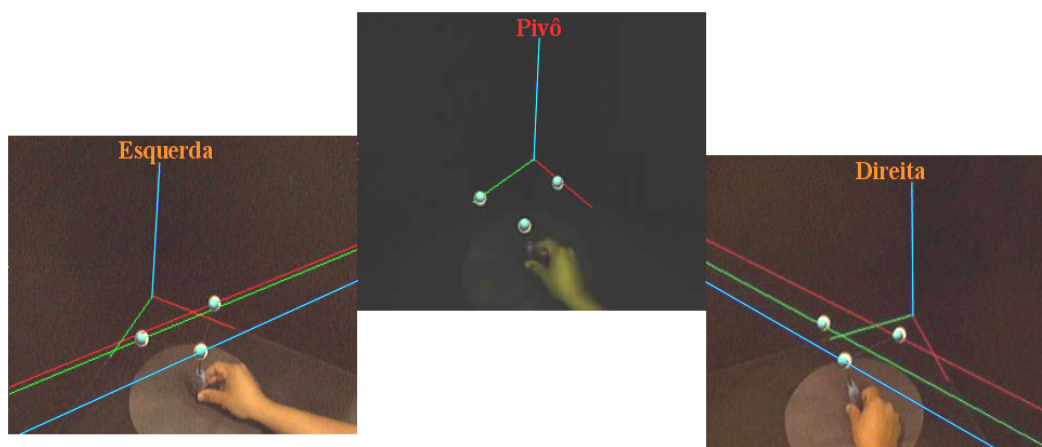


Figura 50 : Candidatos 3D escolhidos no final do processo.

O resultado final terá 3 pontos 3D entre os candidatos, que são escolhidos como correspondentes aos 3 marcadores físicos que se está rastreando, definindo nosso triângulo isósceles. Na Figura 50, os candidatos escolhidos são visualizados sobrepostos aos marcadores físicos que aparecem em cada imagem de vídeo.

Este resultado final da reconstrução 3D dos marcadores nos servirá na próxima etapa para rastrear seus movimentos como um objeto único, a partir do qual será feita a recuperação dos 6 graus de liberdade que este objeto tem dentro do espaço de trabalho.

4

Extração dos 6 Graus de Liberdade e Aplicações de Teste

Neste capítulo, apresentaremos como o dispositivo de rastreamento óptico proposto nesta dissertação consegue recuperar os seis graus de liberdade (DoF) dos movimentos de translação e rotação feitos por um conjunto de três marcadores que são rastreados a partir das imagens de vídeo capturadas por câmeras web.

Como definimos no Capítulo 3, todo o processo de rastreamento óptico já foi desenvolvido e, como resultado, temos a reconstrução 3D dos marcadores esféricos de referência com os quais trabalhamos. Com essa informação podemos rastrear os movimentos realizados pelo conjunto de marcadores como um objeto único.

Esses seis graus de liberdade são divididos em:

- Três graus de liberdade representados pelos movimentos de translação que os marcadores podem fazer dentro do espaço de rastreamento. Esses movimentos podem ser recuperados individualmente a partir de cada marcador, analisando-se a variação da posição do marcador em cada intervalo de tempo enquanto ele é rastreado.
- Três graus de liberdade representados pelos movimentos de rotação que o conjunto de marcadores, considerado como um objeto único, pode realizar. A quantidade mínima de marcadores esféricos necessários para rastrear os movimentos de rotação é de três. Esta quantidade é definida pelo fato de que três é a quantidade mínima de pontos necessários para definir um plano no espaço. É assim que recuperamos os movimentos de rotação que o plano triangular faz, comparando sua orientação a cada instante de rastreamento em relação a uma posição e orientação inicialmente definidas para o plano.

Após recuperar os seis DoF, definidos pelo rastreamento do conjunto de marcadores, o dispositivo de rastreamento óptico é adaptado para comportar-se como um dispositivo de entrada que emitirá um conjunto de eventos relacionados aos movimentos de translação e rotação recuperados.

Para apoiar a descrição da extração dos seis DoF a partir do dispositivo proposto, será feita uma análise prévia do funcionamento de um dispositivo de entrada mecânico, que também gera eventos com base na recuperação dos seis graus de liberdade. Com base nessa análise adaptaremos nosso dispositivo para gerar eventos que utilizam os seis DoF como fonte de dados.

4.1. Extração dos 6 DoF

A primeira etapa é descrever a recuperação dos seis graus de liberdade obtida do movimento feito pelo conjunto de marcadores.

A partir do movimento do conjunto de marcadores, devidamente rastreado e interpretado, são gerados deltas de translação e quatérnios de rotação, que nos servem para expressar os 6 DoF.

A forma de interpretação dos dados gerados por nosso dispositivo procura fazer uma analogia com o funcionamento de um Spaceball (Mouse 3D) [35], o qual é projetado para gerar deltas de translação e rotações a partir de uma posição inicial.

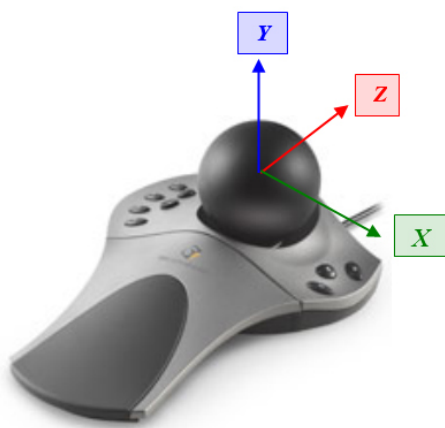


Figura 51 : Spaceball com o subsistema de eixos, definidos a partir da posição inicial da bola preta.

Conforme definido para o Spaceball, na Figura 51, ele é centrado num sistema de eixos na base da bola preta, a qual controla e detecta os movimentos feitos com ela.

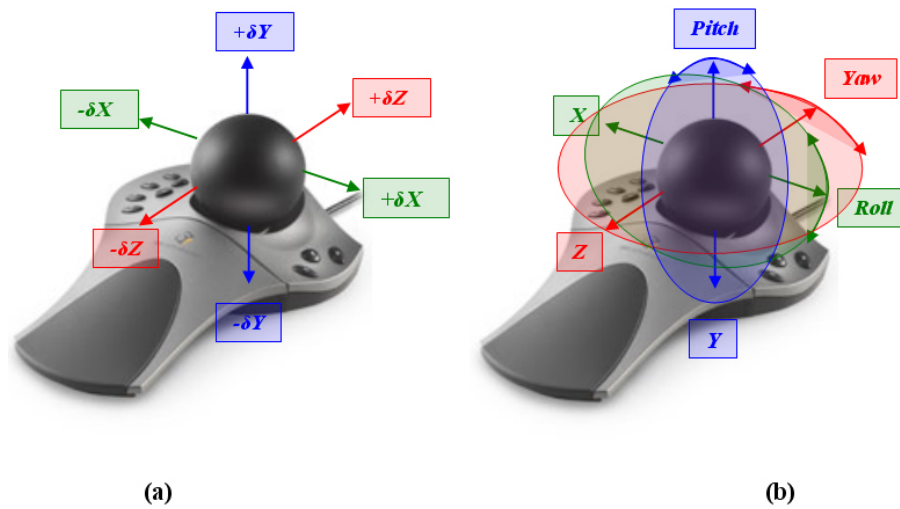


Figura 52 : Spaceball (a) 3 DoF translações ao puxar a bola preta, (b) 3 DoF rotações ao girar a bola preta.

Como pode-se ver na Figura 52, este dispositivo mecânico usa a posição fixa da bola preta como centro e são os movimentos gerados ao puxar ou rodar a bola que geram os deltas de translação (Figura 52a) ou as rotações (Figura 52b), que definem os 6 DoF que este dispositivo pode gerar.

Essa forma de interpretação de sinais é a que se tenta reproduzir no dispositivo óptico aqui proposto, no qual nosso conjunto de marcadores fará uma analogia com o que seria a bola preta como centro do Spaceball e seus movimentos. A seguir é mostrado como ocorre a captura dos movimentos a partir do dispositivo óptico proposto.

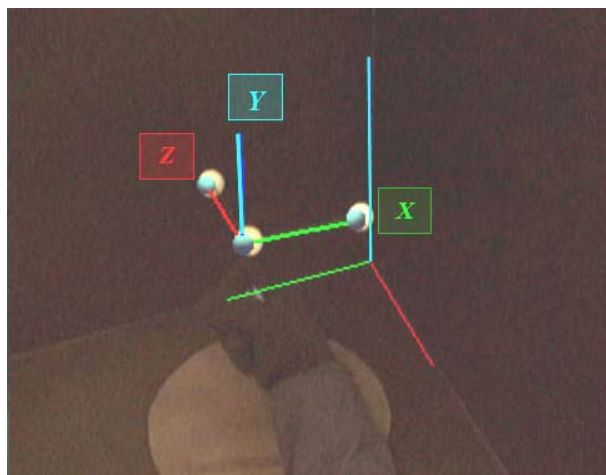


Figura 53 : Conjunto de marcadores e subsistema de eixos criado pelos marcadores.

A primeira coisa a ser feita é definir um subsistema de eixos (Figura 53), os quais são criados pelos vetores que unem, dois a dois, os marcadores. Como se supõe os eixos de igual tamanho devem formar um ângulo de 90° , então podemos fazer uma multiplicação vetorial entre esses vetores e achar um terceiro vetor perpendicular a ambos, para assegurar isto se ortonormaliza o sistema formado pelos vetores encontrados.

A posição inicial ou posição base do conjunto de marcadores está definida na Figura 54, que mostra que o conjunto de marcadores está em uma posição que definimos como inicial, na qual os eixos do subsistema que define o conjunto de marcadores ficam quase paralelos aos eixos do sistema do mundo.

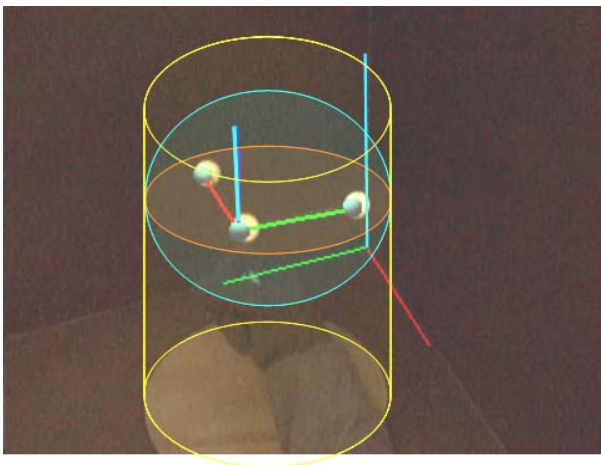


Figura 54 : Conjunto de marcadores em posição inicial em nosso espaço de visão.

Além disso, esse subsistema aparece envolto por uma esfera e um cilindro imaginários. A esfera ajuda a mostrar que o conjunto de marcadores fica a uma altura diferente do plano inferior, o qual está definido pelo chão do espaço de rastreamento.

O cilindro ajuda a perceber melhor que o conjunto de marcadores também está afastado a uma distância predefinida dos outros planos que definem a profundidade e a largura do espaço de rastreamento.

Aqui é importante definir a distribuição do sistema de coordenadas do mundo. Ele é definido pelas dimensões da caixa de cor preta em milímetros. O centro de nosso sistema de coordenadas fica no centro do plano inferior que forma a caixa. Ele tem os eixos X e Z definindo a distribuição de largura e profundidade, respectivamente, e o eixo Y definindo a altura da caixa. A Figura 55 mostra essa distribuição do sistema de coordenadas do mundo. A partir do centro temos

aproximadamente 200 mm de espaço útil para rastrear tanto em largura como em profundidade, e 300 mm de altura.

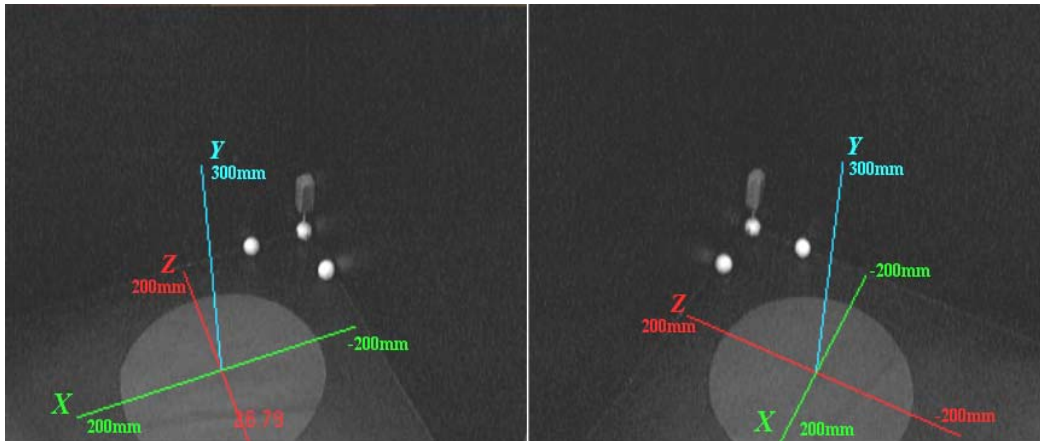


Figura 55 : Distribuição do sistema do mundo.

As dimensões do campo útil de rastreamento variam para cada câmera utilizada pelo nosso dispositivo, em razão do campo de visão de cada câmera.

Com esta informação, apresentada na Figura 55, começaremos a adaptação e recuperação dos eventos de translação e rotação de nosso dispositivo de rastreamento.

4.1.1. Translações – 3 DoF

A primeira definição que faremos será a recuperação dos deltas de translação que nosso dispositivo de rastreamento óptico fornecerá a partir da análise do movimento do conjunto de marcadores (movimentos retos verticais e horizontais – Figura 56).

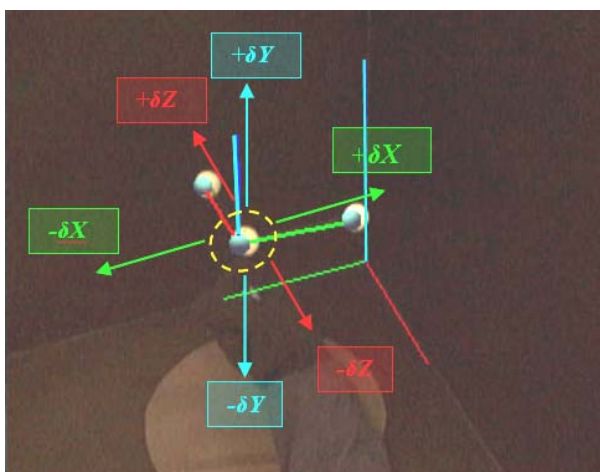


Figura 56 : Dispositivo de Rastreamento Óptico. 3 DoF translações ao mover o marcador central.

Aqui, o principal ponto a ser rastreado é a posição do marcador central do conjunto de marcadores, pois é ele que definirá as translações realizadas pelo conjunto de marcadores como um objeto só.

É assim que definimos três intervalos restritivos, em relação à profundidade, à altura e à largura da distribuição mostrada na Figura 57 sobre as dimensões de nossa caixa de trabalho.

Dentro desses intervalos o marcador central poderá se movimentar, sem gerar sinais de translação. Quando os limites desses intervalos são ultrapassados, geramos sinais indicando em que direção está se dando a translação (X – largura, Y – altura, Z – profundidade).

Os intervalos que definimos podem ser entendidos melhor como um cubo que fica em volta do marcador central. A Figura 57 mostra esse cubo. Os intervalos estão definidos com as seguintes medidas com base na distribuição mostrada na Figura 55:

- Eixo X, largura, o intervalo restritivo está entre (-60,50) mm.
- Eixo Y, altura, o intervalo restritivo está entre (170,250) mm.
- Eixo Z, profundidade, o intervalo restritivo está entre (-50,30) mm.

Esta estratégia de utilizar intervalos como zonas neutras para a emissão de translações também permite tratar casos em que podem acontecer movimentos involuntários da mão e causar erros tais como translações não desejadas.

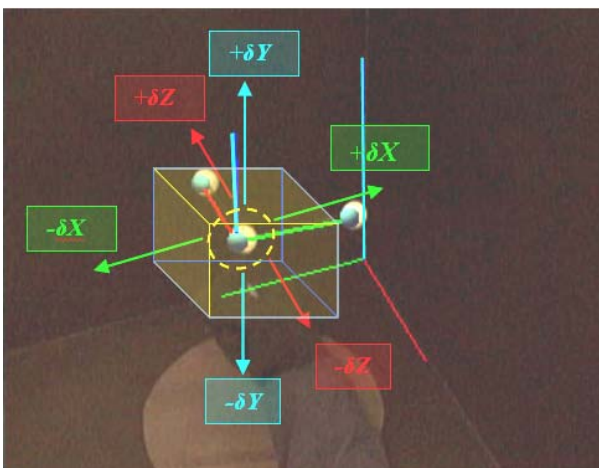


Figura 57 : Cubo restritivo em volta do marcador central.

Finalmente, os vetores que representam os deltas de translação são gerados em função da variação da posição absoluta do conjunto de marcadores no espaço de rastreamento, estes vetores são os seguintes:

- Eixo X, largura, o δX : (1.0, 0.0, 0.0) ou (-1.0, 0.0, 0.0) mm.
- Eixo Y, altura, o δY : (0.0, 1.0, 0.0) ou (0.0, -1.0, 0.0) mm.
- Eixo Z, profundidade, o δZ : (1.0, 0.0, 0.0) ou (-1.0, 0.0, 0.0) mm.

4.1.2. Rotações – 3 DoF

A segunda definição que faremos será a recuperação dos deltas de rotação, que nosso dispositivo de rastreamento óptico fornecerá a partir da análise do movimento do conjunto de marcadores (Figura 58).

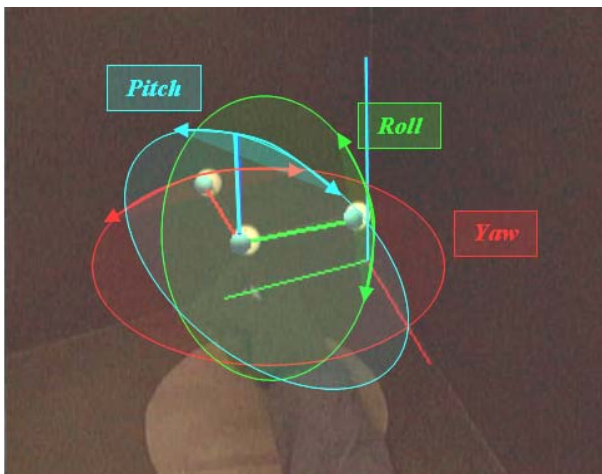


Figura 58 : Dispositivo de Rastreamento Óptico. 3 DoF rotações ao girar o subsistema de eixos.

O método utilizado tem como base a recuperação de um quatérnio, que representará a rotação que o subsistema de eixos faz como um todo.

A extração do quatérnio é realizada com a seguinte estratégia:

- O primeiro é definir um quatérnio inicial que é extraído da posição base definida para o conjunto de marcadores (Figura 59a).
- Depois, para cada movimento realizado pelo conjunto de marcadores, é extraído um quatérnio que representa a posição final na qual o conjunto fica a cada instante da sua movimentação (Figura 59b).

- No final, a cada instante se compara o quatérnio inicial com o quatérnio atual, extraído da posição atual do conjunto de marcadores. Se os quatérnios forem iguais não é gerado nenhum delta de rotação; caso contrário, realiza-se o cálculo da diferença entre os quatérnios inicial e atual, e o valor calculado será definido como nosso delta de rotação.

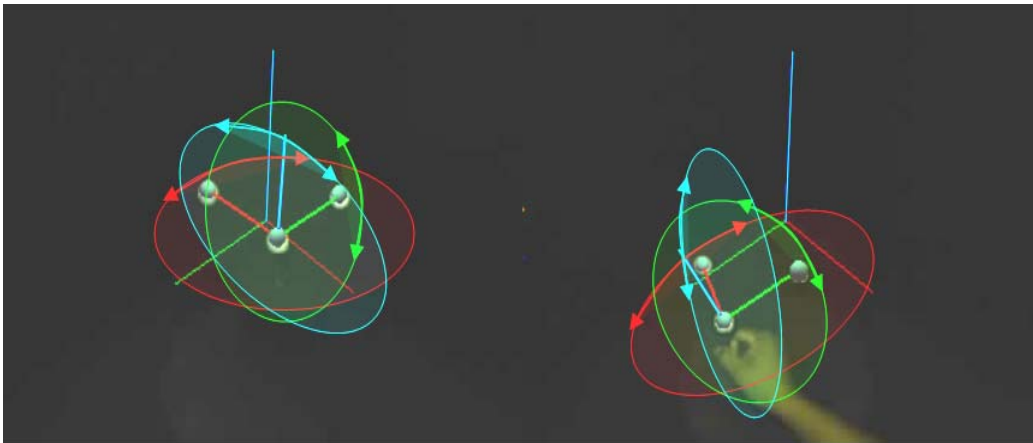


Figura 59 : (a) Posição base dos marcadores, (b) Variações detectadas como rotações.

Finalmente, esses deltas de quatérnio são visualizados como as rotações que os eixos do subsistema vão tendo ao movimentarmos os marcadores que os formam. Assim, na Figura 60, é renderizado um objeto virtual posicionado na base do sistema de eixos definido por nossos marcadores, que se movimenta apenas acompanhando os movimentos de rotação recuperados do quatérnio encontrado a cada quadro.

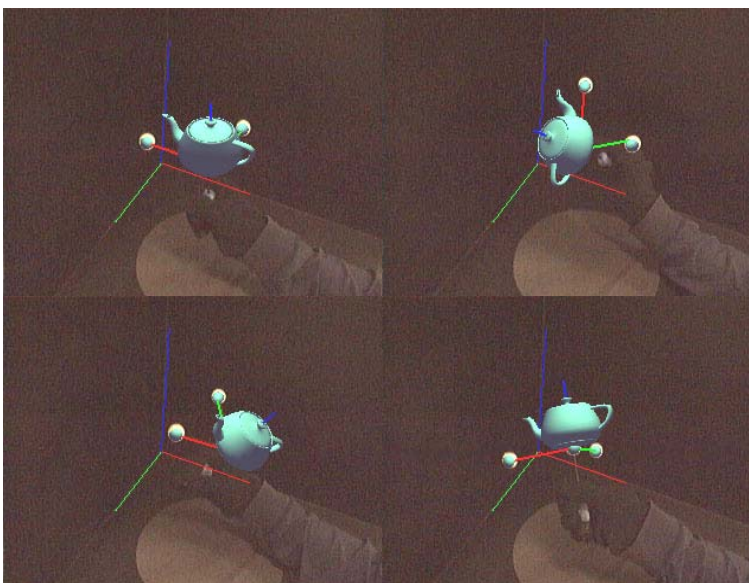


Figura 60 : Captura e visualização das rotações geradas.

4.2. Aplicações de Teste

Para esta dissertação foi implementada inicialmente uma aplicação de teste utilizada apenas para visualizar os resultados dos processos que compõem a implementação do sistema de rastreamento óptico, descritos no Capítulo 3: processamento das imagens, extração de marcadores, calibração de câmera, correlação de marcadores, reconstrução 3D e inserção de um objeto virtual na imagem de vídeo que acompanha a movimentação livre dos marcadores utilizados (Figura 60). Essa aplicação de teste mostra a recuperação dos 6 DoF propostos como objetivo da construção e implementação do nosso dispositivo. As imagens dessa aplicação foram mostradas nas diferentes seções do Capítulo 3 ilustrando os processos do sistema de rastreamento implementado.

Nos capítulos anteriores também se falou na adaptação de eventos a partir dos 6 DoF, recuperados a partir do rastreamento dos marcadores, o que permitirá criar os canais de comunicação para a interação e a sensação de semi-imersão que o dispositivo dará ao usuário quando ele trabalhar com aplicações 3D interagindo dentro de um ambiente virtual. Portanto, implementou-se outra aplicação que mostra esse novo comportamento e desempenho do nosso dispositivo de rastreamento. Nela os eventos de translação e rotação são utilizados para controlar um objeto dentro do ambiente virtual.

A aplicação de realidade virtual implementada é do tipo “Fishtank”, ou seja, inicialmente a tela de visualização está restrita ao monitor que fica em frente ao usuário.

4.2.1. Aplicação de Navegação com um Robô Submarino

Como mostrado na Figura 61, a aplicação tem dois componentes:

- O primeiro é o cenário virtual que representa um campo de exploração petrolífera no fundo do mar, onde se tem como objetivo navegar em volta das diferentes estruturas distribuídas no fundo.
- O segundo é um robô submarino, ele é o objeto utilizado pelo usuário para navegar dentro cenário virtual definido.



Figura 61 : Aplicação do Robô Submarino

O dispositivo tem como objetivo permitir que o usuário controle o robô submarino da forma mais natural possível, isto é, vendo como os movimentos feitos com sua mão em diferentes direções e fazendo giros, diretamente refletidos sobre a posição dos marcadores, têm uma correspondência com os movimentos de translação e rotação que o robô faz enquanto navega no cenário virtual.

Aqui é importante citar como medida qualitativa de desempenho o grau de dificuldade na adaptação do usuário ao nosso dispositivo para a realização da tarefa de navegação e controle de um objeto virtual no cenário 3D onde interage. A precisão da reconstrução e a uniformidade do rastreamento se vêm refletidas na forma suave e coerente dos movimentos que o robô faz, em razão de diminuir possíveis saltos quando os marcadores têm problemas tais como oclusão.

4.2.2. Aplicações Adicionais

Outras aplicações em que o dispositivo foi testado foram um “Pintor 3D” e um “Braço de Robô Virtual”, este último também utilizado em um ambiente de exploração petrolífera submarina.

Essas duas aplicações são interessantes de apresentar porque mostram outra estratégia de interpretação e emissão de eventos, baseada diretamente no rastreamento de marcadores dentro do espaço absoluto da caixa que compõe o dispositivo.

A idéia básica é fazer um escalamento das dimensões do espaço de rastreamento (volume da caixa preta) para dimensões do mundo virtual, com a finalidade de recuperar posições 3D de dentro da caixa do dispositivo, as quais

terão uma posição 3D correspondente no mundo virtual. Na seqüência, descreveremos essas das aplicações.

4.2.2.1.PINTOR 3D

Esta aplicação, ilustrada na Figura 62, está composta por:

- Um cenário 3D com latas de tinta de diferentes cores.
- Um pincel flutuante que será o objeto que o usuário controlará.



Figura 62 : Pintor 3D.

O objetivo desta aplicação é fazer desenhos livres 3D no cenário virtual. A utilidade de nosso dispositivo está na facilidade que o usuário tem para realizar os desenhos utilizando movimentos da sua mão. Para isso, colocamos dois marcadores na mão do usuário e fazemos o rastreamento deles dentro do espaço definido na caixa preta do dispositivo. A posição média entre os marcadores reconstruídos em coordenadas 3D guiará a movimentação do pincel pelo cenário virtual. Nesta abordagem, estamos apenas resgatando movimentos de translação absoluta dos marcadores, utilizando para isto somente três graus de liberdade.

A vantagem que este tipo de adaptação apresenta é a sensação de imersão e liberdade que o usuário tem enquanto desenha livremente com a mão dentro do cenário virtual. Além disso, o usuário percebe como seus movimentos são diretamente representados no mundo virtual. A interação entre o usuário e a aplicação é natural, não exigindo maior treinamento para fazer uso do dispositivo e interagir com a aplicação.

4.2.2.2. BRAÇO ROBÔ VIRTUAL

Esta aplicação, ilustrada na Figura 63, está composta por:

- Um cenário 3D, onde há uma estrutura submarina que simula uma árvore de Natal para extração de petróleo.
- Um braço robô que será o objeto que o usuário controlará.
- Uma estrutura em forma de torpedo que terá que ser inserida, com ajuda do braço, na árvore de Natal para que ela comece a funcionar.

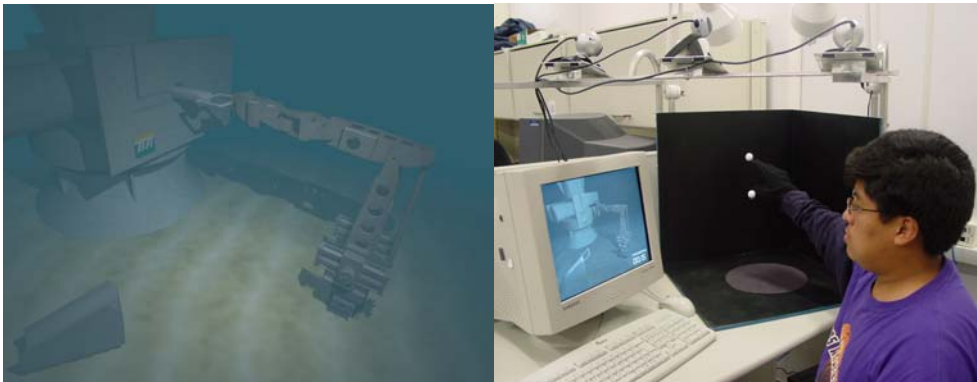


Figura 63 : Aplicação do Braço Robô Virtual controlada pela mão do usuário.

O objetivo desta aplicação é controlar a movimentação do braço robô e, através dela, controlar o evento de abrir e fechar a garra na ponta do braço robô.

Para fazer isso, a estratégia foi a mesma implementada no “Pintor 3D”, ou seja, a posição da ponta do braço robô é controlada com a movimentação da mão do usuário dentro da espaço de rastreamento. Para isso, é extraída a posição 3D média entre os marcadores colocados na luva da mão do usuário e, a cada instante da movimentação da mão, calcula-se o valor médio entre as coordenadas 3D dos marcadores. A partir da posição da ponta do braço, rastreada pelo dispositivo, as posições das demais juntas do robô são calculadas por cinemática inversa.

O evento de abrir e fechar a garra também está ligado ao movimento da mão do usuário. Utilizamos os dois marcadores colocados nos dedos indicador e polegar e, fazendo uma analogia com a movimentação dos dedos, é detectado se eles chegam a se juntar, até se ter uma distância mínima entre os marcadores que representa que a garra está se fechando, ou se eles se separam representando que a garra está se abrindo.

Essa adaptação de um evento adicional mostra a flexibilidade que o sistema de rastreamento do nosso dispositivo oferece ao usuário para criar novos eventos dependendo da tarefa que se queira realizar na aplicação 3D.

O objetivo geral destas aplicações foi mostrar o desempenho, a utilidade e as possíveis adaptações de nosso dispositivo para diferentes tarefas relacionadas com a navegação e o controle de objetos virtuais dentro do cenário 3D onde interage.

Fazendo uma comparação em termos de adaptação do usuário, entre o dispositivo aqui proposto e o dispositivo mecânico Spaceball, na realização da tarefa de controle do braço robô e do pintor 3D, por exemplo, o nosso dispositivo demonstrou requerer um menor tempo de adaptação para que o usuário entendesse o seu funcionamento. Isto é uma consequência da forma intuitiva e natural como o usuário controla o braço robô e o pincel com os movimentos da sua mão, reforçando assim a sensação de imersão e interação entre o usuário e a aplicação. Essas duas aplicações também ajudaram a testar o sistema de rastreamento óptico implementado para o dispositivo, mostrando a boa continuidade do rastreamento e da reconstrução das posições 3D dos marcadores, que se refletiu nos movimentos suaves que os objetos virtuais fazem em resposta aos movimentos da mão do usuário.

Na aplicação do robô submarino, a intenção foi mostrar a flexibilidade do dispositivo para recuperar os 6 DoF da movimentação do conjunto de marcadores que agiam como um objeto único, e depois adaptar esses dados como sinais que permitam criar novos eventos, como manobrar rotações, ampliando o controle sobre objetos virtuais, o que é necessário na tarefa de navegação pelos cenários virtuais.

Finalmente, podemos dizer que neste capítulo foram apresentadas as principais vantagens de nosso dispositivo. Vimos que elas estão ligadas a aspectos como a facilidade de uso, a flexibilidade na adaptação de eventos e a sensação de imersão oferecida ao usuário enquanto ele interage com uma aplicação 3D de realidade virtual utilizando o nosso dispositivo como meio de comunicação de suas ações.

5 Conclusões e Trabalhos Futuros

Como produto deste trabalho, foi desenvolvido um novo tipo de dispositivo de entrada experimental orientado a trabalhar com aplicações 3D de realidade virtual e cujo funcionamento se baseia em rastreamento óptico. Ele pode ser colocado dentro de um ambiente desktop comum ligado a um só computador.

O primeiro objetivo foi mostrar que é possível construir um dispositivo de rastreamento óptico barato e composto de hardware comum, como são as câmeras web. Ele é ligado ao computador do usuário e permite que este experimente a sensação de interação e semi-imersão oferecida pelo dispositivo enquanto interage com aplicações de realidade virtual, do tipo “Fishtank”, que são executadas no seu computador.

O segundo objetivo foi mostrar a adaptabilidade que o dispositivo pode ter para comportar-se como um dispositivo de entrada, ao qual é possível adicionar e relacionar diferentes tipos de eventos em razão do contexto e de características do funcionamento da aplicação de realidade virtual com a qual ele será utilizado, como foi mostrado na descrição das diferentes aplicações onde nosso dispositivo foi testado. Foram feitas duas abordagens interessantes de adaptabilidade:

- Na primeira abordagem, o dispositivo funciona como um dispositivo que recupera apenas coordenadas 3D absolutas do espaço de rastreamento, onde se movimentam os marcadores referenciais, e traduz essas coordenadas para uma escala que permite relacionar diretamente esses movimentos com os movimentos de um objeto virtual dentro do cenário virtual onde está imerso. Esta abordagem foi muito útil porque permitiu dar ao usuário a sensação de controle direto sobre o objeto virtual que permite incrementar a sensação de interação e imersão, duas características que os dispositivos de realidade virtual procuram oferecer. O único inconveniente encontrado foi que, enquanto movimenta a mão dentro do espaço de rastreamento, algumas vezes o usuário tem dificuldades quando a

mão atinge os limites físicos do espaço de rastreamento. A solução é fazer um correto escalamento das dimensões do volume do espaço de rastreamento em relação às dimensões do espaço útil de movimentação do cenário virtual. Essa abordagem foi usada no Pintor 3D e no Braço Robô Virtual.

- A segunda abordagem é mais complexa porque se faz uma nova interpretação e geração de dados com base nos dados obtidos no processo de reconstrução 3D. Com esses novos dados podem-se gerar novos eventos. São analisados então os movimentos de um conjunto de três marcadores que agem como um objeto único. Essa nova interpretação permite moldar esses novos eventos às exigências de funcionamento das aplicações, facilitando ao usuário a interação e o entendimento da aplicação. Essa abordagem foi usada na aplicação do robô submarino.

Finalmente pode-se dizer que, com base nas aplicações utilizadas como teste para o dispositivo proposto, os possíveis erros de precisão dos dados obtidos nos processos que compõem o rastreamento óptico geral, tal como a reconstrução 3D dos marcadores, não foram tão relevantes a ponto de se sentir uma influência direta no funcionamento global do dispositivo para as tarefas desempenhadas nas aplicações. Isso porque o funcionamento do dispositivo foi orientado mais a um contexto qualitativo e de valorização da adaptação do usuário às novas características de interação que o dispositivo lhe oferece como ferramenta que permite a comunicação direta entre ele e a aplicação 3D de realidade virtual. Como resultado final, queremos mostrar que nosso dispositivo experimental também cumpre o papel de dar suporte aos dois elementos-chave de uma aplicação de realidade virtual: interação e sensação de semi-imersão.

5.1. Trabalhos Futuros

Como trabalhos futuros é possível listar algumas melhorias diretas sobre características do dispositivo, tais como:

- Usar câmeras de maior resolução e campo de visão para capturar um maior espaço de rastreamento.
- Ampliar as dimensões do espaço de rastreamento, mas tentando não perder a vantagem dada ao usuário de trabalhar num ambiente desktop comum.
- Incrementar o número de padrões definidos pelos marcadores a serem rastreados dentro de um mesmo espaço de rastreamento, com a intenção de se poder utilizar talvez as duas mãos do usuário para criar uma forma de trabalho coordenado dentro de uma aplicação de realidade virtual.
- Testar novos algoritmos para cada etapa do processo de rastreamento em geral.
- Estudar e analisar que tipo de técnicas de interação entre o usuário e o ambiente 3D de realidade virtual podem ser utilizadas com o nosso dispositivo experimental.

Neste último aspecto, há um campo pouco explorado e amplo que se pode pesquisar. Atualmente, as formas de interação em espaços 3D virtuais estão sendo bastante estudadas e analisadas e, por enquanto, só há três técnicas definidas para interação dentro de ambientes virtuais: navegação, seleção e controle de objetos virtuais. Nosso dispositivo pode ajudar a testar essas técnicas, as vantagens que elas podem propiciar usando nosso dispositivo experimental, e talvez propor novas técnicas a partir do desenho do nosso dispositivo.

6

Referências Bibliográficas

1. **Virtual Reality Definitions**, <http://www.Webopedia.com/>, Fevereiro 2005.
2. SEROLLI, M., LUIS, L., ANTUNES, C., GONZÁLEZ, E., PIZZINI, G., MAURO, L., **A User Interface Model for Navigation in Virtual Worlds**, Conferência Latino-Americana de Informática CLEI , Assunção, Paraguai, 1999.
3. WARE, C., ARTHUR, K., BOOTH, K., **Fish Tank Virtual Reality**, ACM CHI '93 Proceedings, pp. 37-42, 1993.
4. SHERMAN, W.R., CRAIG, A.B., **Understanding Virtual Reality: Interface, Application, and Design**, Elsevier Science, ISBN 1558603530, San Francisco, USA, pp. 6-10, 2003.
5. SLATER, M., USOH, M., STEED, A., **Depth of Presence in Virtual Environments**, Presence: Teleoperators and Virtual Environments, MIT Press, pp.130-144, 1994.
6. FORSBERG, A., **Seamless interaction in Virtual Reality**, IEEE Computer Graphics and Applications, Volume 17 , Issue 6, pp. 6-9, Novembro, 1997.
7. BROOKS, F., **What's Real About Virtual Reality?**, IEEE Computer Graphics and Applications ,Volume 19 , Issue 6, pp. 16-27, Novembro,1999.
8. GREENHALGH, C., **Analyzing Movement and World Transition in Virtual Reality Teleconferencing**, In 5th European Conference of Computer Supported Cooperative Work(ECSCW'97), Lancaster, UK, Kluwer Academic Publishers, 1997.
9. DURLACH, N., SLATER, M., **Presence in Shared Virtual Environments and Virtual Togetherness**, BT Workshop on Presence in Virtual Environments, 1998.

10. DOURISH, P., BELLOTTI, V., **Awareness and Collaboration in Shared Workspaces**, In Proceedings of CSCW'92, ACM Press, Novembro, 1992.
11. FOXLIN, E., NAIMARK, L., **VIS-Tracker: A Wearable Vision-Inertial Self Tracker**, Proceedings of IEEE Virtual Reality 2003, IEEE Press, pp.199-206, 2003.
12. WELCH, G., VICCI, L., BRUMBACK, S., KELLER, K., COLUCCI, D., **High-Performance Wide-Area Optical Tracking: The HiBall Tracking System**, In Presence: Teleoperators and Virtual Environments, Volume 10, Issue 1, pp. 1-21, 2001.
13. MEYER, K., APPLEWHITE, H., BIOCCA, F., **A Survey of Position Trackers**, In Presence: Teleoperators and Virtual Environments, Volume 1, Issue 2, pp. 173-200, 1992.
14. MICHELE, F., MONNO, G., RENZULLI, P. A., UVA, A. E., **3D Pointing in Virtual Reality: Experimental Study**, XIII ADM - XV INGEGRAF International Conference on Tools and Methods Evolution in Engineering Design, Napoli, Junho, 2003.
15. BRANDNER, M., GANSTER, H., PINZ, A., RIBO, M., **3D Optical Tracking of Retroreflective Targets for AR Applications**, Proc. 25th AAPR, OCG-Schriftenreihe, Volume 147, pp.95-102, 2001.
16. **Vicon Motion Systems**, <http://www.vicon.com/>, Fevereiro 2005.
17. **Motion Analysis Corporation**, <http://www.motionanalysis.com/>, Fevereiro 2005.
18. LEMMERMAN, D., FORSBERG, A., MONROE, L., CHARTRAND, K., GREENE, B., MODL, D., OLIVARES, J., **Towards Human-Centered User Interfaces in an Immersive Context**, Beyond Wand and Glove Based Interaction, IEEE VR 2004 Workshop, Chicago, Illinois, Março, 2004.
19. KANBARA, M., YOKOYA, N., TAKEMURA, H., **Registration for Stereo Vision-Based Augmented Reality Based on Extendible Tracking of Markers and Natural Features**, 16th International Conference on Pattern Recognition (ICPR'02), Volume 2, Quebec City, Canada, Agosto, 2002.

20. KUTULAKOS, K., VALLINO, J., **Calibration-Free Augmented Reality**, IEEE Transactions on Visualization and Computer Graphics, pp. 1-20, Janeiro, 1998.
21. DORFMÜLLER-ULHAAS, K., SCHMALSTIEG, D., **Finger Tracking for Interaction in Augmented Environments**, IEEE and ACM International Symposium on Augmented Reality (ISAR'01), pp. 55-66, New York, Outubro, 2001.
22. DORFMÜLLER, K., WIRTH, H., **Real-Time Hand and Head Tracking for Virtual Environments Using Infrared Beacons**, Proceedings of the International Workshop on Modelling and Motion Capture Techniques for Virtual Environments, pp. 113 – 127, London, UK, 1998.
23. **Intel Open Source Computer Vision Library**, Intel Research, <http://www.intel.com/research/mrl/research/opencv> (Janeiro 2005).
24. GONZALEZ, R. C., WOODS, R. E. **Processamento de Imagens Digitais**, Editora Edgard Blucher, ISBN 8521202644, São Paulo, 2000.
25. DORFMÜLLER-ULHAAS, K., **Optical Tracking - From User Motion To 3D Interaction**, Tese de Doutorado, Vienna University of Technology, Institut 186 für Computergraphik und Algorithmen, Novembro, 2002.
26. TSAI, R.Y. **An Efficient and Accurate Camera Calibration Technique for 3D Machine Vision**, CVPR'86 Proceeding, IEEE Computer Society Conference on Computer Vision and Pattern Recognition, FL, Junho 22-26, pp. 364-373, 1986.
27. TSAI, R.Y., **A Versatile Camera Calibration Technique for High-Accuracy 3D Machine Vision Metrology Using Off-the-Shelf TV Cameras and Lenses**, IEEE Journal of Robotics and Automation, Vol. RA-3, No 4, pp. 323-344, Agosto, 1987.
28. MAGACHO DA SILVA, R. J., **Um Dispositivo Óptico de Rastreamento em Ambiente de Realidade Virtual**, Dissertação de Mestrado, DI, PUC / RJ, Março, 2004.

29. HARTLEY, R., ZISSERMAN, A., **Multiple View Geometry in Computer Vision**, Second Edition, Cambridge University Press, ISBN: 0521540518, Março, 2004.
30. FISCHLER, M. A., BOLLES, R. C., **Random Sample Consensus: A Paradigm for Model Fitting with Applications to Image Analysis and Automated Cartography**. Comm. of the ACM, Vol 24, pp 381-395, 1981.
31. TORR, P.H.S., MURRAY, D.W., **The Development and Comparison of Robust Methods for Estimating the Fundamental Matrix**, International Journal Computer Vision , pp.1-33, July 1996.
32. SALVI, J., ARMANGUE, X., PAGES, J., **A Survey Addressing The Fundamental Matrix Estimation Problem**, IEEE International Conference on Image Processing, Thessaloniki, Greece ,Vol. 2, No 8, pp. 209-212, Outubro, 2001.
33. RIBO, M., PINZ, A., FUHRMANN, A.L., **A New Optical Tracking System for Virtual and Augmented Reality Applications**, IEEE Instrumentation and Measurement Technology Conference, Budapest, Hungary, Maio, 2001.
34. ROTHWELL, C., FAUGERAS, O., CSURKA, G., **A Comparison of Projective Reconstruction Methods for Pairs of Views**, Computer Vision and Image Understanding, vol. 68, No 1, pp. 37-58, Outubro, 1997
35. **3Dconnexion**, a Logitech Company, <http://www.3dconnexion.com/>, Fevereiro 2005.
36. KIM, H., FELLNER, D., **Interaction with Hand Gesture for a Back-Projection Wall**, In Proc. of Computer Graphics International, Crete, Greece, Junho, 2004.
37. KIM, H., ALBUQUERQUE, G., HAVEMANN, S., FELLNER, D., **3D Modeling with Hand Gesture Interaction in a Semi-Immersive Environment**, Technical Report TUBS-CG-2004-01, Institute of Computer Graphics, University of Technology Braunschweig, disponível em: <http://www.cg.cs.tu-bs.de/PubArc>, Fevereiro 2005.

38. MURRAY, N., GOULERMAS, Y., FERNANDO, T. **Visual Tracking for a Virtual Environment**, HCI International, Vol. 1, pp. 1198-1202, 2003.